

Økning i bæreevne for stålbjelkebruer med betongdekke uten samvirke

Etablering av samvirke mellom stål og
betong

Andreas Hanssen Vang

Master i veg og jernbane
Innlevert: mai 2017
Hovedveileder: Jan Arve Øverli, KT

Norges teknisk-naturvitenskapelige universitet
Institutt for konstruksjonsteknikk



MASTEROPPGAVE 2017

FAGOMRÅDE:	DATO:	ANTALL SIDER:
Samvirkekonstruksjoner i stål og betong	15. mai 2017	91 + 15(vedlegg)

TITTEL: Økning i bæreevne for stålbjelkebruer med betongdekke uten samvirke
Utført av: Andreas Hanssen Vang 

SAMMENDRAG: Oppgaven er en kvantitativ analyse av eksisterende stålbjelkebruer med betongdekke uten samvirke hvor hensikten er å se på potensiale for økt bæreevne ved å etablere samvirke mellom stål og betong. Det er analysert 106 ulike bruer på riks- og fylkesvegnettet i Nord-Trøndelag for å finne en sammenheng mellom bjelkehøyder, bjelketyper og ulik utforming av betongdekke. Resultatene viser at den relative økningen i potensiale ved etablering av samvirke mellom stål og betong er synkende når forholdet mellom ståltverrsnittets aksialkapasitet og betongdekkets aksialkapasitet er synkende.

FAGLÆRER:	Ida Knudsen
VEILEDERE:	Jan Arve Øverli, Institutt for konstruksjonsteknikk NTNU og Amund Geicke, Sweco Norge AS
UTFØRT VED:	Institutt for konstruksjonsteknikk, NTNU

I. Forord

Denne masteroppgaven er utarbeidet høsten 2016 og våren 2017 og er en del av en mastergrad i videreutdanningsprogrammet Veg og Jernbane ved Norges Teknisk-Naturvitenskaplige Universitet (NTNU). Oppgaven tilsvarer 30 studiepoeng og er skrevet av Andreas Hanssen Vang. Veileder ved NTNU har vært Jan Arve Øverli ved institutt for konstruksjonsteknikk. Veilededer i Sweco Norge AS har vært Amund Geicke. Knut Grefstad i Vegdirektoratet, Statens vegvesen, har bidratt med relevante opplysninger og forutsetninger til oppgaven.

Oppgaven har gitt en god forståelse og innsikt i brumassen som finnes på riks og fylkesvegnettet i Norge. Gjennom oppgaven har jeg tilegnet meg god kunnskap om samvirkebruene og hvordan ulike faktorer spiller inn ved prosjektering av disse. Oppgaven har bydd på utfordringer med manglende datagrunnlag og har belyst viktigheten av å ta vare på som bygd dokumentasjon for ettertida.

Det rettes en spesiell takk til Statens vegvesen for tilgang til brudatabasen BRUTUS og innsyn i relevante data som har vært avgjørende for å kunne svare på oppgaven. Vil også takke kollegaer ved Sweco for nyttige samtaler og problemløsning i et tema få av oss har vært borte i før.

II. Sammendrag

I riks- og fylkesvegnettet i Norge er det registrert 22717 bruer. Av disse er 1682 stålbjelkebruer med betongdekke. Alle bruer er prosjektert og bygget etter lastforskrifter og prosjekteringsstandarder som var gjeldende da bruene ble bygget. Kravene i tidligere standarder avviker fra de kravene som gjelder i dag. Av de 1682 stålbjelkebruene er det ingen som er prosjektert med samvirke mellom stål og betong.

Denne oppgaven ser på hvilket potensiale som ligger i å etablere samvirke mellom stål og betong på eksisterende bruer. Oppgaven ser også på hvilke parametere som påvirker den relative økningen i tverrsnittskapasitet. Dette som ledd i å kunne bidra til økt bæreevne for bruene.

Det er lagt ned mye tid i å kartlegge og finne tegninger og annet grunnlag for videre analyse. Data er hentet fra Statens vegvesens brudatabase, Brutus. Grunnet store mengder data og antall bruer, er materialet benyttet i denne oppgaven begrenset til bruer i Nord-Trøndelag. Tilgjengelig datamateriale viser et høyt antall bruer av brutypen i Nord-Trøndelag.

For å kunne si noe om potensiale for bæreevneøkning, er det gjennomført elastisk og plastisk tverrsnittsberegning for alle bjelketyper som er funnet i det valgte datagrunnlaget. Disse er sammenlignet med beregninger av samvirkekapasitet for tverrsnitt for alle bruene i datagrunnlaget.

Resultatene viser at for bruer hvor dekkets aksialkapsitet er større enn bjelkeprofilets aksiale strekkapasitet, er potensialet for økt bæreevne større enn for andre tilfeller. Tendensen er at den relative økningen i bæreevne går ned, når forholdet mellom stålprofilets aksiale strekkapasitet og betongdekkets aksiale trykkapasitet øker.

III. Abstract

There are 22717 bridges on the roads managed by the Norwegian Public Roads Administration (NPRA). Of these, 1682 bridges are steel girder bridges with concrete decks. In general, most of these bridges are built without a shear connection between the steel girders and the concrete deck. The bridges were built according to regulations applicable for the year they were built. The requirements were different in earlier regulations than those used today.

The aim of this Master thesis is to see if there is a possibility to increase the capacity by creating a shear connection between the steel girders and the concrete deck. The report also tries to find a coherence between key variables in the sections such as beam height, beam type and geometric variations of the concrete deck.

The focus area of this report are the bridges in the Nord-Trøndelag county in the middle of Norway. The number of steel girder bridges in the county of Nord-Trøndelag are high. The statistical data available for the bridges are good. All data is extracted from the NPRA bridge database BRUTUS. The data is then being analyzed to be able to get the relevant data that are needed in the Master thesis.

Plastic and elastic calculations have been carried out to verify the section capacities for all girder sections found in the basic dataset. These are compared to the relevant combined steel and concrete section for all bridges analyzed in this Master thesis.

The results indicate a considerable increase in section capacities for all sections calculated. There are found no coherence between increased section capacity and beam heights, beam types or deck properties and geometry. The bridge designs vary too much to be able to find a pattern. Further calculations must be performed, and material properties should be accurate to be able to calculate the exact increased capacity.

This Master thesis indicate that bridges with a concrete deck with larger axial capacity than the axial capacity of the steel girders, have a larger relative increased capacity than for other occurrences. The tendency is that the relative increased capacity decreases when the ratio between steel beam profile capacity and the concrete deck increases.

IV. Figurliste

Figur 1-1 Typisk tverrsnitt stålbjelkebru med to stålbjelker og fritt opplagt betongdekke.....	2
Figur 2-1 Oversikt over materialfastheter for stålkonstruksjoner iht. HB R412 Bruklassifisering, tabell 4.1-2[3].....	6
Figur 2-2 Strekk – tøyningsdiagram for stål[10].....	7
Figur 2-3 Krav til den kjemiske sammensetningen av produktanalysen jfr tabell 3 i NS-EN 10025-3:2005[12].....	8
Figur 2-4 Prøvetaking av stålbjelker på Røyrvik bru i Nord- Trøndelag. Foto: Andreas Hanssen Vang.....	10
Figur 2-5 spenning-tøyningsdiagram for ulike betongkvaliteter.[17]	11
Figur 2-6 Betongens konstruksjonsfasthet, differensiert på ulike tidsepoker. [3]	12
Figur 2-7 Oversikt over materialfaktorer for stål iht. HB R412 Bruklassifisering, tabell 4.1- 1[3]	13
Figur 2-8 Oversikt over materialfaktorer for betong og armering iht. HB R412 Bruklassifisering, tabell 4.2-1.[3].....	14
Figur 2-9 Eksempler på dybler for samvirkekonstruksjoner i stål og betong[18]	15
Figur 2-10 Bøyespennin og 2. arealmoment som funksjon av skjærkraftoverføring[18].....	16
Figur 3-1 Utsnitt fra BRUTUS. Søket viser 27802 registrerte bruer på riks og fylkesvegnettet i Norge.....	18
Figur 3-2 Filtrering av søk i Brutus.....	19
Figur 3-3 Figuren viser hvor i landet det er flest stålbjelkebruer. Data er hentet fra datagrunnlaget i vedlegg I.[19]	20
Figur 3-4 Figuren viser fordelingen av antallet spenn framstilt i en logaritmisk skala.....	21
Figur 3-5 Hafstad bru. 2stk HE1000A, 18,82 m spennvidde	22
Figur 3-6 Fjellselv bru, 2stk HE900B, 16 m spennvidde	22
Figur 3-7 Forholdet mellom brulengder og antall bjelker	23

Figur 3-8 Littlefundsjøbekk, 2 stk HE400A, 7,8 m spennvidde	23
Figur 3-9 Nordre Myrset, 2*2stk NP45, 11,5 m spennvidde	24
Figur 3-10 Hammervatnet, 3stk HE900B, 20,3 m spennvidde	24
Figur 3-11 Litlåa, 3stk NP50, 7,63 m spennvidde	25
Figur 3-12 Fordeling av bjelketyper, uavhengig av spennvidder og brubredder.	25
Figur 3-13 Viser fordelingen av bjelkekongfigurasjon for alle bruene i datagrunnlaget.	26
Figur 3-14 Dekketykkelse for stålbjelkebruer med betongdekke i Nord Trøndelag	26
Figur 3-15 Viser hvordan mål normalt settes på brutverrsnitt med varierende tykkelse på betongplata.	29
Figur 4-1 Beregning av effektiv flensbredde iht NS-EN 1994-1-1 [22]	37
Figur 4-2 Beregningsgang for effektiv flensbredde for betongens bidrag til samvirketverrsnittet. Utføres iht. NS-EN 1994-1-1. [22].....	38
Figur 4-3 Effektiv flensbredde varierer. Figuren viser fordelingen. Det framgår av figuren at de aller fleste bruer har en effektiv bredde fra om lag 1300mm – 2500mm.	39
Figur 4-4 Spenningsfordeling for plastisk nøytalakse i betongplata.....	40
Figur 4-5 Spenningsfordeling for plastisk nøytalakse i trykkflens	41
Figur 4-6 Spenningsfordeling for plastisk nøytalakse i stålprofilets steg	42
Figur 5-1 Momentkapasitet for bjelker	47
Figur 5-2 Oversikt over alle bruene i datautvalget, sortert på relativ økning i momentkapasitet.	48
Figur 5-3 Viser fordelingen av bjelkekongfigurasjon for alle bruene i datagrunnlaget.	49
Figur 5-4 Oversikt over bruer med nøytalakse i betongplata.. Økning i momentkapasitet vist på y-aksen.....	49
Figur 5-5 viser fordeling av antall bjelker for tverrsnitt med nøytralaksen i betongplata	50
Figur 5-6 Fordeling av bjelketyper for samvirketverrsnitt med nøytralakse i betongplata.....	51
Figur 5-7 Oversikt over bruer med nøytalakse i stålets trykkflens	51

Figur 5-8 viser fordeling av antall bjelker for tverrsnitt med nøytralaksen i stålets trykkflens	52
Figur 5-9 Fordeling av bjelketyper for samvirketverrsnitt med nøytralakse i stålbjelkens trykkflens.....	52
Figur 5-10 Oversikt over bruer med nøytalakse i stålprofilets steg	53
Figur 5-11 Fordeling av antall bjelker for tverrsnitt med nøytralaksen i stålets steg.....	54
Figur 5-12 Fordeling av bjelketyper for samvirketverrsnitt med nøytralakse i stålbjelkens steg.	54
Figur 5-13 Oversikt over brune med teoretisk økning i momentkapasitet plottet langs. Langs x-aksen er effektivt betongareal plottet.	55
Figur 5-14 Oversikt over brune med teoretisk økning i momentkapasitet plottet langs y-aksen.. Langs x-aksen er effektivt flensbredde for samvirketverrsnittet plottet.	55
Figur 5-15 Oversikt over økning i momentkapasitet ved etablering av samvirke plottet mot bjelkehøyde.	56
Figur 5-16 Viser økningen i momentkapasitet for samvirketverrsnittet plottet mot forholdet mellom stålprofilets aksialkapasitet og det effektive dekketverrsnittets trykkapasitet.	57
Figur 6-1 Forhold mellom stålkapasitet og dekkekapasitet	61
Figur 7-1 Understøttelse av bru med Superprop understøttelse.[23]	65

V. Tabeller

Tabell 3-1 Oversikt over bjelektyper som er analysert i datagrunnlaget.	28
Tabell 4-1 Avstand mellom dybler for IN-P bjelker	38
Tabell 6-1 Materialkombinasjoner for sjekk av ømfintlighet mot materialvariasjoner	62

VI. Innholdsfortegnelse

I.	Forord.....	iii
II.	Sammendrag.....	v
III.	Abstract	vii
IV.	Figurliste.....	ix
V.	Tabeller.....	xiii
VI.	Innholdsfortegnelse	xv
1	Innledning	1
1.1	Generelt	1
1.2	Bakgrunn	1
1.3	Historikk	2
1.4	Problemstilling.....	3
1.5	Avgrensninger og forutsetninger	3
1.6	Forbehold.....	3
2	Prosjekteringsgrunnlag	5
2.1	Regelverk.....	5
2.2	Plastisk teori	5
2.3	Materialer.....	6
2.3.1	Stål.....	6
2.3.2	Armert betong	11
2.4	Materialfaktorer	13
2.4.1	Stål.....	13
2.4.2	Betong	13
2.5	Samvirketverrsnitt	14

2.5.1	Generelt	14
2.5.2	Etablering- og virkning av samvirke	15
2.5.3	Friksjon.....	16
2.5.4	Regelverk	16
3	Analyse av datagrunnlaget	17
3.1	Metodebeskrivelse	17
3.2	Datautvalg.....	18
3.2.1	Generelt	18
3.2.2	Datagrunnlag og søk.....	18
3.2.3	Stålbjelkebruer – Geografisk fordeling	20
3.2.4	Spenninndeling.....	20
3.2.5	Antall bjelker.....	22
3.2.6	Bjelketyper	25
3.2.7	Dekketykkeler.....	26
3.3	Byggeår og restlevetid	27
3.4	Materialer.....	27
3.5	Valg av data for videre analyse	28
4	Beregninger.....	31
4.1	Generelt	31
4.2	Tverrsnittskapasitet valsede bjelker.....	31
4.2.1	Tverrsnittsklasser	31
4.2.2	Tverrsnittskapasiteter for valsede bjelker	34
4.3	Samvirke	36
4.3.1	Definisjoner	36

4.3.2	Effektiv bredde	36
4.3.3	Momentkapasitet	40
4.3.4	Skjærkapasitet	46
5	Resultater	47
5.1	Tverrsnitt uten samvirke	47
5.2	Tverrsnitt med samvirke	48
5.2.1	Oversikt alle bruer	48
5.2.2	Nøytralakse i betongplata	49
5.2.3	Nøytralakse i stålets trykkflens	51
5.2.4	Nøytralakse i bjelkens steg	53
5.2.5	Forhold mellom effektivt betongareal og økning i momentkapasitet	55
5.2.6	Forhold mellom effektiv flensbredde og økning i momentkapasitet	55
5.2.7	Forhold mellom bjelkehøyde og økning i momentkapasitet	56
5.2.8	Forhold mellom bjelkekapasitet og dekkekapasitet	57
6	Vurdering av resultater	59
6.1	Usikkerheter	59
6.2	Ulike brutyper	60
6.3	Sammenhenger	60
6.4	Kapasitet av dybler	62
6.5	Materialkvaliteter	62
7	Praktisk gjennomføring	65
7.1	Spenningsløs tilstand	65
7.2	Etablering av skjærforbindelse	66
7.3	Dekkets egenskaper	66

7.4	Kostnader.....	66
8	Videre arbeid.....	67
9	Konklusjon	69
10	Referanser.....	71
11	Vedlegg	73

1 Innledning

1.1 Generelt

I Norge er det registrert 22717 trafikkerte bruver på det offentlige vegnettet som eies og forvaltes av stat og fylkeskommune. I tillegg til disse bruene er det et antall kommunale og private bruver. Antallet kommunale og private bruver er usikkert, ettersom det ikke finnes noen felles database for forvaltning drift og av disse. For de kommunale og private bruene er det svært lite eller ingen tilgjengelig dokumentasjon, hverken fra prosjekteringa eller fra bygginga.

Vegtrafikken i Norge øker. Det gjør også antallet tunge kjøretøy. Kjøretøyene blir større, tyngre og bredere. Det stilles stadig nye og høyere krav til bæreevnen i det norske vegnettet og med det høyere krav til bæreevne for bruene[1]. Det er ingenting som tyder på at dette vil avta i årene som kommer[2].

Mange av de gamle bruene har en geometri og bæreevne som gjør de til flaskehalsar. Bygging av nye bruver er ei stor og kostbar investering for vegeiere og restlevetid forsøkes ofte å utnyttes så lenge det er mulig.

Å bygge nye bruver innebærer som regel store trafikantkostnader i form av omkjøring og stenging av veger i byggefase. Tiltak som kan utføres uten at det får store konsekvenser for trafikanter er derfor gunstig og ønsket.

1.2 Bakgrunn

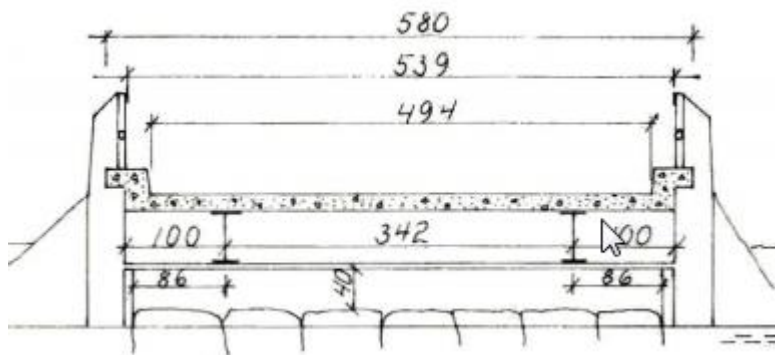
Et søk i Statens vegvesens brudatabase BRUTUS gir et bilde på hvilken alder de forskjellige bruene som er trafikkert har. Det er bygget en hel del nye bruver de senere årene, men det er fremdeles en rekke bruver i det norske vegnettet som er bygget i perioden 1960 – 1990. Det var en voldsom byggeaktivitet på 1970-tallet med utbygginga av riksvegnettet.

Bruene ble klassifisert iht. gjeldende lover og regelverk den gangen. I de senere år er det gjennomført oppklassifisering av en rekke bruer med tanke på å tilfredsstille kravene i Svv HB R412 Bruklassifisering[3] til Bk10-60. Mange av bruene har man kunnet gjøre dette med uten å iverksette tiltak, mens det for andre ikke er mulig å klassifisere de i Bk10-60. Felles for mange av bruene er at de er oppklassifisert en rekke ganger i takt med samfunnets krav til framkommelighet for stadig tyngre kjøretøyer. Mange av bruene har sannsynligvis ikke mer tilgjengelig kapasitet å hente når det igjen blir aktuelt å se på økte nyttelaster. Det må derfor sees på tiltak som kan være med å bidra til økt bæreevne for bruene.

1.3 Historikk

I Statens vegvesens bruvervaltningsdatabase BRUTUS[4] er det registrert 1689 stålbru med betongdekke. De fleste av disse er bygget i perioden etter 2. verdenskrig og fram til midten av 90-tallet. I denne perioden har en rekke ulike standarder vært lagt til grunn for prosjektering og bygging av stålbru med betongdekke. Dette har medført at kvaliteten og utforming av bruene varierer.

I store deler av denne perioden fantes det ikke et regelverk som muliggjorde og la til rette for at stålbjelkebru med betongdekke kunne prosjekteres med samvirke mellom stål og betong. Dette kom først inn i standardverket som ble utgitt av Standard Norge på 70-tallet. Det var derfor hverken tradisjon eller byggeskikk å bygge på denne måten. Figur 1-1 viser typisk utførelse av stålbjelkebru med betongdekke, uten samvirke.



Figur 1-1 Typisk tverrsnitt stålbjelkebru med to stålbjelker og fritt opplagt betongdekke.

1.4 Problemstilling

Denne rapporten tar for seg eksisterende stålbjelkebruer med betongdekke og muligheten for å forsterke disse ved å etablere samvirke mellom stål og betong. Hoveddelen av arbeidet er en kvantitativ undersøkelse av et utvalg bruver med tanke på om det er mulig å gi generelle retningslinjer for potensialet for økning i bæreevne.

Oppgaven gjør videre en kortfattet identifisering av praktiske muligheter og utfordringer ved etablering av samvirke.

1.5 Avgrensninger og forutsetninger

Det forutsettes at det er mulig å etablere samvirke for både egenlast og nyttelast ved å etablere samvirke mellom dekket og stålbjelkene i spenningsløs tilstand. Det antas videre at tilstanden til bruene, både stålet og betongen, er slik at alle tverrsnitt kan beregnes med prosjektert tverrsnitt. Alle beregninger forutsetter at det ikke er skader som påvirker bruenes bæreevne eller konstruksjonssikkerhet.

Flere tegninger har mangefull målsetting. Mål på tegninger med mangefull målsetting måles med linjal. Unøyaktighet som følge av manglende målsetting ansees å være neglisjerbar. Den samlede usikkerheten i datagrunnlaget vurderes å påvirkes lite av denne ene faktoren.

Kapasitet til betongdekker i tverretning er ikke vurdert i oppgaven. Armeringstegninger er ikke tilgjengelig for de fleste bruene i datagrunnlaget.

1.6 Forbehold

Beregninger som er utført i denne rapporten har ikke vært gjennom 3. partskontroll. Det er utført begrenset kontroll på hver enkelt bru, og beregningene kan ikke benyttes for generell dimensjonering av samvirketverrsnitt. Beregningene er gjennomført for å finne kvantitative data som benyttes for å kunne analysere potensiale for å øke bæreevnen på stålbjelkebruer. Dataene er ment å kunne benyttes som grunnlag for valg av strategi for valg av tiltak ved behov for økning av bæreevne. Enhver prosjektering med bakgrunn i resultater funnet i denne oppgaven må kvalitetssikres og kontrolleres.

2 Prosjekteringsgrunnlag

2.1 Regelverk

Bruene som undersøkes er registrert med ulike byggår og dertil ulike prosjekteringsstandarder som grunnlag.

For klassifisering av bruer i det offentlige vegnettet (riksveger, fylkesveger og kommunale veger) legges Statens vegvesens håndbok R412 Bruklassifisering til grunn [5]. Håndboka er retningsgivende og er hjemlet i instruks fra Vegdirektøren og i forskrift.[6]

Håndboka baserer seg i stor grad på nasjonale standarder som var gyldige i Norge fram til 2009 da Eurokodestandarder ble innført. Materialfaktorer, materialkvaliteter, laster og lastfaktorer gitt i HB R412 Bruklassifisering benyttes framfor de gitt i Eurokoden, ettersom håndboka er grunnlaget for all klassifisering av bruer på riks- og fylkesvegnettet i Norge.

2.2 Plastisk teori

Statens vegvesen HB N400 Bruprojektering gir åpning for å benytte plastisk teori ved kontroll av opptrædende lastvirkninger. Eurokode 3 – Prosjektering av stålkonstruksjoner, åpner for at tverrsnitt i tverrsnittsklasse 1 og 2 berregnes med plastisk teori.[7, 8]

2.3 Materialer

I de følgende kapitler omtales de viktigste materialegenskapene til stål og betong, og bruksområdene for disse i tradisjonell brubygging.

2.3.1 Stål

Generelt

Stål er ett av våre mest brukte materialer i bygging av konstruksjoner. Stålets lave vekt i forhold til styrke gjør det svert egnet som konstruksjonsmateriale. Det utvikles stadig konstruksjonsstål med høyere fasthet, bedre sveiseegenskaper, økt korrosjonsmotstand og større slagseighet ved lave temperaturer.[9]

Fasthet

Stål produseres med ulik fasthet. Den mest brukte stålkvaliteten i konstruksjonsstål i dag er S355 og høyere, men også S235 benyttes i noen grad. 355 indikerer karakteristisk flytegrense for stålet.

Flytegrensen har opp gjennom årene variert og den generelle tendensen er at flytegrensen har økt i takt med at teknologi og materialutviklingen har utviklet seg. Figur 2-1 viser hvordan R412 gir en oversikt over forventende fastheter til betong i ulike tidsepoker. Disse er vist i Figur 2-6 under. Tabellen er basert på prøveserier som er utført på ulike typiske bruer i periodene som er gjengitt. Det er en mulighet for at stålet kan ha både høyere og lavere fasthet enn angitt. Den statistiske fordelingen er ikke gitt i håndboka, men er trolig 5% fraktil som i Eurokode. Hvis stålkvaliteten er ukjent skal det beregningsmessig benyttes stål med karakteristisk flytegrense f_y på 235 Mpa.

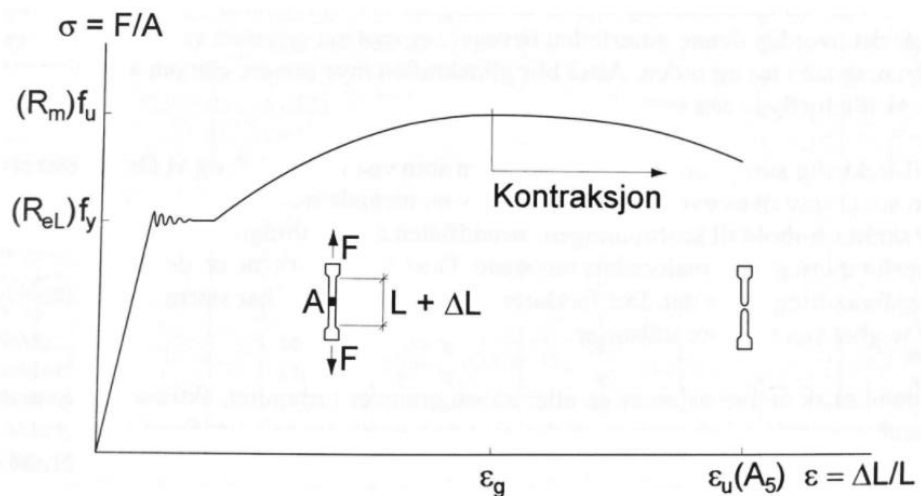
Alder	Stål-kvalitet	Strekkfasthet	Flytegrense
		f_u (N/mm ²)	f_y (N/mm ²)
Før 1920	Alt konstruksjons-stål	350	220
Etter 1920	St. 37	370	235
	St. 42	420	255
	St. 44	440	265
	St. 52	520	345

Figur 2-1 Oversikt over materialfastheter for stålkonstruksjoner iht. HB R412 Bruklassifisering, tabell 4.1-2[3]

E-modulen til stål er uavhengig av fastheten til stålet. Det betyr at det i enkelte tilfeller ikke er bruddkriterier som er dimensjonerende, men brukskriterier som nedbøyning og stabilitet.[9]

Et spennings - tøyningsdiagram som vist i Figur 2-2 viser forholdet mellom tøyning og spenning i stål. Inntil spenningene når stålets flytegrense f_y er materialet lineærelastisk og tøyningen er lineært avhengig av spenningen. Vi har da tilfellet at $\sigma_s = f_y$ i ytterste fiber i ståltverrsnittet som belastes. Det bemerkes at figuren viser et idealisert bilde av virkeligheten og at den lineærelastiske delen av diagrammet er tilnærmet lineært elastisk.

Ved ytterligere belastning vil ikke spenningene i tverrsnittet øke, men tøyningen øker. Vi er inne i materialets plastiske område og vi får varige deformasjoner. Denne tilstanden vil vi ha inntil hele tverrsnittet har nådd flytegrensen f_y .



Figur 2-2 Strekk – tøyningsdiagram for stål[10].

Stålsammensetning

Stål er en legering som består av omrent 98% jern. De resterende 2% består av karbon og andre grunnstoffer, ofte kaldt legeringselementer [10]. Det stilles i dag strenge krav til stålets kjemiske sammensetning. Dette er gitt i de felles europeiske standardene NS-EN 10025 del 2 til 4.[11-13]. Den kjemiske sammensetningen av stålet påvirker stålets mekaniske egenskaper og et riktig forhold mellom stålets ulike bestanddeler er avgjørende for å oppnå de egenskaper man er ute etter for de ulike ståltypene.

De viktigste legeringselementene i stål er:

- Aluminium
- Fosfor
- Hydrogen
- Kobber
- Krom
- Mangan
- Nikkel
- Nitrogen
- Oksygen
- Silisium
- Svovel

Under kjøleprosessen ved framstilling av stål er stålet utsatt for forurensning. Dette fører til at det ferdige stål materialet kan ha varierende innhold av de ulike legeringselementene[10]. Det er gitt krav til innhold av de ulike legeringselementene i NS-EN ISO 10025[11, 12]. Dette er vist i Figur 2-3.

Betegnelse Designation	C % maks.	Si % maks.	Mn %	P % maks. ^a	S % maks. ^{a, b}	Nb % maks.	V % maks.	Al _{total} % min. ^c	Ti % maks.	Cr % maks.	Ni % maks.	Mo % maks.	Cu % maks. ^d	N % maks.
Etter/ According EN 10027-1 og/and CR 10260	Etter/ According EN 10027-2													
S275N	1.0490	0,20		0,035	0,030									
S275NL	1.0491	0,18	0,45	0,45 - 1,60	0,030	0,025	0,06	0,07	0,015	0,06	0,35	0,35	0,13	0,60
S355N	1.0545	0,22		0,035	0,030									
S355NL	1.0546	0,20	0,55	0,85 - 1,75	0,030	0,025	0,06	0,14	0,015	0,06	0,35	0,55	0,13	0,60
S420N	1.8902			0,035	0,030									
S420NL	1.8912		0,22	0,65	0,95 - 1,80	0,030	0,025	0,06	0,22	0,015	0,06	0,35	0,85	0,13
S460N ^e	1.8901 ^e		0,22	0,65	0,95 - 1,80	0,035	0,030	0,06	0,22	0,015	0,06	0,35	0,85	0,13
S460NL ^e	1.8903 ^e					0,030	0,025						0,60	0,027

^a For lange produkter kan P- og S-innholdet være 0,005 % høyere.
^b For jernbaneformål kan et maksimum S-innhold på 0,012 % avtales ved bestilling og ordre.
^c Se valgmulighet 32.
^d Hvis en tilstrekkelig mengde andre nitrogenbindende elementer er til stede, gjelder ikke minimumskravet til Al.
^e Cu-innhold over 0,45 % kan føre til rødskjørhet.
^f V + Nb + Ti ≤ 0,26 % og Mo + Cr ≤ 0,38 %.

^a For long products the P and S content can be 0,005 % higher.
^b For railway applications a maximum S content of 0,012 % may be agreed at the time of enquiry and order.
^c See option 32.
^d If sufficient other N-binding elements are present the minimum total Al content does not apply.
^e Cu content above 0,45 % may cause hot shortness during hot forming.
^f V + Nb + Ti ≤ 0,26 % and Mo + Cr ≤ 0,38 %.

Figur 2-3 Krav til den kjemiske sammensetningen av produktanalysen jfr tabell 3 i NS-EN 10025-3:2005[12]

Hva de ulike legeringselementene har å si for det endelige stålproduktet er beskrevet i Per Kristian Larsen kapittel 2.2 [9], og i Stålhandbok Del 3, kapittel 2.3[10] og gjengis ikke her.

Sveisbarhet

Stålets sveisbarhet er sterkt avhengig av stålets kjemiske sammensetning. De viktigste legeringselementene for å oppnå god sveisbarhet er:

- Aluminum:
Reagerer med Nitrogen og danner aluminiumsnitrater. Gir god slagseighet og sveisbarhet.
- Mangan
Ragerer med svovel til MnS(ManganSulfid), og øker fastheten og sveisbarheten.
- Karbon
Innholdet av karbon avgjør stålets sprøhet som igjen påvirker sveisbarheten.

Det er laget et mål for stålets sveisbarhet, og denne angis som karbonekvivalenten[10]. Karbonekvivalenten angir en verdi for foholdet mellom de ulike legeringselementene og verdien gir et mål på sveisbarheten.

$$CEV = C + \frac{Mn}{6} + \frac{Cr + Mo + V}{5} + \frac{Ni + Cr}{15} \quad (1)$$

For eldre bruer hvor manglende dokumentasjon av stålkvaliteter er normalt, vil stålets sveisbarhet kunne være styrende for valg av metode ved rehabilitering og påvirke konstruksjonsløsning og det endelige resultatet.

Standardiserte bjelkeprofiler

Standardiserte bjelkeprofiler for stål er gitt i en felles europeisk standard NS-EN 10034:1993[14]. Denne gir mål og toleranser for framstilling og produksjon av I – og H- profiler og ble gyldig i 1993. Før 1993 var profiler produsert etter DIN 1025:1940. I datagrunnlaget er det bruer fra perioden før 1940, fra 1940-1993 og 1993-d.d. Utdrag fra DIN 1025 er vist i Vedlegg II.

Det er relativt små avvik i de forskjellige standardene:

HEA tilsvarer omtrent DIMEL

HEB tilsvarer omtrent DIP

IPE tilsvarer omtrent INP bjelker

Avvikene er likevel såpass store for enkelte av bjelkeprofilene at det har beregningsmessig betydning og kan påvirke resultatene.

Materialprøver

For bruer hvor det mangler materialsertifikat for stål og dokumentasjon fra bygging er fraværende er prøving av materialet et relativt billig og enkelt tiltak for å få kontroll på kjemisk sammensetning og materialets oppførsel under varierende forhold. En prøve tas fra stålbjelkenes steg eller flens der hvor spenningsforhold er slik at opptredende spenning $\sigma \approx 0 MPa$. Figur 2-4 viser prøvetaking i flens ved opplegg ved forsterkning av Røyrvik bru i Nord-Trøndelag.



Figur 2-4 Prøvetaking av stålbjelker på Røyrvik bru i Nord- Trøndelag. Foto: Andreas Hanssen Vang

2.3.2 Armert betong

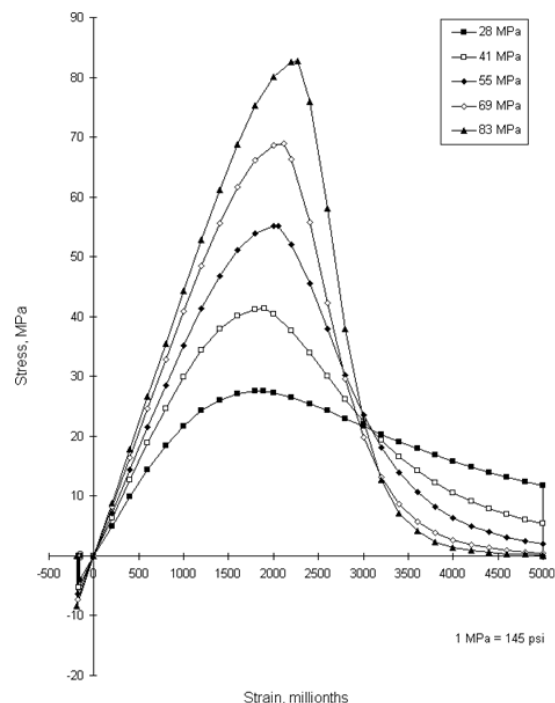
Armert betong er i dag verdens mest brukte byggemateriale. Kostnader, bestandighet og enkel produksjon og utnyttelse av lokale råvareressurser antas å være hovedårsakene til dette[15]. Betong består i hovedsak av cement, tilslag, og porer. I tillegg er det andre tilsetningsstoffer som benyttes for å oppnå ønskede egenskaper. Her kan nevnes ulike kjemikalier, flygeaske og pozzolaner som mye brukte tilsetningsstoffer[16].

Fasthet

Betong er et materiale som i all hovedsak har trykkapasitet. Betongtrykkfastheten avhenger av en rekke parametere og avhenger hovedsakelig av forholdet mellom cement, vann og tilslag.

Strekkapasiteten til betong er omtrent 10% av trykkfastheten, og neglisjeres vanligvis i dimensjoneringssammenheng. For slakkarmerte konstruksjoner fører dette til at det nesten alltid oppstår riss i betongtverrsnittet.

Felles for alle betongkvaliteter er at de har en tilnærmet lineær oppførsel fram til brudd som angitt i Figur 2-5. Når betong belastes til brudd har den en svært lite duktil oppførsel. Det gis ingen forvarsel i form av store deformasjoner før materialet når sin bruddskapasitet.



Figur 2-5 spennings-tøyningsdiagram for ulike betongkvaliteter.[17]

Teknologisk utvikling

Betongkvaliteten har variert det siste århundret. Generelt har betongfasthet og betongkvalitet økt fra 1920 og fram til i dag. Statens vegvesen har, i sin bruforvaltningsdatabase Brutus, tilgang på store mengder statistiske data som sier noe om utviklingen av betongkvalitet.

Bruklassifiseringshåndboka R412 gir en oversikt over forventende fastheter til betong i ulike tidsepoker. Disse er vist i Figur 2-6 under. Tabellen er basert på prøveserier som er utført på ulike typiske bruver i periodene som er gjengitt. Det er en mulighet for at betong kan ha både høyere og lavere fasthet enn angitt. Den statistiske fordelingen er ikke gitt i håndboka, men er trolig 5% fraktil, som i Eurokode.

Tabell 4.2-2 Betongens konstruksjonsfasthet for trykk, f_{cn}

Byggår	NS 427 (av 1939)	NS 427A (av 1962)		NS 3473 (av 1973 og senere)	
	Betong-kvalitet	Betong-kvalitet	σ_c (kg/cm ²)	Fasthets-klasse	f_{cn} (N/mm ²)
Før 1920	C-betong	B 200	40	C 15	11,2
1920-1945	B-betong	B 250	45	C 20	14,0
Etter 1945	A-betong	B 300	55	C 25	16,8
		B 350	60	C 30	19,6
		B 400	70	C 35	22,4
		B 450	80	C 40	25,2
				C 45	28,0

Figur 2-6 Betongens konstruksjonsfasthet, differensiert på ulike tidsepoker. [3]

Materialprøver

For bruver hvor det mangler dokumentasjon for betong og betongresepter fra bygging kan materialprøver tas ved å bore ut kjerneprøver som testes i lab. Tester kan gi svar på betongkvalitet, poreinnhold, tilslagsstørrelse og vann og cementforhold.

2.4 Materialfaktorer

2.4.1 Stål

Materialfaktorer for stål er gitt i kapittel 4.1.1 i HB R412 Bruklassifisering.[3]

Materialfaktorene for bruddgrensetilstand er differensiert på bruene byggeår og generelt er materialfaktor γ_m økende med økende alder på bruene. Et utdrag fra Svv HB R412 er vist i Figur 2-7.

Materiale	Materialfaktor, γ_m
<u>Konstruksjonsstål</u>	
- før 1920 strekkstaver	1,50
trykkstaver	1,35
bjelker	1,35
- etter 1920	1,20
<u>Hengebruer</u>	
- kabler	1,20
- hengestenger	1,50
- avstivningsbærer	1,10
- tverrbærer	1,20
<u>Nagler/skruer</u>	
- før 1920	1,35
- etter 1920	1,20

Figur 2-7 Oversikt over materialfaktorer for stål iht. HB R412 Bruklassifisering, tabell 4.1-1[3]

For karakteristiske faktorer settes materialfaktor $\gamma_m = 1,0$ jfr. kapittel 4.1.1 i Svv HB R412.

2.4.2 Betong

Materialfaktorene for betong er gitt i kapittel 4.2.2 i HB R412 Bruklassifisering.[3]

Materialfaktorene for armering i bruddgrensetilstand er differensiert på bruene byggeår med et skille i 1920. For betong settes materialfaktor i bruddgrensetilstand til 1,4 for alle byggeår.

Et utdrag fra Svv HB R412 er vist i Figur 2-8.

Materiale	Materialfaktor, γ_m		
	Bruddgrense-tilstand	Bruksgrense-tilstand	Ulykkes- og utmattingsgrensetilstand
Armert betong	1,40	1,0	1,20
Armering før 1920	⁽¹⁾ 1,50	1,0	1,32
Armering etter 1920	1,25	1,0	1,10

⁽¹⁾ For brudekker som ikke viser tegn til armeringskorrosjon, kan benyttes $\gamma_m = 1,25$.

Figur 2-8 Oversikt over materialfaktorer for betong og armering iht. HB R412 Bruklassifisering, tabell 4.2-1.[3]

For karakteristiske faktorer settes materialfaktor $\gamma_m = 1,0$ jfr. kapittel 4.2.1 i Svv HB R412.

2.5 Samvirketverrsnitt

2.5.1 Generelt

Samvirkekonstruksjon er et begrep som kan benyttes for alle konstruksjoner som er sammensatt av flere materialer og hvor de ulike materialenes egenskaper sammen bidrar til bæreevne og stivhet.[18] De mest vanlige materialene å benytte i samvirketverrsnitt er de tradisjonelle byggematerialene som stål og betong, men også andre materialer kan benyttes i samvirketverrsnitt. Kompositmaterialer er vanlig og limtreproducenter benytter seg av den samme teorien ved å lime lameller til hverandre med et lim som overfører all horisontal skjærkraft mellom lamellene.

Å kombinere to materialer i et samvirkende tverrsnitt har flere fordeler:

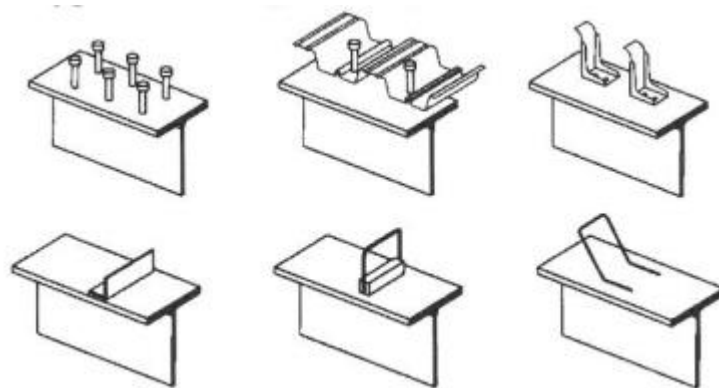
- Man utnytter materialenes egenskaper på en måte som gir bedre utnyttelse og redusert materialbruk.
- Lavere CO₂-avtrykk som følge av mindre materialbruk.
- Økt kapasitet for tverrsnitt med samme byggehøyde.
- Kan være bedre økonomi
- Trafikkavvikling på eksisterende bruer
- Reduserte trafikantkostnader

Ulemper:

- Prosjekteringstid og kostnader kan øke pga. mer kompliserte modeller
- Utbyggingstid og kostnader kan øke pga. mer utfordrende byggemetode.

2.5.2 Etablering- og virkning av samvirke

For at et samvirketverrsnitt skal være virkningsfullt er man avhengig av en skjærforbindelse mellom de to materialene som skal samvirke med hverandre. Det er i utgangspunktet irrelevant hva denne skjærforbindelsen består av, men faktorer som pris, byggbarhet og robusthet vil være avgjørende for valget. For samvirke mellom stål og betong er dybler i stål som er sveist til stålet den mest brukte forbindelsen. Ulike metoder for å etablere skjærforbindelser mellom stål og betong er vist i Figur 2-9.

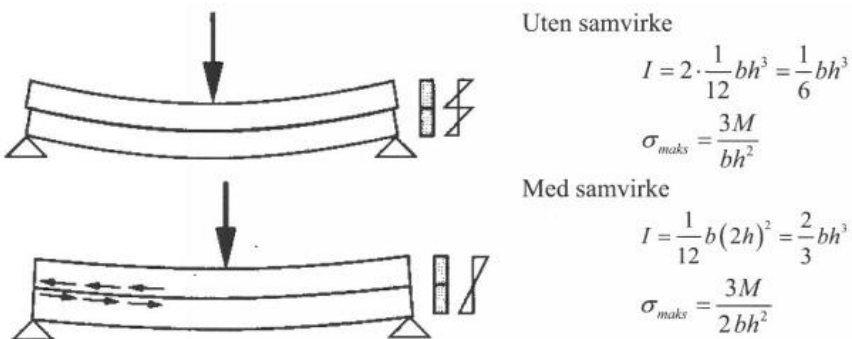


Figur 2-9 Eksempler på dybler for samvirkekonstruksjoner i stål og betong[18]

Følgende er hentet fra kompendiet Samvirkekonstruksjoner i Stål og betong[18]:

«Dersom fugen mellom de to delene ikke kan overføre skjærkrefter, finnes bæreevnen og stivheten som summen av bidragene fra de to delene, med en spenningsfordeling som vist i figuren. Dersom man sørger for full skjærkraftoverføring mellom bjelkedelene vil de to delene fungere som en enhetlig bjelke med høyde $2h$. Dette halverer den maksimale bøyespenningen og firedobler bøyestivheten EI .»

Virkningen av samvirke er illustrert godt i kompendiet til Per Kristian Larsen med følgende figurer[18].



Figur 2-10 Bøyespenning og 2. arealmoment som funksjon av skjærkraftoverføring[18]

2.5.3 Friksjon

Friksjon mellom stålbjelker og betongdekke gir samvirkevirkning. Kapasiteten til samvirketverrsnittet kan være lik friksjonskapasiteten til forbindelsen. Når denne kapasiteten overskrides vil kapasiteten være tilsvarende kapasiteten til stålbjelken + kapasiteten til dekket som vil være betydelig mindre enn kapasiteten til samvirketverrsnittet[18].

Denne forbindelsen er svært lite duktil og det er derfor ikke tillat å inkludere denne kapasiteten ved beregning og dimensjonering av bruver på det norske offentlige vegnettet.

2.5.4 Regelverk

I HB N400 Bruprojektering er det ikke tillatt å dimensjonere skjærdyblene for deler av den horisontale skjærkrafta mellom bjelker og dekke. Det er heller ikke tillatt å regne deler av friksjonskapasiteten inn i forbindelsens totale kapasitet. Det betyr at alle dybler skal dimensjoneres for full opptrædende bruddlast i snittet hvor dyblene er plassert. Dyblene skal dimensjoneres for full horisontal skjærkraft i sjiktet mellom stål og betong og i enkelte tilfeller må de også dimensjoneres for strekk i dyblenes akseretning.

3 Analyse av datagrunnlaget

3.1 Metodebeskrivelse

Oppgaven er en kvantitativ undersøkelse som tar for seg et antall bruer som faller inn under kategorien bruer som skal undersøkes. Oppgaven har som formål å se på et problem som er relevant for et utvalg bruer som er trafikkerte og som det finnes tilgjengelige data fra.

Bruforvaltningsdatabasen BRUTUS [4] inneholder informasjon om 27802 bruer. Det er en enorm database og det er ikke mulig innenfor rammen av denne oppgaven å gå inn på alle bruer i databasen og analysere dette. Det er derfor nødvendig å snevre inn datagrunnlaget slik at det er håndterbart.

Analyse av datagrunnlaget danner grunnlaget for de videre beregninger. Formålet med analysen er å kartlegge hvilke data som er relevante, finne typiske bjelke/dekk-tverrsnitt og sikre at problemstillingen som er formulert er relevant.

En stor del av arbeidet med oppgaven består i å finne relevant litteratur og relevante data som grunnlag for oppgaven.

I de videre beregningene skal de mest typiske bjelker og betongdekker analyseres for å kontrollere tverrsnittskapasiteten med og uten samvirke for å kartlegge hvor store effekter som er mulig å oppnå med tanke på økt bæreevne for bruer på riks og fylkesvegnettet ved å etablere samvirke.

Det er ikke gjort noe forsøk i denne oppgaven og oppgaven baserer seg utelukkende på tilgjengelig tegningsgrunnlag, SVVs bruforvaltningsdatabase, teoretiske data og tilgjengelig litteratur. Tegningsgrunnlaget er tilgjengelig elektronisk ved forespørsel.

3.2 Datautvalg

3.2.1 Generelt

Datagrunnlaget for oppgaven er i sin helhet hentet fra Statens vegvesens bruforvaltningsdatabase BRUTUS[4]. Kvaliteten på dataene som ligger der er varierende. De aller fleste bruer har tegninger knyttet til databasen, men det hefter usikkerhet ved om disse tegningene i alle tilfeller stemmer overens med de faktiske bruene. For oppgaven sin del er dette en akseptabel usikkerhet.

The screenshot shows the BRUTUS database interface. At the top, there is a header with the Statens Vegvesen logo, the word 'Brutus' in large letters, and 'v. 4.4.0'. Below the header, there are navigation tabs: 'Min side' (selected), 'Byggverk' (highlighted in orange), 'Tiltak/Inspeksjon', and 'Hjelp'. On the left, there is a search panel titled 'Søk' with fields for 'Velg søkefelt:' and 'Kolonnemal:' containing 'mastermal'. It includes a 'Nullstill' button and a 'Søk' button. On the right, there is a 'Søkehistorikk' panel showing a list of search history entries with columns for 'Opprettet dato' and 'Valg'. The entries are: 28.03.2017 16:05:46, 07.03.2017 15:19:48, 28.02.2017 17:13:19, 28.02.2017 17:12:28, and 05.02.2016 15:37:59. Each entry has a small trash can icon next to it. Below these panels, a section titled 'Resultater (27802 treff)' is visible.

Figur 3-1 Utsnitt fra BRUTUS. Søket viser 27802 registrerte bruer på riks og fylkesvegnettet i Norge.

3.2.2 Datagrunnlag og søk

Uttrekk av data fra BRUTUS snevres inn ved å legge inn filter i søket. Søket som er vist i Figur 3-1 er uten filter og viser 27802 bruer på riks- og fylkesvegnettet i Norge.

Det er en rekke søkeparameter, men det er bare et fåtall som er relevante og gir presise treff for oppgaven. For å begrense søkerne og gjøre data håndterbare gjøres søk basert på fylker. Dette gir en oversiktlig mengde bruer og gjør det også mulig å sammenligne datautvalget mellom de ulike fylkene.

Søk

Velg søkefelt: Kolonnemal: mastermal

Fylker: 17 - Nord-Trøndelag

Byggverkskategorier: Vegbru

Byggverkstyper:

- 300 - Bjelkebru
- 360 - Bjelkebru, valsede bjelker
- 361 - Bjelkebru, valsede bjelker, HE-A u/samvirke
- 363 - Bjelkebru, valsede bjelker, HE-B u/samvirke
- 365 - Bjelkebru, valsede bjelker, HE-M
- 366 - Bjelkebru, valsede bjelker, I-profiler
- 369 - Bjelkebru, valsede bjelker, andre
- 370 - Bjelkebru, platebærere, konstant høyde
- 380 - Bjelkebru, platebærere, variabel høyde

Materialer: Stål

Lengde: Fra lengde 50

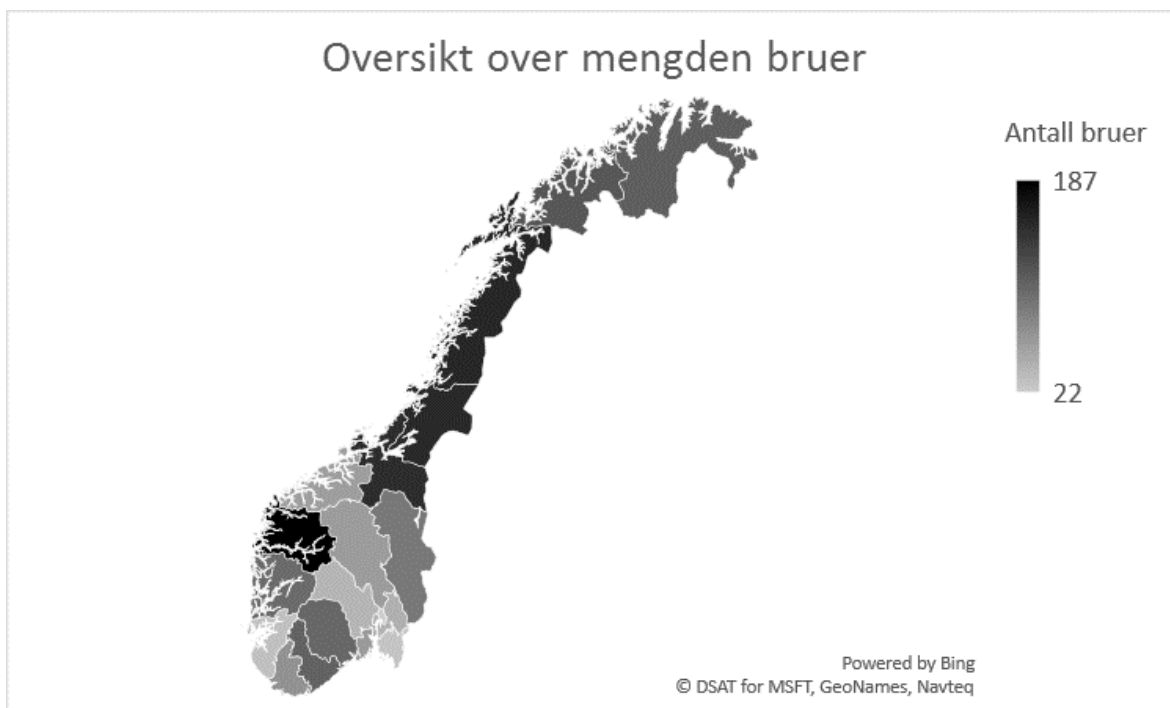
Byggstatuser: Trafikkert

Figur 3-2 Filtrering av søker i Brutus

Organisering av byggverkstyper er meget uoversiktlig i Brutus og det er svært stor usikkerhet knyttet til om bru er lagt i riktig kategori. I teorien skulle det være tilstrekkelig å velge kategori 360-Bjelkebru-Valsede bjelker for å få alle treff på brutypen oppgaven omhandler. Som Figur 3-2 viser, er det en rekke andre kategorier som feilaktig er opprettet av brukere i Brutus og som gjør håndteringen av søker mye mer kompleks og øker usikkerheten i datagrunnlaget.

3.2.3 Stålbeltebruer – Geografisk fordeling

Datasetssettet gir et godt grunnlag for å fastslå hvor tettheten av stålbeltebruer uten samvirke er størst. Figur 3-3 viser at disse bruene er overrepresentert i områder i landet hvor befolkningstettheten er minst. På Østlandet og Sørlandet er det relativt få stålbeltebruer, mens det i Sogn og Fjordane, Trøndelagsfylkene og i Nordland er relativt høy tetthet.



Figur 3-3 Figuren viser hvor i landet det er flest stålbeltebruer. Data er hentet fra datagrunnlaget i vedlegg I.[19]

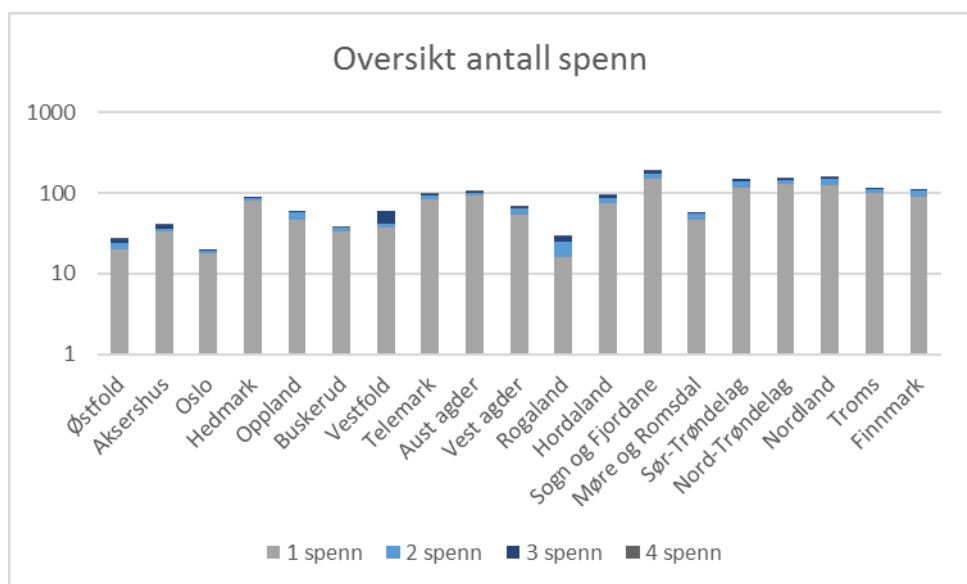
3.2.4 Spenninndeling

Det er interessant å se på fordelingen av bruer basert på antall spenn av følgende årsaker:

- Bruer med ett spenn har ikke negativt moment som gir trykk i underflens. Det vil for bruver med ett spenn være en enkel statisk modell som ligger til grunn for vurderingen av samvirkekapasiteter. Det antas at man ved å etablere samvirke mellom stålbelter og betongdekke vil kunne redusere det positive momentet i felt og samtidig redusere deformasjoner som følge av trafikk i bruksgrensetilstand SLS-TP.

- For bruer med flere kontinuerlige spenn vil det oppstå negativt moment over støtte. Dette gir strekk i betongverrsnittet og trykk i stålbelkene. En hypotese er at disse bruene er høyt utnyttet over støtte og at det av den grunn vil være begrensninger for bæreevnen. Ved å etablere samvirke i feltene og redusere feltautomomentene vil det også gi reduksjon av støttemomenter. Det antas at det reduserte støttemomentet kan reduseres tilstrekkelig til at det kan tillates økte brukslaster på bruene.

Figur 3-4 viser at denne brutypen er valgt der det er behov for relativt beskjedne antall spenn. Antall bruver med 1 spenn er overrepresentert. Dette framkommer godt i Figur 3-4 hvor dette er presentert i en logartismisk skala. Denne typen bruer har relativt oversiktlig moment og skjærkraftdiagram med strekk i underkant av tverrsnittet i hele spennet. Ved at det unngås strekk i overkant av tverrsnittet er det i teorien svært gunstig å etablere samvirke mellom stål og betong for bruver i denne kategorien.



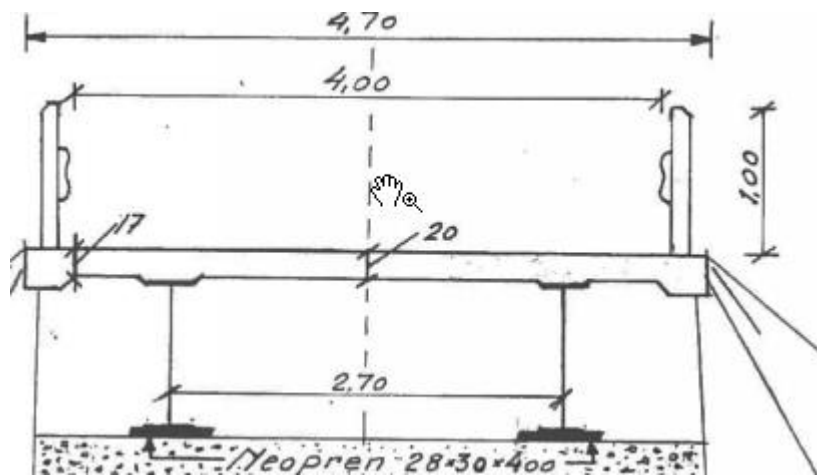
Figur 3-4 Figuren viser fordelingen av antallet spenn framstilt i en logaritmisk skala.

Det statistiske materialet viser at det for alle utvalgte fylker er en klar overvekt av bruver med 1 spenn. Fordelingen viser også at det er en del bruver med 2 spenn. Bruver med 3 eller flere spenn er betydelig underrepresentert i statistikken.

I oppgaven vil det, med bakgrunn i tallgrunnlaget som liger bak oversikten over, fokuseres på bruver i Nord-Trøndelag i den videre databehandlingen for å finne representative brudata som benyttes i beregningene i kapittel 4.

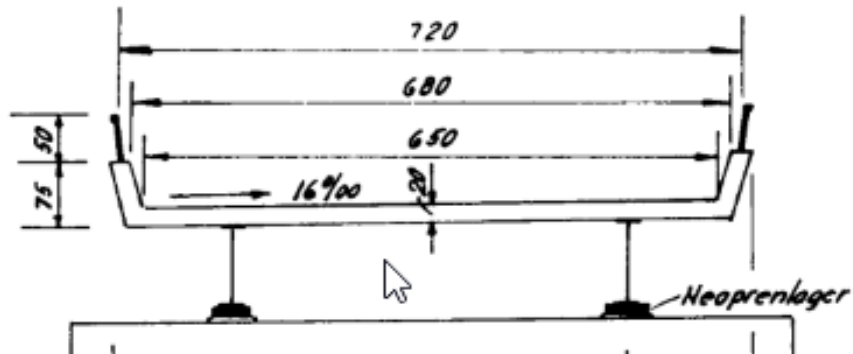
3.2.5 Antall bjelker

En gjennomgang av ferdigbrutegninger for bruer som angitt i datagrunnlaget viser liten korrelasjon mellom brubredder, brulengder og valg av bjelker i bæresystemet. Det er i noen tilfeller valgt å benytte lavere bjelker og heller benytte 3 bjelker i stedet for 2 og motsatt. Det er heller ikke funnet en klar strategi for valg av bjelketype. Typiske tverrsnitt er ikke mulig å gjengi uten å gjengi hele tegningsdatabasen for datagrunnlaget. Illustrasjonene under gir en kort oppsummert oversikt over ulike løsninger.

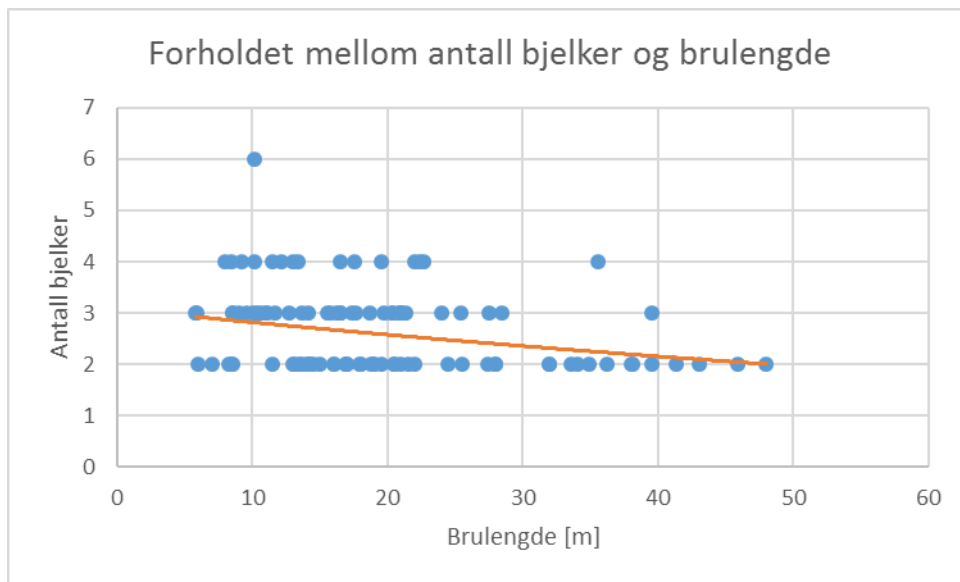


Figur 3-5 Hafstad bru. 2stk HE1000A, 18,82 m spennvidde

Figur 3-5 og Figur 3-6 viser vanlig bjelkekonfigurasjon for bruer med spennlenger på 15 til 20 m. Bjelkehøydene er her i øvre skitet for hva som leveres som standard stålprofiler og det antas derfor at det er av økonomiske årsaker at denne bjelkekonfigurasjonen er valgt.

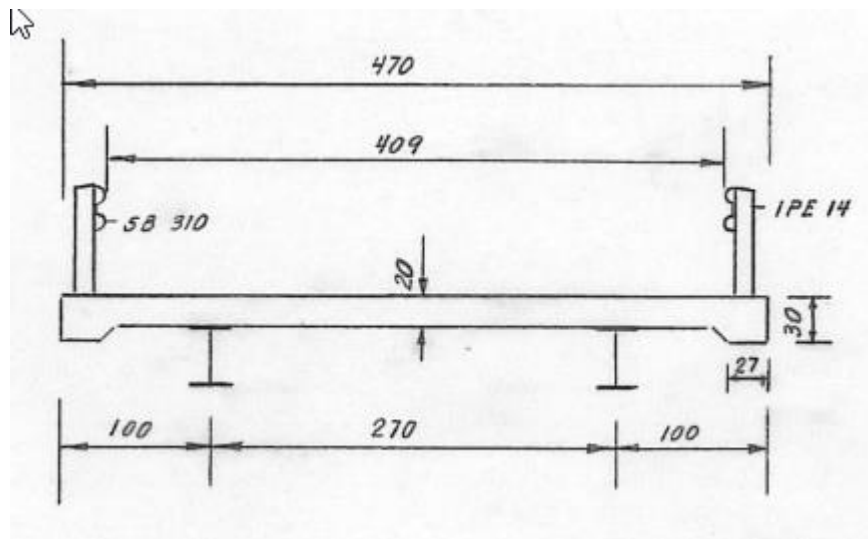


Figur 3-6 Fjellselv bru, 2stk HE900B, 16 m spennvidde

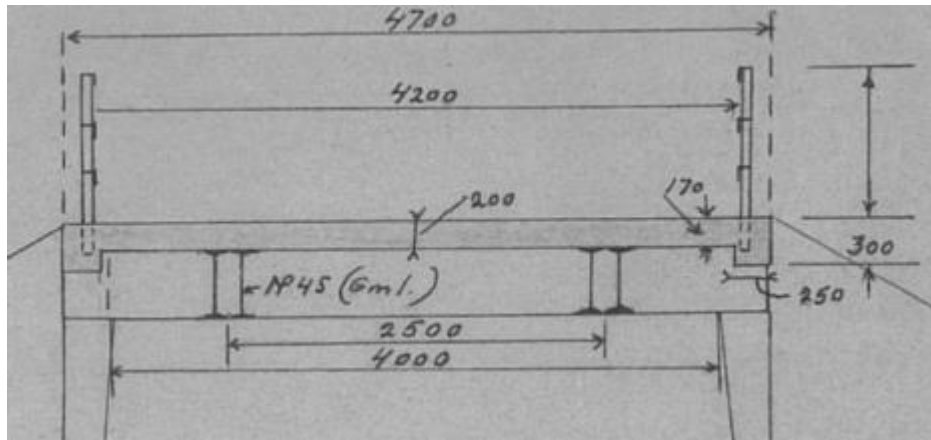


Figur 3-7 Forholdet mellom brulengder og antall bjelker

I datagrunnlaget er det mulig å se en trend som tilsier at ved økende brulengder reduseres antallet bjelker. For alle bruene er det en tendens at det er en overvekt av bruene med to og tre bjelker. Dette framgår av Figur 3-7.

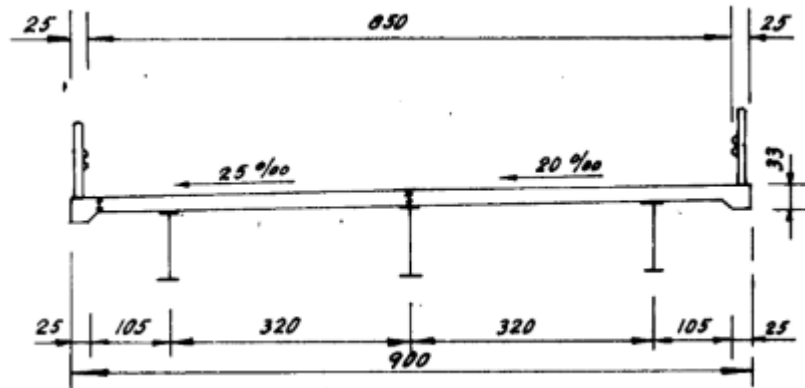


Figur 3-8 Littlefundsjøbekk, 2 stk HE400A, 7,8 m spennvidde



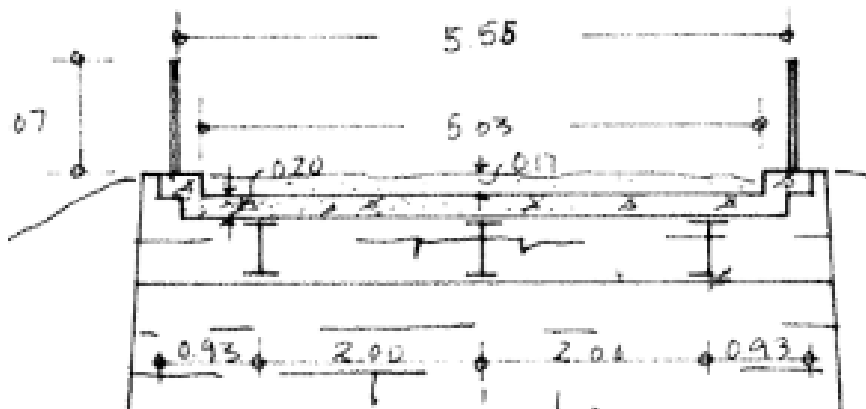
Figur 3-9 Nordre Myrset, 2*2stk NP45, 11,5 m spennvidde

For en del bruer i datagrunnlaget er bruene oppgitt med fire bjelker. I praksis fungerer to og to bjelker parvise. Bjelketyperne som gjennomgående går igjen for disse bruene er I-bjelker som vist i Figur 3-9. Disse bjelkene har smale flenser og det er derfor behov for en ekstra bjelke for å oppnå tilfredsstillende momentkapasitet.



Figur 3-10 Hammervatnet, 3stk HE900B, 20,3 m spennvidde

Figur 3-10 og Figur 3-11 viser den mest vanlige bjelkekonfigurasjonen i datagrunnlaget. Konfigurasjonen benyttes både for lave og høye bjelker og for ulike bjelketyper.

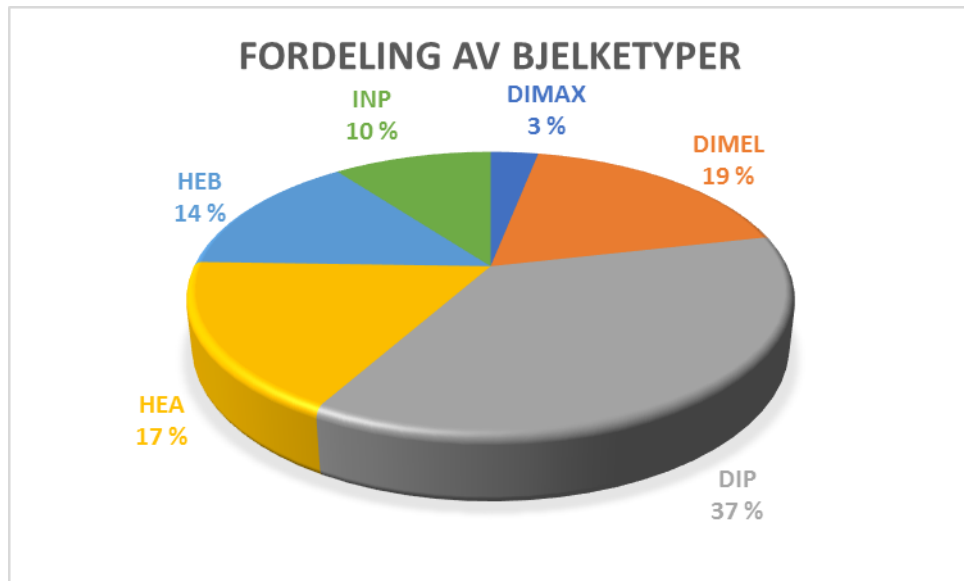


Figur 3-11 Litlåa, 3stk NP50, 7,63 m spennvidde

3.2.6 Bjelketyper

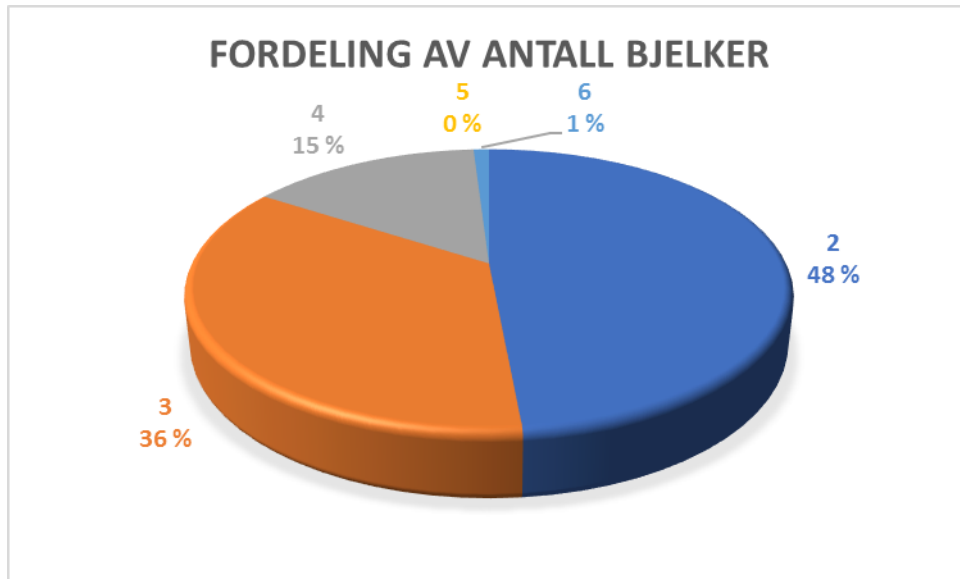
Fordeling av bjelketyper spenner over et vidt spekter. Datagrunnlaget gir ingen indikasjoner på at spesielle bjelketyper er valgt etter gitte kriterier.

Det virker å være vilkårlig om det er valgt HE-A, HE-B, DIMEL; DIP eller IN-P bjelker som hovedbæresystem. Fordelingen er vist i Figur 3-12 under.



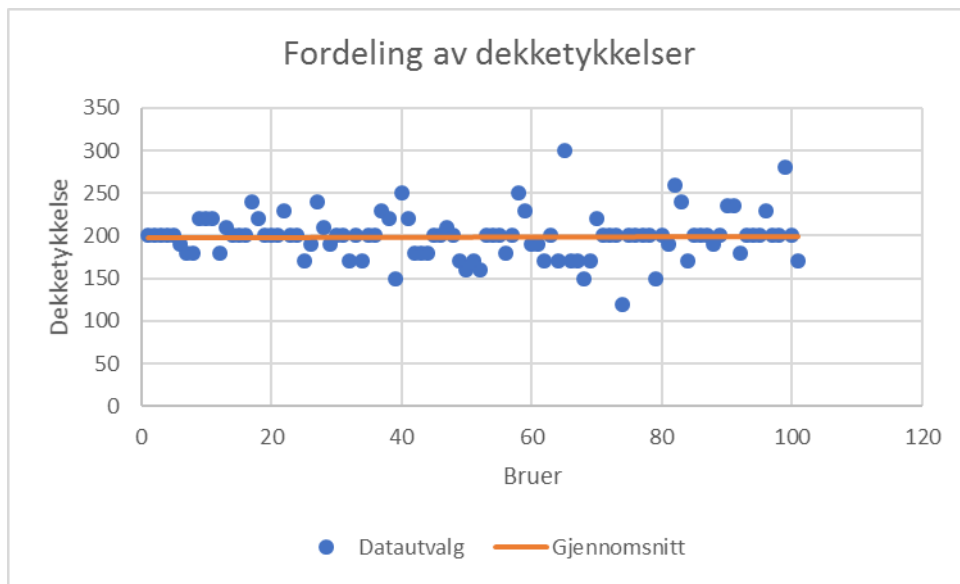
Figur 3-12 Fordeling av bjelketyper, uavhengig av spennvidder og brubredder.

Fordelingen av antall bjelker som er valgt som hovedbæresystem varierer også. Den totale fordelingen for alle bruene i datasettet er vist i Figur 3-13. Figuren viser en klar overvekt for bruk med 2 og 3 bjelker som hovedbæresystem.



Figur 3-13 Viser fordelingen av bjelkekonfigurasjon for alle bruene i datagrunnlaget.

3.2.7 Dekketykkeler



Figur 3-14 Dekketykkeler for stålbjelkebruene med betongdekke i Nord Trøndelag

Figur 3-14 viser at dekketykkelsen på bruene varierer fra ca. 120 mm til 350 mm. Den oransje linja viser middelverdien og den viser at de fleste bruene har en dekketykkelse som ligger i området 170 mm – 230 mm. Dette er minimumsverdier for alle dekkene. En eventuell større tverrsnittstykke enkelte punkter i tverrsnittet er ikke tatt med i datagrunnlaget.

3.3 Byggeår og restlevetid

Bruer har en teoretisk forventet levetid på 100 år[20]. Gjennomsnittlig alder på bruene i datagrunnlaget er 57 år, noe som betyr at de fleste bruene har en restlevetid som er i overkant av 40 år. Dette kan være retningsgivende ved valg av strategi for økning av bæreevne på bruene.

3.4 Materialer

Materialkvaliteter er som beskrevet i kapittel 2 svært varierende. Det er ikke funnet noen korrelasjon mellom materialkvaliteter og når bruene er bygget, men dokumentasjon av materialkvaliteter er mangelfull for de fleste bruene. I formler i kapittel 4.3.3 inngår materialfastheter i beregningene for å avgjøre avstanden til samvirketverrsnittets nøytralakse. I enkelte tilfeller der hvor nøytralaksen ligger nærmere en grenseverdi for valg av formelgrunnlag kan usikkerhet ved materialkvalitetene føre til at momentkapasiteten for samvirketverrsnittet beregnes feil. Materialfastheter velges i henhold til Svv HB R412. Det velges samme kvalitet på alle bruene, siden usikkerheten ved flesteparten av bruene er svært stor.

Materialkvaliteter settes iht. HB R412[3] til:

Betong: B30

Stål: S235

3.5 Valg av data for videre analyse

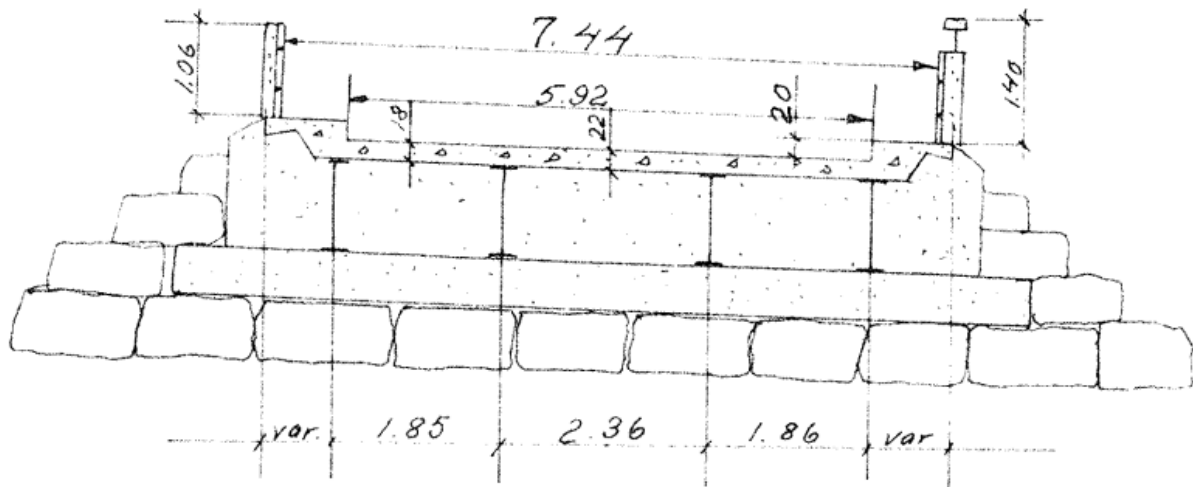
Datagrunnlaget gir ikke noe klart svar på hvilke strategier som ligger til grunn for valg av konsept når bjelketyper og dekketyper er valgt. For det videre arbeidet med oppgaven og beregninger av kapasiteter er det derfor valgt å undersøke alle bjelketyper som er funnet i søk i databasen.

Tabell 3-1 Oversikt over bjelketyper som er analysert i datagrunnlaget.

HE-A	HE-B	I-NP
400	500	38
550	550	40
600	700	45
650	800	47,5
700	900	50
800	1000	55
1000		
DIMEL	DIP	DIMAX
38	32	90
40	42,5	100
47,5	45	
65	50	
70	55	
75	60	
80	65	
85	75	
90	80	
100	85	
	90	
	95	
	100	

For en del tverrsnitt varierer dekketykkelsen på tvers av bruа. For de fleste bruer vil den mest ugunstige lastplasseringen på tvers være kjøretøy helt på kanten av bruplata der hvor betongtverrsnittet vanligvis er minst jfr. Figur 3-15.

For fastsettelse av samvirketverrsnittets kapasitet velges den minste verdien for dekketykkelsen som er angitt på tegning. For de bruene hvor dekketykkelsen er ukjent settes verdien til $t = 200 \text{ mm}$ jfr Figur 3-14.



Figur 3-15 Viser hvordan mål normalt settes på bruttverrsnitt med varierende tykkelse på betongplata.

4 Beregninger

4.1 Generelt

Alle beregninger gjøres med karakteristiske verdier for materialfastheter. Materialfaktorene for stål og betong er ulike og påvirker avstanden til samvirketverrsnittets nøytralakse. For å kunne få resultater som er mest mulig riktige og representative for det faktiske tverrsnittet, velges derfor materialfaktorer:

$$\gamma_s = 1,0$$

$$\gamma_c = 1,0$$

4.2 Tverrsnittskapasitet valsede bjelker

I kapittel 3.5 ble et utvalg bjelketyper valgt for videre analyse av potensiale ved å etablere samvirke mellom stålbjelkene og betongdekket. Utgangspunktet for analysen er at det ikke eksisterer noen horisontal skjærkapasitet mellom dekket og bjelkene. I vedlegg I er de ulike bjelkene og deres tilhørende tverrsnittskonstanter vist i profiltabell. Grunnlaget for dataene er funnet i data som vist i vedlegg II

4.2.1 Tverrsnittsklasser

Tverrsnittsklasser ivaretar effekten av lokal knekking av trykkpåkjente tverrsnittsdeler.

Tverrsnittsklassene angir igjen om det tillates at tverrsnittet plastifiseres. I Stålhandbok Del 3 er dette beskrevet i kapittel 8.2.3.[10] De fleste standardiserte bjelketverrsnitt kan klassifiseres i tverrsnittsklasse 1. Det finnes unntak og av den grunn må alle tverrsnitt sjekkes.

Eurokode 3[21] gir regler for fastsettelse av tverrsnittsklasse for bjelker og søyler utsatt for moment og trykk. Det vises til vedlegg III for beregning av tverrsnittsklasser for ståltverrsnitt.

Alle stålprofiler som er undersøkt kan beregnes i tverrsnittsklasse 1 for ren bøyning. For rent trykk, ligger de fleste profiler i tverrsnittsklasse 2 og steget er bestemmende for tverrsnittsklassen. Brubjelker utsettes for bøyning og svært lite trykk. Trykk oppstår pga. bremselaster men kan ikke forekomme alene som rent trykk. Vi klassifiserer derfor alle profilene i tverrsnittsklasse 1. Beregningsgang er vist på de påfølgende sidene.

Bestemmelse av tverrsnittsklasse iht NS-EN 1993-1-1:2005

Materialfaktorer:

Stål: $\gamma_c := 1.0$
Beton: $\gamma_s := 1.0$

Materialdata:

Stålkvalitet:

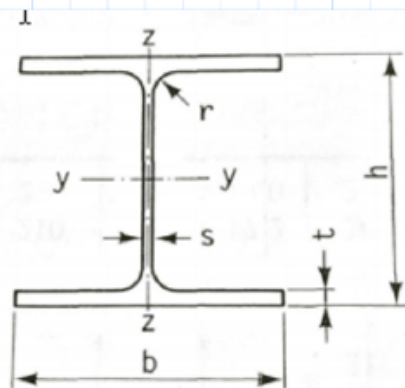
Karakteristisk fasthet: $f_{yk} := 235 \text{ MPa}$

Dimensjonerende fasthet: $f_{yd} := \frac{f_{yk}}{\gamma_s} = 235 \text{ MPa}$

Tverrsnittsdata:

Stålprofil: *Profil := "INP40"*

Tverrsnittsdata:



Høyde tverrsnitt:

$$h_s := h \cdot \text{mm} = 400 \text{ mm}$$

Bredde flens:

$$b_f := b \cdot \text{mm} = 155 \text{ mm}$$

Tykkelse steg:

$$t_w := s \cdot \text{mm} = 14.4 \text{ mm}$$

Tykkelse flens:

$$t_f := t \cdot \text{mm} = 21.6 \text{ mm}$$

Areal av steg:

$$A_w := t_w \cdot (h_s - 2 \cdot t_f) = (5.138 \cdot 10^3) \text{ mm}^2$$

Radius:

$$r_s := r \cdot \text{mm} = 14.4 \text{ mm}$$

$$\varepsilon_y := \sqrt{\frac{235}{f_{yk}}} \cdot MPa = 1$$

Utsikkende flensbredde:

$$c_f := \frac{b_f - (t_w + 2 r_s)}{2} = 55.9 \text{ mm}$$

Flensens slankhet:

$$\lambda_f := \frac{c_f}{t_f \cdot \varepsilon_y} = 2.588$$

Tverrsnittsklasse flens:

$$tvk_f := \begin{cases} 1 & \text{if } \lambda_f \leq 9 \\ 2 & \text{else if } 9 < \lambda_f \leq 10 \\ 3 & \text{else if } 10 < \lambda_f \leq 14 \\ 4 & \text{else} \end{cases} = 1$$

Steghøyde:

$$c_w := h_s - 2 (t_f + r_s) = 328 \text{ mm}$$

Stegets slankhet:

$$\lambda_w := \frac{c_w}{t_w \cdot \varepsilon_y} = 22.778$$

Steget utsettes for sentrisk trykk:

$$tvk_{w,N} := \begin{cases} 1 & \text{if } \lambda_w \leq 33 \\ 2 & \text{else if } 33 < \lambda_w \leq 38 \\ 3 & \text{else if } 38 < \lambda_w \leq 42 \\ 4 & \text{else} \end{cases} = 1$$

Steget utsettes for ren bøyning:

$$tvk_{w,M} := \begin{cases} 1 & \text{if } \lambda_w \leq 72 \\ 2 & \text{else if } 72 < \lambda_w \leq 83 \\ 3 & \text{else if } 83 < \lambda_w \leq 124 \\ 4 & \text{else} \end{cases} = 1$$

Tverrsnittsklasse flens:

$$tvk_f = 1$$

Tverrsnittsklasse steg (trykk)

$$tvk_{w,N} = 1$$

Tverrsnittsklasse steg (bøyning)

$$tvk_{w,M} = 1$$

4.2.2 Tverrsnittskapasiteter for valsede bjelker

Momentkapasitet elastisk

For beregning av den elastiske momentkapasiteten benytter vi oss av Hooks lov:

$$\sigma = E * \varepsilon \quad (2)$$

Hooks lov gjelder inntil tøyning i ytterste fiber når flytetøyningen. Når flytetøyningen nå gjelder ikke forutsetningen i Hooks lov lenger og man beveger seg over i det plastiske området. Tøyningen vil da øke, men spenningen vil holde seg konstant inntil hele tverrsnittet oppnår flytetøyning.

Alle tverrsnitt vi undersøker er dobbeltsymmetriske.

For beregning av elastisk momentkapasitet:

$$M_{El.Rd} = W_{El} * f_y \quad (3)$$

Momentkapasitet plastisk

For beregning av den plastiske momentkapasiteten benytter vi oss av arealmomentet for å finne det plastiske motstandsmomentet:

$$W_{pl} = 2 * S_y \quad (4)$$

Plastisk momentkapasitet:

$$M_{pl.Rd} = W_{pl} * f_y \quad (5)$$

Skjærkapasitet

Skjærkraften må tas opp av den tverrsnittsdelen som har størst stivhet i kraftretning. For vertikalt rettet skjær er det steget som må ha tilstrekkelig skjærkapasitet. Flensene bidrar svært lite i denne sammenhengen.

Betonplatas skjærkapasitet er svært liten sammenlignet med stålets skjærkapasitet. Samvirketverrsnittets skjærkapasitet beregnes derfor kun ut fra bjelkeprofilets skjærkapasitet som er gitt ved formelen:

$$V_{pl,a,Rd} = \frac{f_y * A_v}{\sqrt{3} * \gamma_s} \quad (6)$$

hvor

$$A_v = \text{Arealet av steg}$$

Kritisk moment for vipping

Vipping kan være et problem for alle bjelketverrsnitt hvor trykkflensen ikke er fastholdt mot sideveis utbøyning[9]. For bruer uten samvirke må dette beregnes for hver bru.

Ved å etablere samvirke elimineres denne problemstillinga for bruer med ett spenn da trykkflensen fastholdes mot vipping. For bruer med flere kontinuerlige spenn vil vipping være ei aktuell problemstilling for stålbjelken over støtte hvor det oppstår et negativt moment som gir trykk i underflensen. Kritisk vippemoment nås når trykket i flenser er så stort at bjelken knekker ut sideveis.

Dimensjonerende moment for stålbjelkene uten samvirke vil være den minste av M_{cr} og $M_{pl,Rd}$. I oppgaven er det sett bort fra vipping, da dette er beregninger som er avhengig av opptredende lastvirkninger og dette er ikke vurdert. For oppgaven sin del kan dette bety at beregningene som viser bjelkenes momentkapasitet gir for stort moment og at effekten av å etablere samvirke underestimeres.

4.3 Samvirke

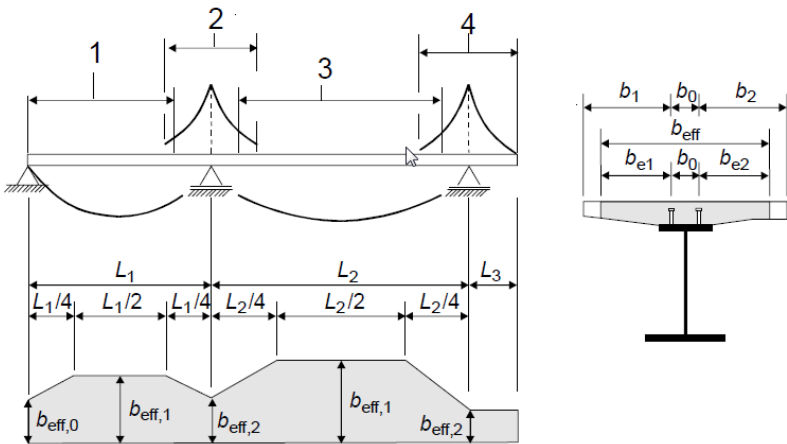
4.3.1 Definisjoner

<i>Effektiv bredde av betongtverrsnitt:</i>	b_{eff}
<i>Tykkelsen av betongdekket:</i>	h_c
<i>Avstand fra overkant av betongplata til samvirkenøytralakse:</i>	z_{pl}
<i>Avstand fra OK stålflens til nøytralaksens til ståltverrsnittet:</i>	z_a
<i>Tykkele flens:</i>	t_f
<i>Bredde flens:</i>	b_f
<i>Tykkele steg:</i>	t_w
<i>Stålprofilets kapasitet:</i>	$N_{Pl.a}$
<i>Betonplatas kapasitet:</i>	$N_{c,f}$
<i>Kraften i flensen:</i>	N_f
<i>Kraft i trykkipåkjent del av steg:</i>	N_w
<i>Plastisk momentkapasitet:</i>	$M_{Pl.Rd}$

4.3.2 Effektiv bredde

Brudekkets bredde i forhold til spennvidden er stor sammenlignet med bjelken. Dette fører til at bøyespenningen σ ikke er jevnt fordelt over flensens bredde. For å fastsette en effektiv bredde av flensen er det gjort en forenkling slik at man betrakter spenningsfordelingen som konstant med et redusert effektivt tverrsnitt b_{eff} . [22]

Beregninger av effektiv bredde utføres i henhold til NS-EN 1994-1-1:2004 5.4.1[22].



Key:

- 1 $L_e = 0,85 L_1$ for $b_{eff,1}$
- 2 $L_e = 0,25(L_1 + L_2)$ for $b_{eff,2}$
- 3 $L_e = 0,70 L_2$ for $b_{eff,1}$
- 4 $L_e = 2 L_3$ for $b_{eff,2}$

Figur 4-1 Beregning av effektiv flensbredde iht NS-EN 1994-1-1 [22]

Effektiv flensbredde i felt og støtte:

$$b_{eff} = b_0 + \sum b_{ei} \quad (7)$$

Effektiv flensbredde ved endeopplegg:

$$b_{eff} = b_0 + \sum \beta_i * b_{ei} \quad (8)$$

Effektiv bredde er i modellen uavhengig av tykkelsen på dekket, men den er avhengig av brulengde og avstand fra steg til kant av dekke. Avstander fra steg til dekkekant varierer for de ulike bruene. 4 av 104 bru er en avstand mellom momentnullpunkt på mindre enn 8 m. Avstand bra bjelke til kant dekke settes til maks 1,5 m. For enkelte bru er denne mindre.

De fleste stålprofilene har en flensbredde på ca. 300 mm. Avvik fra dette er I-NP – bjelker som har betydelig smalere flenser enn resten av bjelkene. For alle bjelker unntatt I-NP settes en senteravstand mellom dybler til $b_0 = 150mm$

For IN-P – bjelker settes avstanden som vist i Tabell 4-1.

Tabell 4-1 Avstand mellom dybler for IN-P bjelker

I-NP	Bredde	c/c
38	149	69
40	155	75
45	170	90
47,5	178	98
50	185	105
55	200	120

Senteravstanden er basert på en kantavstand for dybler på 40 mm.

Effektiv betongbredde som beregningsmessig inngår i samvirketverrsnittet er vist i vedlegg IV. For ettspenns bruer er momentet ved opplegg 0. Det er derfor ikke nødvendig å beregne effektiv bredde ved opplegg da dette uansett ikke er dimensjonerende.

Beregningsgang er vist her:

Effektiv flensbredde:

Avstand mellom dybler på tvers av bjelkeretning: $b_0 := 150 \text{ mm}$

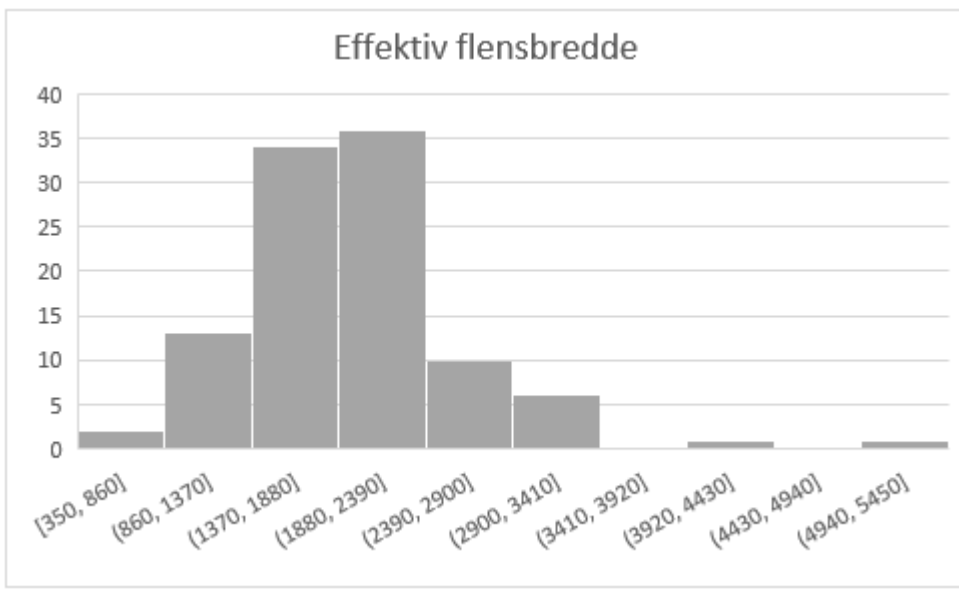
Avstand mellom momentnullpunkt. For 1-spenns bruer er $L_e := "L"$ $L_e := 8 \text{ m}$

Dekkets utkragende lengde fra steg $b_i := 1500 \text{ mm}$

$$+ b_{ei} := \min\left(\frac{L_e}{8}, b_i\right) = 1 \text{ m}$$

$$\text{Effektiv bredde: } b_{eff} := b_0 + 2 \cdot b_{ei} = 2.15 \text{ m}$$

Figur 4-2 Beregningsgang for effektiv flensbredde for betongens bidrag til samvirketverrsnittet. Utføres iht. NS-EN 1994-1-1. [22]



Figur 4-3 Effektiv flensbredde varierer. Figuren viser fordelingen. Det framgår av figuren at de aller fleste bru er har en effektiv bredde fra om lag 1300mm – 2500mm.

For korte bru er hvor utkragende del av dekket er lang vil effektiv bredde avgjøres av brulengden. I motsatt tilfelle vil utkrageren være avgjørende. Det er ikke mulig å finne en grenseverdi for når det er brulengde eller utkragerlengde som avgjør effektiv bredde da dette er to uavhengige variabler.

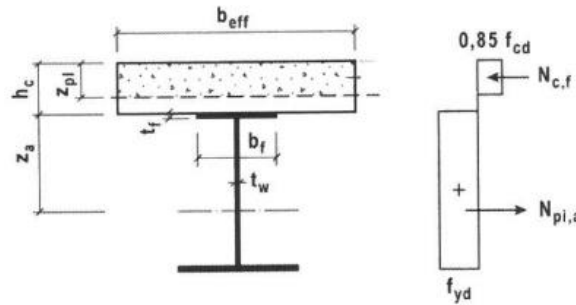
I Figur 4-3 over vises fordelingen av effektiv bredde for betongdekke. Vi ser av fordelingen at bredden varierer mye men at mesteparten av bruene har en effektiv bredde som ligger i området ca. 1350 mm til 2500 mm.

4.3.3 Momentkapasitet

Alle bjelketverrsnittene vi undersøker ligger i tverrsnittsklasse 1 for bøyning. Disse regnes etter plastisitetsteorien i bruddgrensetilstand.

For bruene som undersøkes i oppgaven er det ikke opptrædende negativt moment. Det er med den begrensningen fire tilfeller som kan være aktuelle ved fastsettelsen av momentkapasiteten. [18] De fire tilfellene er:

1. Nøytralakse i betongplata



Figur 4-4 Spenningsfordeling for plastisk nøytralakse i betongplata

$$M_{pl.Rd} = N_{pl,a} \left(z_a + h_c - \frac{z_{pl}}{2} \right) \quad (9)$$

$$z_{pl} = \frac{f_{yd} * A_s}{0,85 * f_{cd} * b_{eff}} \quad (10)$$

Nøytralaksen ligger i betongplata når det effektive betongarealets aksialkapasitet $N_{f,c}$ er større enn stålprofilets plastiske aksialkapasitet $N_{pl,a}$. Hele ståltverrsnittet utnyttes for strekkspenninger. Deler av betongtverrsnittet utnyttes for trykkspenninger og begrenses av hvor i betongtverrsnittet nøytralaksen ligger.

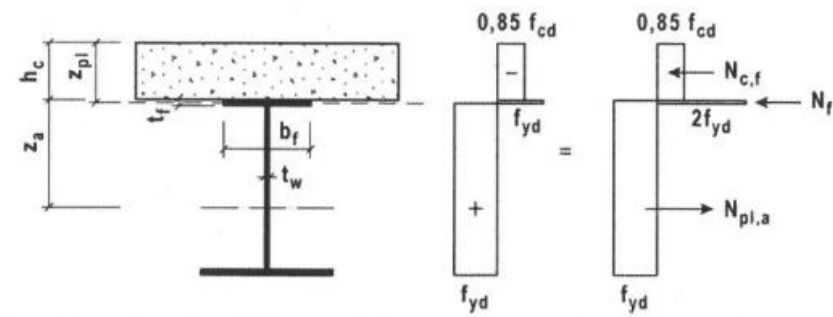
2. Nøyralakse i snittet mellom betongplata og stålprofilet

$$M_{Pl.Rd} = N_{Pl.a} \left(z_a + h_c - \frac{z_{pl}}{2} \right) \quad (11)$$

$$z_{pl} = h_c \quad (12)$$

Nøyralaksen ligger i fugen mellom betongplata og stålprofilet når det effektive betongarealets aksialkapasitet $N_{f,c}$ er lik stålprofilets plastiske aksialkapasitet $N_{pl,a}$. Hele ståltverrsnittet utnyttes for strekkspenninger og hele betongverrsnittet utnyttes for trykkspenninger. Dette tilfellet er teoretisk mulig å oppnå for nye bruer, men vil for de fleste bruer som allerede er bygget og hvor dette ikke er betraktet under dimensjoneringa av bruа, ikke opptre annet ved rene tilfeldigheter.

3. Nøyralakse i stålprofilets trykkflens (toppflens)



Figur 4-5 Spenningsfordeling for plastisk nøytalakse i trykkflens

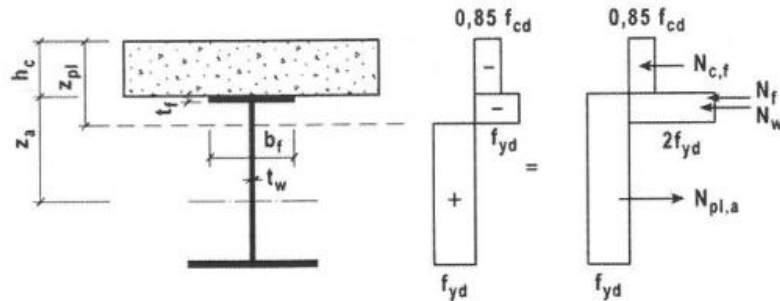
$$M_{Pl.Rd} = N_{Pl.a} \left(z_a + \frac{h_c}{2} \right) - N_f * \frac{z_{pl}}{2} \quad (13)$$

$$z_{pl} = \frac{N_{Pl,a} - N_{c,f}}{2f_{yd} * b_f} \quad (14)$$

$$N_f = 2f_{yd} * b_f * (z_{pl} - h_c) \quad (15)$$

Nøytralaksen ligger i stålprofilets trykkflens effektive betongarealets aksialkapasitet $N_{f,c}$ er mindre enn stålprofilets plastiske aksialkapasitet $N_{pl,a}$, men større enn kapasiteten til stålprofilets steg N_w . Deler av ståltverrsnittet utnyttes for strekkspenninger og deler av ståltverrsnittet utnyttes for trykkspenninger sammen med hele betongtverrsnittet. Hvor stor andel av ståltverrsnittet som utnyttes for strekk avgjøres av nøytralaksens plassering i samvirketverrsnittet.

4. Nøytralakse i stålprofilets steg.



Figur 4-6 Spenningsfordeling for plastisk nøytalakse i stålprofilets steg

$$M_{Pl,Rd} = N_{Pl,a} \left(z_a + \frac{h_c}{2} \right) - N_f \frac{t_f + h_c}{2} - N_w \frac{z_{pl} + t_f}{2} \quad (16)$$

$$z_{pl} = \frac{N_{Pl,a} - N_{c,f} - N_f}{2f_{yd} * t_w} + h_c + t_f \quad (17)$$

$$N_f = 2f_{yd} * b_f * t_f \quad (18)$$

$$N_w = 2f_{yd} * t_w * (z_{pl} - h_c - t_f) \quad (19)$$

Nøytralaksen ligger i stålprofilets steg når det effektive betongarealets aksialkapasitet $N_{f,c}$ er mindre enn kapasiteten til stålprofilets steg. Deler av ståltverrsnittet utnyttes for strekkspenninger og deler av ståltverrsnittet utnyttes for trykkspenninger sammen med hele betongtverrsnittet. Hvor stor andel av ståltverrsnittet som utnyttes for strekk avgjøres av nøytralaksens plassering i samvirketverrsnittet.

Beregningene er utført i Excel regneark og kontrollert i Mathcad for hånd. Utdrag fra excelark er vist i vedlegg 5 som ligger vedlagt.

Beregningsgang i Mathcad er vist her:

Plastisk momentkapasitet for samvirketverrsnitt i tverrsnittskalsse 1 og 2

Materialfaktorer:

$$\begin{aligned} \text{Stål: } & \gamma_c := 1.0 \\ \text{Beton: } & \gamma_s := 1.0 \end{aligned}$$

Materialdata:

Stålkvalitet:

$$\text{Karakteristisk fasthet: } f_{yk} := 235 \text{ MPa}$$

$$\text{Dimensjonerende fasthet: } f_{yd} := \frac{f_{yk}}{\gamma_s} = 235 \text{ MPa}$$

Betongkvalitet:

$$\text{Karakteristisk fasthet: } f_{ck} := 25 \text{ MPa}$$

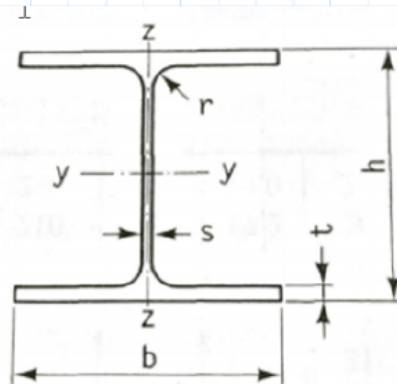
$$\text{Dimensjonerende fasthet: } f_{cd} := \frac{0.85 \cdot f_{ck}}{\gamma_c} = 21.25 \text{ MPa}$$

Tverrsnittsdata:

Stålprofil:

Profil := "INP40"

Tverrsnittsdata:



Høyde tverrsnitt:

$$h_s := h \cdot \text{mm} = 400 \text{ mm}$$

Bredde flens:

$$b_f := b \cdot \text{mm} = 155 \text{ mm}$$

Tykkelse steg:

$$t_w := s \cdot \text{mm} = 14.4 \text{ mm}$$

Tykkelse flens:

$$t_f := t \cdot \text{mm} = 21.6 \text{ mm}$$

Areal av steg:

$$A_w := t_w \cdot (h_s - 2 \cdot t_f) = (5.138 \cdot 10^3) \text{ mm}^2$$

Radius:

$$r_s := r \cdot \text{mm} = 14.4 \text{ mm}$$

Areal av tverrsnitt

$$A_s := A \cdot \text{mm}^2 = (1.18 \cdot 10^4) \text{ mm}^2$$

2. arealmoment sterk akse

$$I_{sy} := I_y \cdot 10^9 \cdot \text{mm}^4 = (5.138 \cdot 10^{12}) \text{ mm}^4$$

Motstandsmoment

$$W := W_y \cdot \text{mm}^3 = 0.292 \text{ mm}^3$$

Avstand fra topp stålflens til
stålprofilets nøytralakse:

$$z_a := \frac{h_s}{2} = 0.2 \text{ m}$$

Betongtverrsnitt:

Dekketykkelse:

$$t_c := 200 \text{ mm}$$

Effektiv bredde:

Avstand mellom dybler på tvers av bjelkeretning:

$$b_0 := 150 \text{ mm}$$

Avstand mellom momentnullpunkt:

$$L_e := 10 \text{ m}$$

Avstand fra steg til kant dekke:

$$b_i := 1500 \text{ mm}$$

Effektiv bredde for betongdekke:

$$b_{eff} := b_0 + 2 \cdot b_{ei} = 2.65 \text{ m}$$

Beregning av samvirketverrsnittets samlede momentkapasitet ved positivt moment:

Stålprofilets aksialkraftkapasitet:
Stålprofilets stegkapasitet trykk:

$$N_{pl.a} := f_{yd} \cdot A_s = (2.773 \cdot 10^6) \text{ N}$$

Dekkets trykkapasitet:

$$N_{c,f} := 0.85 \cdot f_{cd} \cdot b_{eff} \cdot t_c = (9.573 \cdot 10^3) \text{ kN}$$

nakse := if $N_{pl.a} < N_{c.f}$

= "Nøytralaksen i betongplata"

“Nøytralaksen i betongplata”

else if $N_{pl.a} = N_{c.f}$

“Nøytralaksen i fugen mellom betong og stål”

else if $N_{wa} < N_{c,f} < N_{pla}$

“Nøytralaksen i stålets trykkflens”

else if $N_{c,f} < N_{wa}$

“Plastisk nøytralske i profilets steg”

Avstand til nøytralaksen:

$$z_{pl} := \text{if } N_{pl,a} < N_{c,f} \quad = 57.933 \text{ mm}$$

$$\frac{f_{yd} \cdot A_s}{0.85 \cdot f_{cd} \cdot b_{eff}}$$

else if $N_{pl.a} = N_{c.f}$

$$\text{else if } N_{wa} < N_{c,f} < N_{pla}$$

$$\frac{N_{pla} - N_{c,f}}{2 f_{yd} \cdot b_f} + t_c$$

" else if $N_{c,f} < N_{wa}$

$$\left| \frac{N_{pl.a} - N_{c.f.} - (2 f_{yd} \cdot b_f \cdot t_f)}{2 f_{yd} \cdot t_w} + t_c + t_f \right|$$

Kapasitet av betongplatas bidrag:

$$N_{c,f} := 0.85 \cdot f_{cd} \cdot b_{eff} \cdot z_{pl} = (2.773 \cdot 10^3) \text{ kN}$$

Kraften i flensen er gitt ved:

$$N_f := 2 \cdot f_{yd} \cdot b_f \cdot (z_{pl} - t_c) = -1.035 \cdot 10^4 \text{ kN}$$

Stålprofilets aksialkraftkapasitet

$$N_{pl,q} := f_{yd} \cdot A_s = (2.773 \cdot 10^3) \text{ kN}$$

Kraft i trykkipåkjent del av steg:

$$N_w := 2 \cdot f_{ud} \cdot t_w \cdot (z_{pl} - t_c - t_f) = -1.108 \cdot 10^3 \text{ kN}$$

$$\begin{aligned}
 M_{pl,Rd} := & \text{ if } N_{pl,a} < N_{c,f} \\
 & \left\| N_{pl,a} \cdot \left(z_a + t_c - \frac{z_{pl}}{2} \right) \right\| \\
 & \text{else if } N_{pl,a} = N_{c,f} \\
 & \left\| N_{pl,a} \cdot \left(z_a + \frac{t_c}{2} \right) \right\| \\
 & \text{else if } N_{wa} < N_{c,f} < N_{pl,a} \\
 & \left\| \left(N_{pl,a} \cdot \left(z_a + \frac{t_c}{2} \right) \right) - N_f \cdot \frac{z_{pl}}{2} \right\| \\
 & \text{else if } N_{c,f} < N_{wa} \\
 & \left\| N_{pl,a} \cdot \left(z_a + \frac{t_c}{2} \right) - N_f \cdot \left(\frac{t_f + t_c}{2} \right) - N_w \cdot \left(\frac{z_{pl} + t_f}{2} \right) \right\|
 \end{aligned}$$

Beregning av stålprofilets elastiske og plastiske momentkapasitet.

Elastisk momentkapasitet:

$$M_{el} := W_{el} \cdot f_{yd} = 343.1 \text{ kN} \cdot \text{m}$$

Plastisk momentkapasitet:

$$M_{pl} := W_{pl} \cdot f_{yd} = 402.79 \text{ kN} \cdot \text{m}$$

Beregnet økning av kapasitet:

$$\frac{M_{pl,Rd}}{M_{pl}} = 2.065$$

4.3.4 Skjærkapasitet

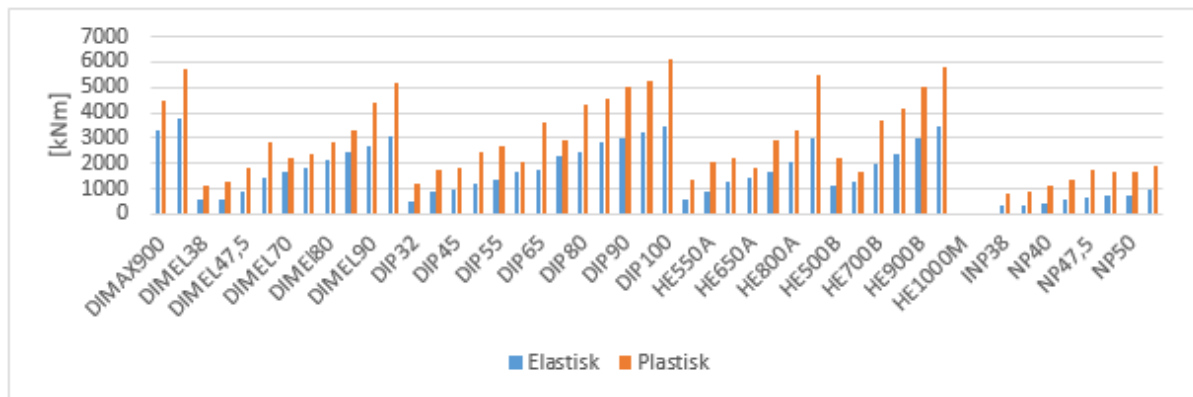
Skjærkapasitet for samvirketverrsnitt er beregningsmessig lik skjærkapasiteten til stålbjelken. Det vil derfor ikke ha noen effekt for skjærkapasiteten å etablere samvirke mellom stålbjelken og betongdekket. En økning av momentkapasiteten uten å øke skjærkapasiteten til tverrsnittet fører til at man endrer forholdet mellom moment- og skjærkapasitet. I regelverket er det gitt føringer som sier at dersom opptredende skjærkraft V_{Ed} overskridet $0.5 * V_{pl,a,Rd}$, skal stegets bidrag til momentkapasiteten reduseres.

Det gjøres ikke beregninger av opptredende skjærkraft for bjelker i oppgaven. Det antas at skjærkapasitet for stålbjelkebruer av denne typen er god sammenlignet med opptredende skjærkrefter og at dette derfor neglisjeres i beregningene.

5 Resultater

5.1 Tverrsnitt uten samvirke

For tverrsnitt uten samvirke er alle bjelker analysert og beregnet i elektronisk vedlegg i Excelark. Resultatene er vist i diagrammet under og viser elastisk og plastisk momentkapasitet for alle tverrsnitt som er funnet i datagrunnlaget. Momentkapasiteten til bjelkene er uavhengig av dekketykkelse og effektiv bredde og er derfor uavhengige av statisk system og bruens geometri og antall bjelker. Antall bjelker i diagrammet under stemmer derfor ikke overens med antall bruer analysert da resultatene fra flere av bruene er like. Resultatene er som forventet, med stigende momentkapasitet med økende tverrsnittshøyde og flensbredder og tykkeler.



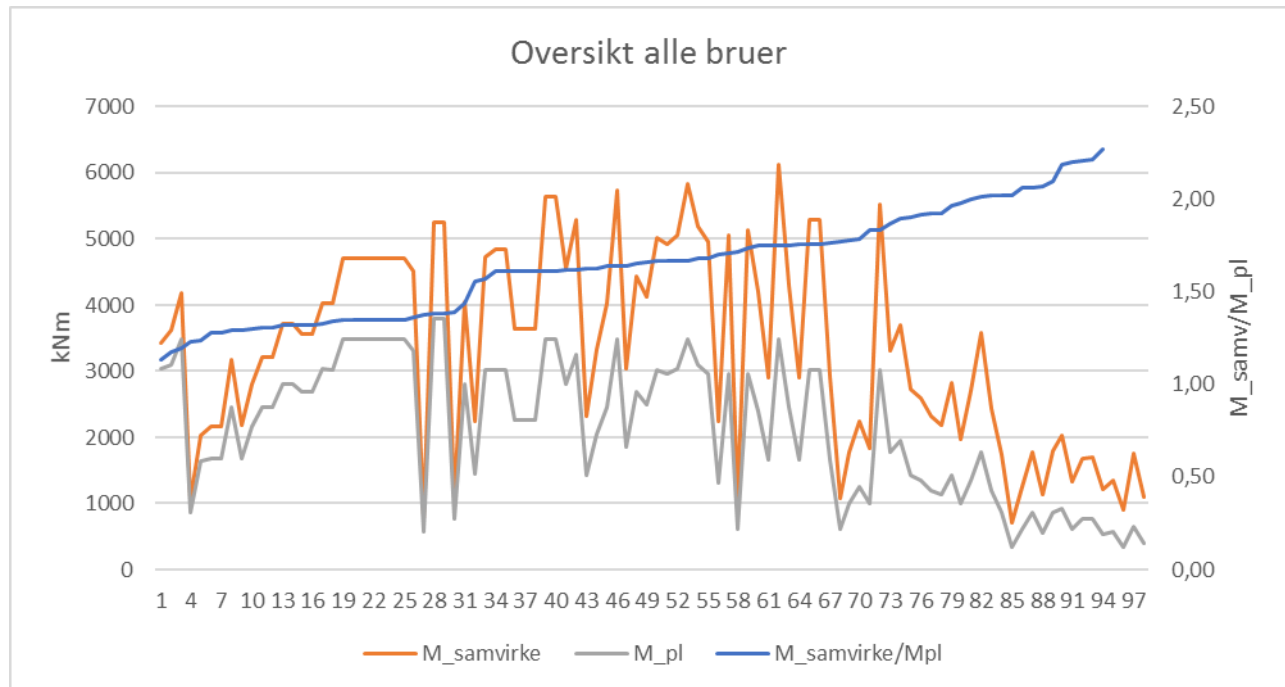
Figur 5-1 Momentkapasitet for bjelker

Resultatene er vist i tabellform i vedlegg V.

5.2 Tverrsnitt med samvirke

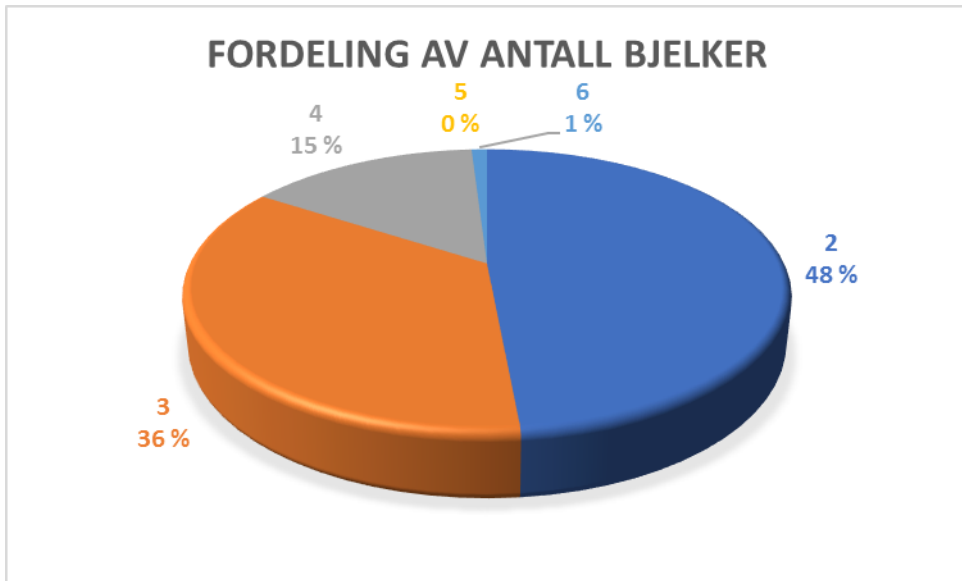
Ved etablering av samvirke og beregning av samvirketverrsnittets momentkaspitet er det langt flere variabler som spiller inn. Her nevnes dekketykkelse, flensbredder, utstikkende flensbredde betongplate og hvor nøytralaksen i samvirketverrsnittet ligger. Dette gjør det utfordrende å finne resultater som lar seg sammenligne med tverrsnitt uten samvirke.

5.2.1 Oversikt alle bruer



Figur 5-2 Oversikt over alle bruene i datautvalget, sortert på relativ økning i momentkapasitet.

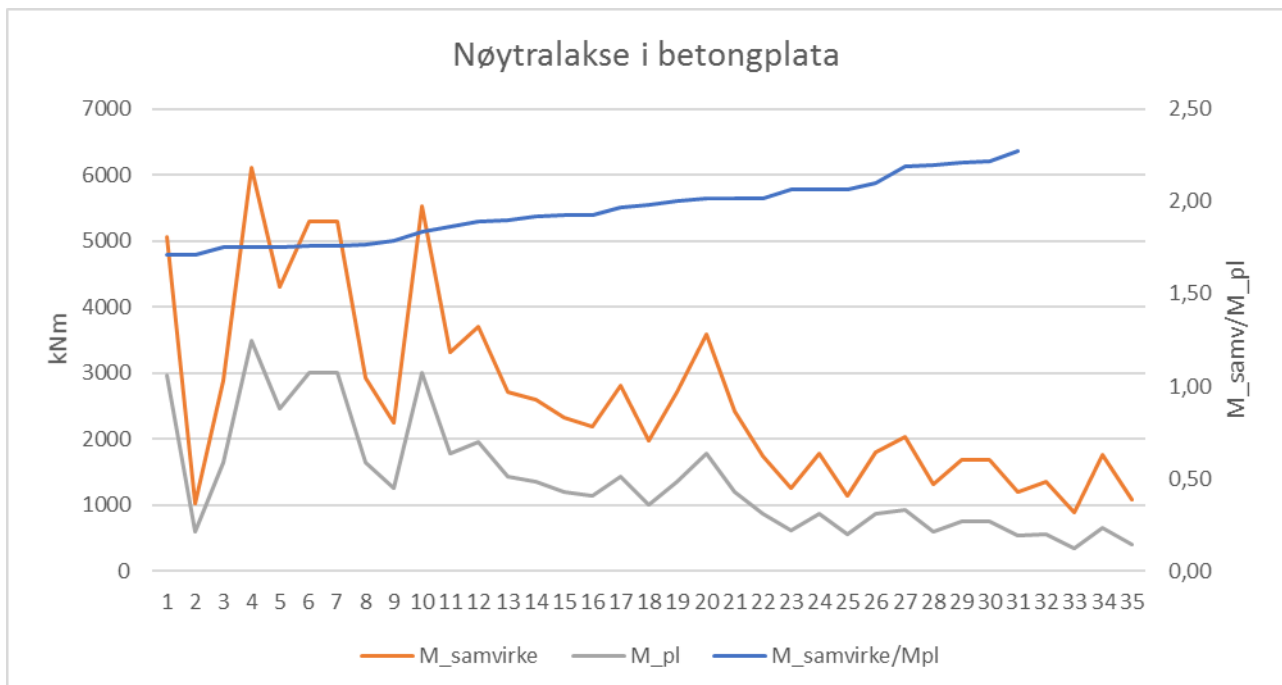
Figur 5-2 viser ingen sammenheng mellom bjelkenes plastiske momentkapasitet og økning i kapasitet som følge av etablering av samvirke. Momentkapasitet er vist i venstre vertikale akse. Forholdet mellom samvirkekapasitet og bjelkekapasitet er vist i høyre vertikale akse [% *100]. Jfr. kapittel 5.1 hvor økende momentkapasitet med økt tverrsnittshøyde er vist, viser figuren over at vi har stor økning i momentkapasitet både for bjelker med lav tverrsnittshøyde og for bjelker med stor tverrsnittshøyde. Dette betyr at det er andre forhold enn bjelkehøyden som er avgjørende for økning i momentkapasiteten som følge av etablering av samvirke.



Figur 5-3 Viser fordelingen av bjelkekonfigurasjon for alle bruer i datagrunnlaget.

Bjelkekonfigurasjonen varierer i datagrunnlaget. Dette er omtalt i kapittel 3.2.5 og gjengis her i figur Figur 5-3. De overordnede tallene viser en klar overvekt av bruer med to bjelker i tverrsnittet. Bjelker med to eller tre bjelker i tverrsnittet utgjør 84 % av brumassen for denne typen bruer.

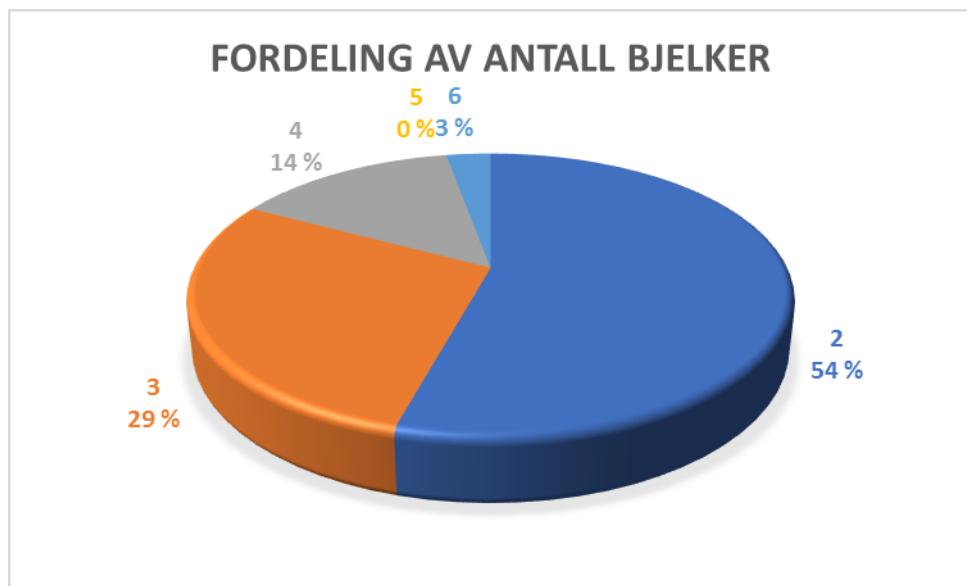
5.2.2 Nøytralakse i betongplata



Figur 5-4 Oversikt over bruer med nøytralakse i betongplata.. Økning i momentkapasitet vist på y-aksen.

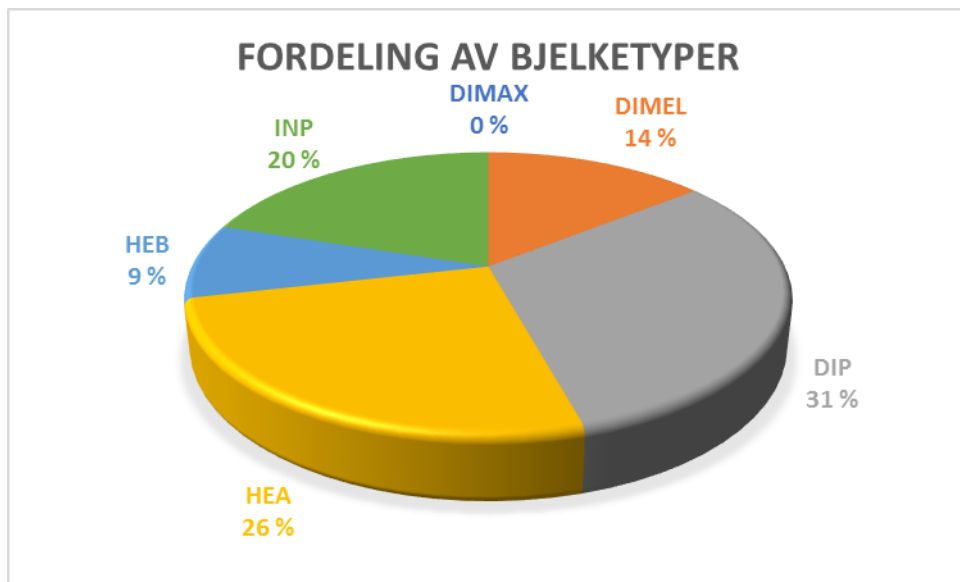
Figur 5-4 viser at for alle bruer hvor nøytralaksen til samvirketverrsnittet ligger i betongplata, har tverrsnittet en teoretisk mulighet for økning av bæreevnen som ligger fra 1,71 til 2,70 ganger stålbjelkens plastiske momentkapasitet.

Det er ikke funnet noen klar sammenheng mellom økningen i momentkapasiteten og størrelsen på momentkapasitetene, men det er en trend at bruer med relativt lav momentkapasitet i bjelketverrsnittet (Bjelker med lavt motstandsmoment) har et større potensiale for økning av bæreevnen når nøytralaksen ligger i betongdekket.



Figur 5-5 viser fordeling av antall bjelker for tverrsnitt med nøytralaksen i betongplata

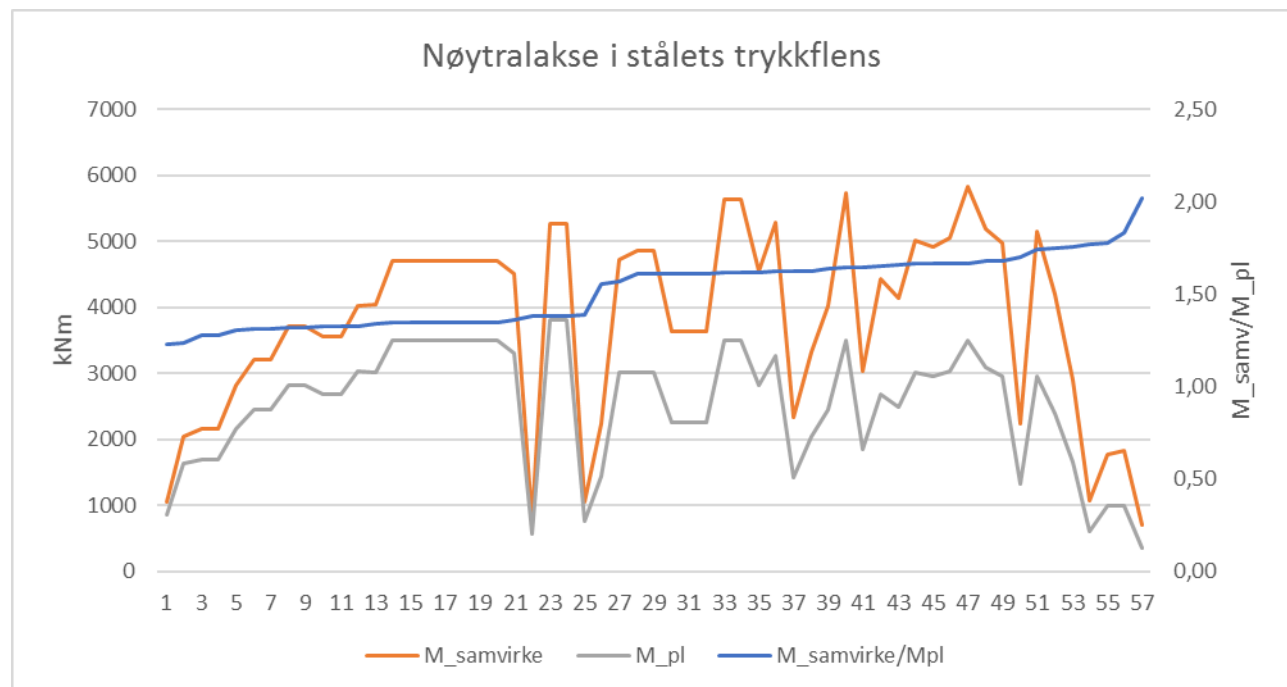
Antallet bjelker i brutverrsnittet fordeler seg som vist i Figur 5-5. Figuren viser en noe høyere andel bruer med to bjelker i tverrsnittet enn for det totale datagrunnlaget., vist i Figur 5-3. Samtidig er andelen bruer med tre bjelker redusert sammenlignet med det totale datagrunnlaget.



Figur 5-6 Fordeling av bjelketyper for samvirketverrsnitt med nøytralakse i betongplata

Figur 5-6 viser at det er klar overvekt av DIP- og HEA bjelker i samvirketverrsnittene med nøytralaksen i betongplata. DIP og HEA er bjelketyper med tilnærmet like geometriske data. Figuren viser en noe høyere andel av disse bjelktypene enn for datagrunnlaget totalt sett.

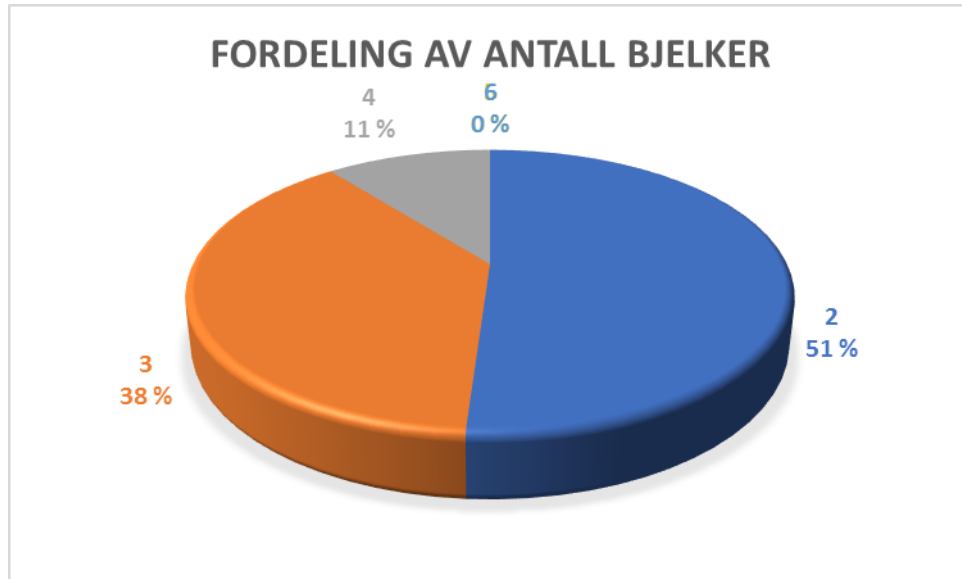
5.2.3 Nøytralakse i stålets trykkflens



Figur 5-7 Oversikt over bruver med nøytralakse i stålets trykkflens

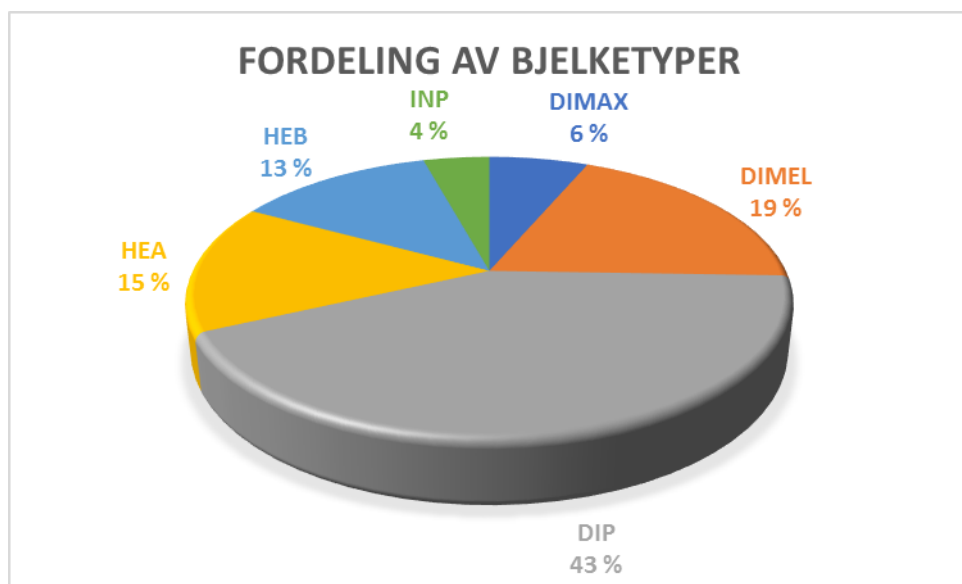
Figur 5-7 viser at for bruer hvor nøytralaksen til samvirketverrsnittet ligger i stålets trykkflens, har tverrsnittet en teoretisk mulighet for økning av bæreevnen fra 1,23 til 2,02 ganger stålbjelkens plastiske momentkapasitet.

Det er ikke funnet noen klar sammenheng mellom økningen i momentkapasiteten og størrelsen på momentkapasitetene. Resultatene er inkonsistente.



Figur 5-8 viser fordeling av antall bjelker for tverrsnitt med nøytralaksen i stålets trykkflens

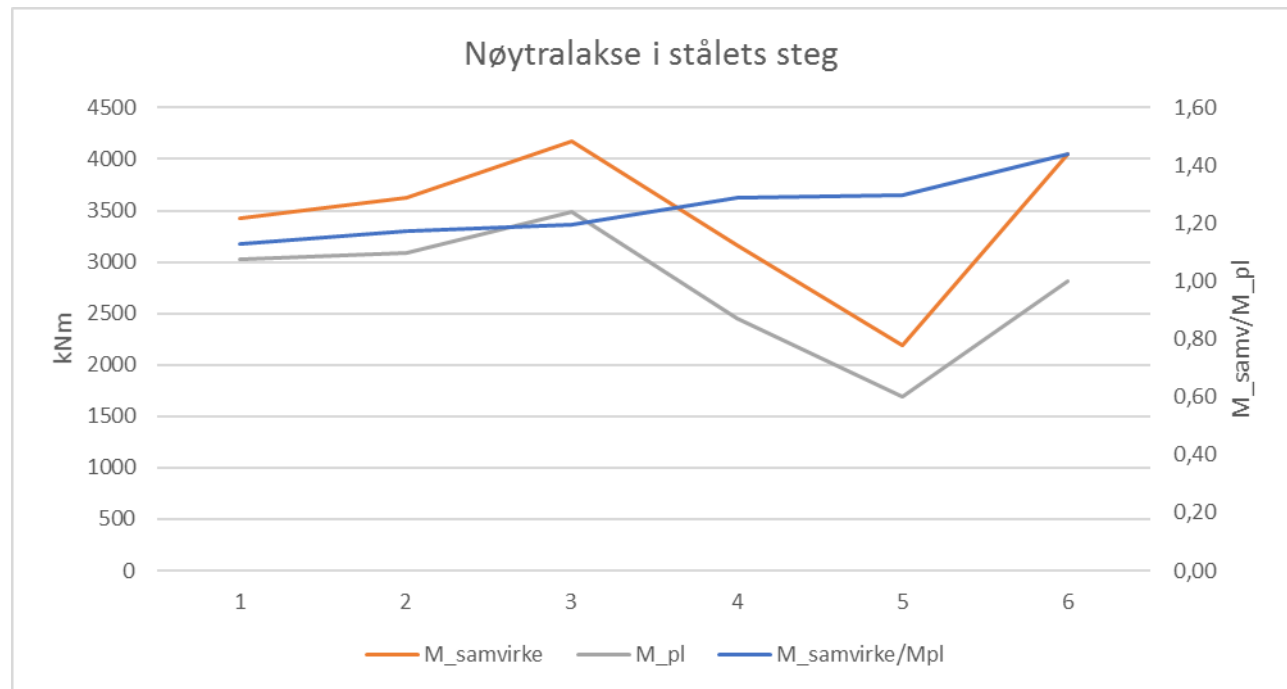
Antallet bjelker i brutverrsnittet fordeler seg som vist i Figur 5-8. Figuren viser noe høyere andel bruer med to og tre bjelker i tverrsnittet sammenlignet med det totale datagrunnlaget., vist i Figur 5-3.



Figur 5-9 Fordeling av bjelketyper for samvirketverrsnitt med nøytralakse i stålbjelkens trykkflens

Figur 5-9 viser at det er klar overvekt av DIP i samvirketverrsnittene med nøytralaksen i stålbjelkens trykkflens. Figuren viser en noe høyere andel DIP og HEA enn for datagrunnlaget totalt sett.

5.2.4 Nøytralakse i bjelkens steg

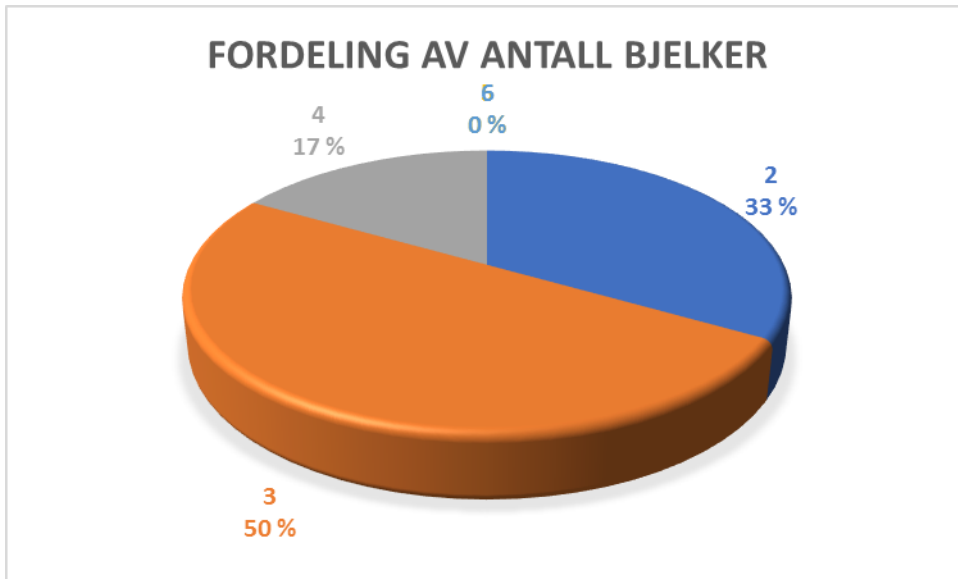


Figur 5-10 Oversikt over bruer med nøytralakse i stålprofilets steg

Det er et begrenset statistisk utvalg for samvirketverrsnitt med nøytralaksen i stålbjelkens steg. Det er derfor usikkert hvor representative dataene er.

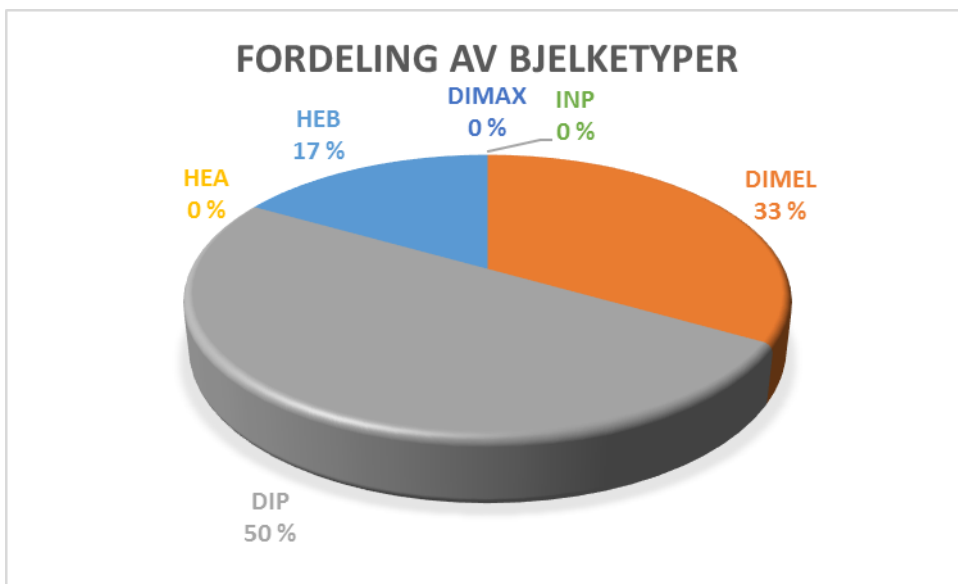
Figur 5-10 Viser at for bruer med nøytralaksen til samvirketverrsnittet liggende i steget til stålprofilet, har tverrsnittet en teoretisk mulighet for økning av bæreevnen fra 1,13 til 1,44 ganger stålbjelkens plastiske momentkapasitet.

Det er ikke funnet noen klar sammenheng mellom økningen i momentkapasiteten og størrelsen på momentkapasitetene.



Figur 5-11 Fordeling av antall bjelker for tverrsnitt med nøytralaksen i stålets steg

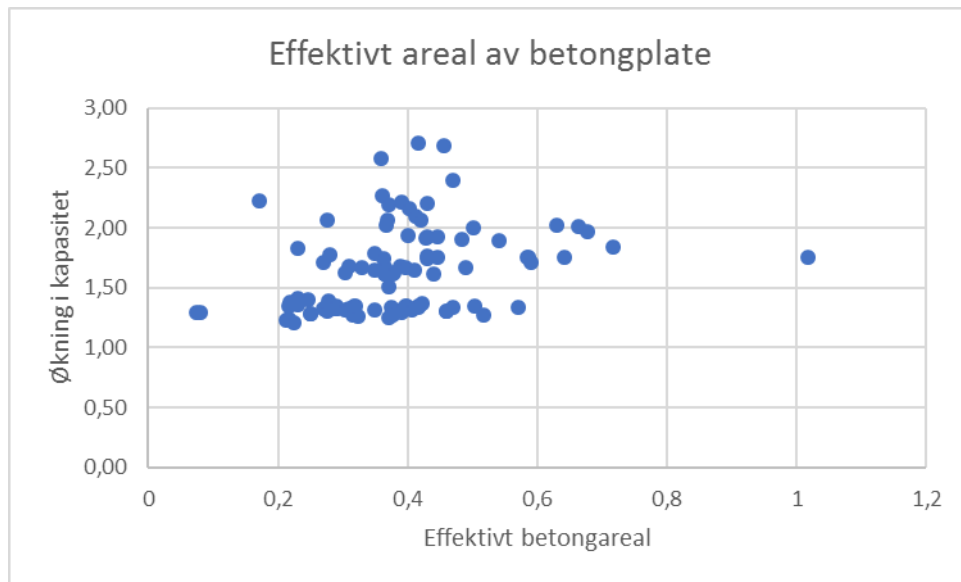
Antallet bjelker i bruttverrsnittet fordeler seg som vist i Figur 5-11. Figuren viser noe lavere andel bruer med 2 bjelker for bruer med nøytralaksen i steget sammenlignet med det totale datagrunnlaget, samtidig som andelen bruer med tre bjelker er høyere.



Figur 5-12 Fordeling av bjelketyper for samvirketverrsnitt med nøytralakse i stålbjelkens steg.

Figur 5-12 viser at det er klar overvekt av DIP i samvirketverrsnittene med nøytralaksen i stålbjelkens trykkflens. Figuren viser også at andelen DIP og DIMEL er betydelig høyere enn for det totale datagrunnlaget som er vist i Figur 3-12.

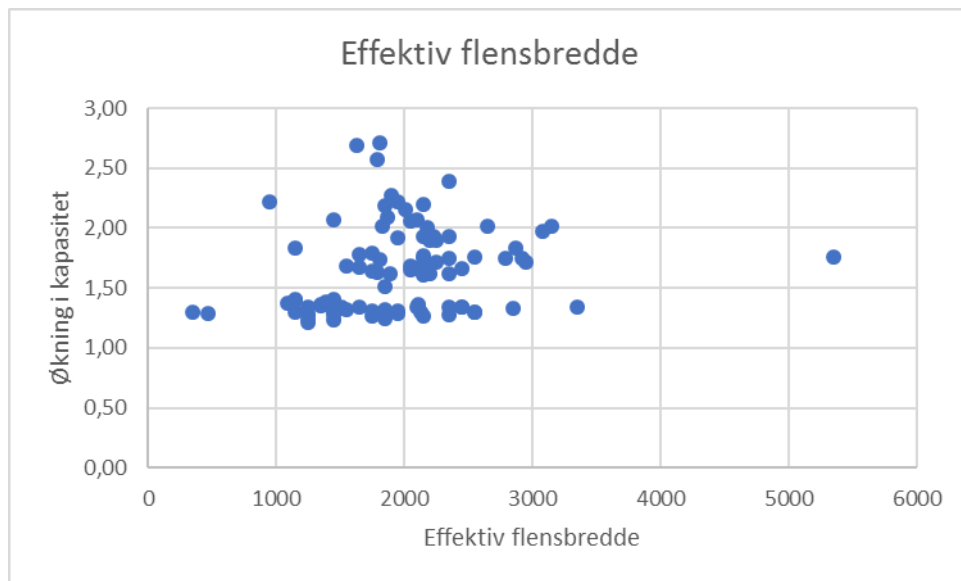
5.2.5 Forhold mellom effektivt betongareal og økning i momentkapasitet



Figur 5-13 Oversikt over brune med teoretisk økning i momentkapasitet plottet langs. Langs x-aksen er effektivt betongareal plottet.

Figur 5-13 viser ingen sammenheng mellom effektivt dekketverrsnitt og økning i momentkapasitet for samvirketverrsnittet.

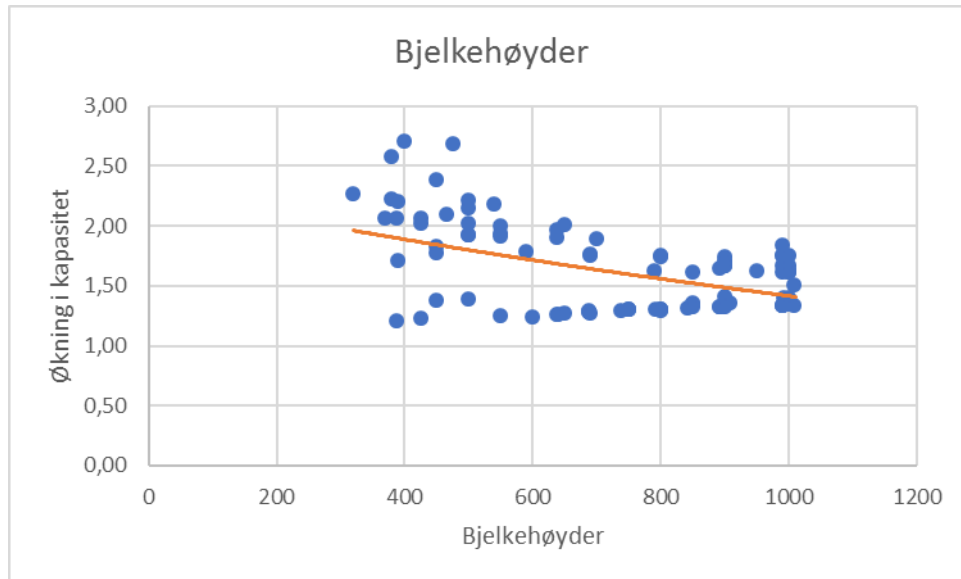
5.2.6 Forhold mellom effektiv flensbredde og økning i momentkapasitet



Figur 5-14 Oversikt over brune med teoretisk økning i momentkapasitet plottet langs y-aksen.. Langs x-aksen er effektivt flensbredde for samvirketverrsnittet plottet.

Figur 5-14 viser ingen sammenheng mellom effektiv bredde av betongflenser og økning i momentkapasitet for samvirketverrsnittet.

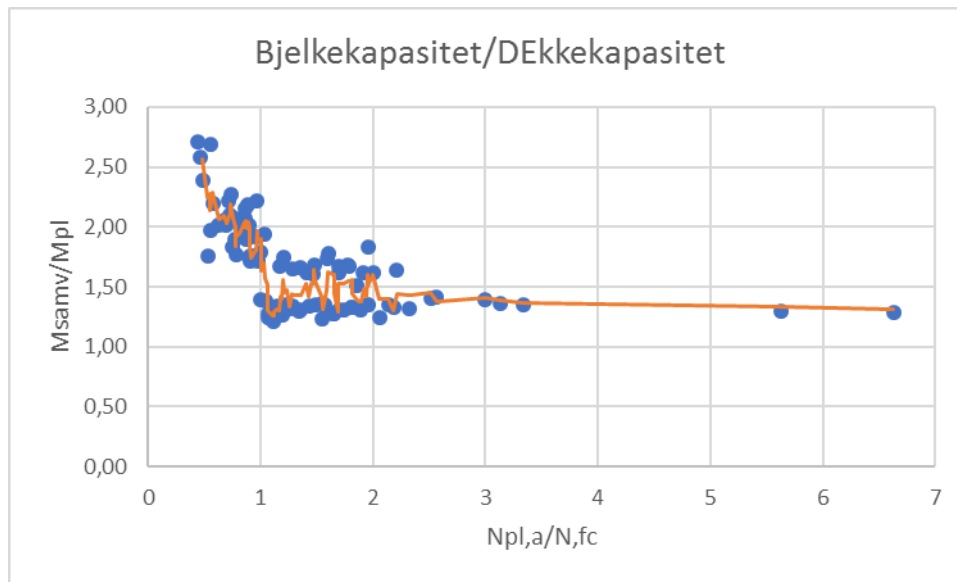
5.2.7 Forhold mellom bjelkehøyde og økning i momentkapasitet



Figur 5-15 Oversikt over økning i momentkapasitet ved etablering av samvirke plottet mot bjelkehøyde.

Figur 5-15 viser en mulig sammenheng mellom bjelkehøyde og økning i momentkapasitet. Det kan se ut som om grafen konvergerer mot et resultat på om lag 1,5 ganger bjelkenes plastiske momentkapasitet med økende bjelkehøyde.

5.2.8 Forhold mellom bjelkekapasitet og dekkekapasitet



Figur 5-16 Viser økningen i momentkapasitet for samvirketverrsnittet plottet mot forholdet mellom stålprofilets aksialkapasitet og det effektive dekketverrsnittets trykkapasitet.

Figur 5-16 viser en sammenheng mellom forholdet mellom bjelkens aksialkapasitet og dekkets trykkapasitet og potensiale for økning av samvirketverrsnittets momentkapasitet.

Resultatene er signifikante og det framgår tydelig at det er en endring i området $\frac{N_{pl,a}}{N_{c,f}} \leq 1,0$.

Når dette er tilfellet vil nøytralaksen til samvirketverrsnittet ligge i betongplata.

6 Vurdering av resultater

6.1 Usikkerheter

Datasettet består av en rekke ulike bruver med ulik utforming. Det er ulike bjelker, bjelkesammensetninger, spennlengder, flensbredder og dekketykkeler.

Usikkerhetene i datagrunnlaget er blant annet, men ikke avgrenset til:

- Manglende som bygd dokumentasjon. Tegningene som er mottatt fra bruarkivet til Statens vegvesen er ikke kvalitetssikret opp mot de faktiske bruene og det er derfor ingen garanti for at bruene er bygd slik som tegningene viser.
- Manglende data på tegninger. Enkelte tegninger har manglende informasjon om dekketykkeler, bredder, bjelketyper etc.
- Manglende materialsertifikat. For de fleste bruene på fylkesvegnettet eksisterer det ikke materialsertifikater fra produksjonen. Materialkvaliteten er dessuten varierende og sertifiseringen som følger stålprofilene er ei bekreftelse på at stålet tilfredsstiller minimumskravene i standardene. I datasettet er materialkvaliteten gitt i henhold til HB R412. Denne håndboka baserer seg også på et statistisk materiale som er usikkert, men det er ikke kjent hvor store usikkerheter som knyttes til dette statistiske grunnlaget.

Usikkerhetene ved enkeltresultater er store. Det er fare for at bruver med spesiell utforming eller med særegenheter skiller seg ut og danner toppe eller bunner i resultatene. Siden datamaterialet består av brukkonstruksjoner med ulik utforming er usikkerhetene vanskelig å kvantifisere. Mål på usikkerhet, som standardavvik og varians, lar seg ikke tallfeste.

Resultatene viser likevel at det er et klart skille for hvor stort potensiale som er tilgjengelig for de ulike bruene når forutsetningene som ligger til grunn for analysen følges. Resultatene for hver enkelt bru kan ikke benyttes ved valg av løsning og prioritering av tiltak, men resultatene viser hvilke variable som må legges til grunn og undersøkes når det vurderes om bruver av typen som er undersøkt i oppgaven kan få økt bæreevne.

6.2 Ulike brutyper

Datagrunnlaget viser at omrent halvparten av de undersøkte bruene har 2 bjelker som hovedbæring på langs. Videre har 35% av bruene 3 bjelker som hovedbæring på langs. De resterende 16 % fordeler seg med 15% med 4 bjelker og 1% med 6 bjelker. Av de 15% med 4 bjelker er det også slik at for en del av bruene virker to og to bjelker parvis. Resultatene viser ingen sammenheng mellom antallet bjelker og det teoretiske samvirketverrsnittets potensiale. Dette kan ha sammenheng med at de fleste bruer i datasettet har enten to eller tre bærebjelker og at avstanden mellom disse på tvers sammen med avstanden mellom momentnullpunkt gjør at man oppnår en effektiv flensbredde som maksimeres for de fleste brutverrsnitt. Effektiv flensbredde avgjøres da av utstikkende del av dekket fra bjelkene.

6.3 Sammenhenger

Resultatene som vist i kapittel 5 viser få avhengigheter mellom de ulike brutypene og potensiale for økning av bæreevne ved etablering av samvirke. Ulige mulige avhengigheter er forsøkt analysert og det er lett etter mulige sammenhenger mellom bjelkehøyder, bjelketyper, bjelkenes aksialkapasitet, betongdekkenes effektive flensbredder og effektivt dekkeareal.

Det er funnet sammenheng mellom bjelkenes aksialkapasitet og dekkets aksialtrykkapasitet.

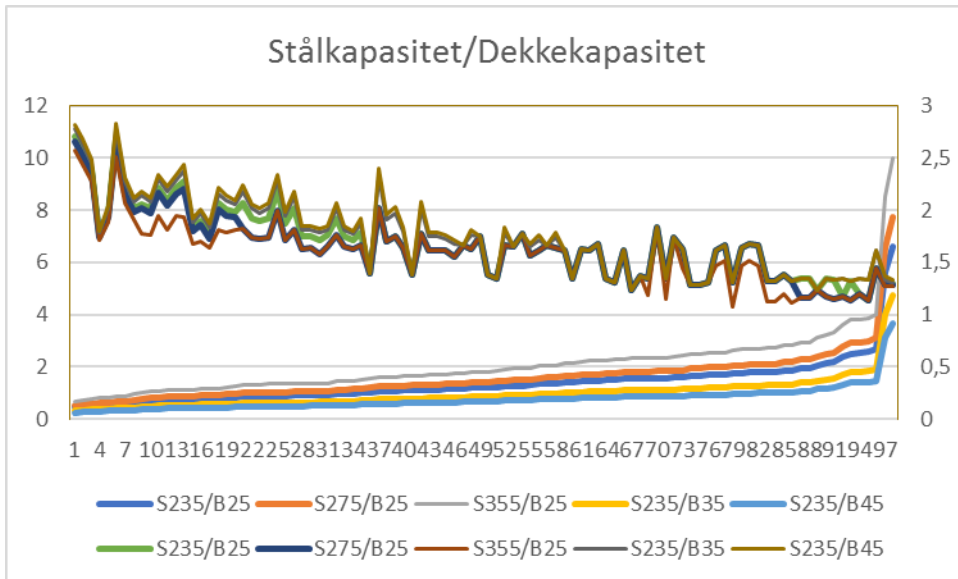
Figur 5-16 viser at når forholdet $\frac{N_{pl,a}}{N_{c,f}} \leq 1,0$, vil samvirketverrsnittets momentkapasitet øke drastisk sammenlignet med tilfellene hvor $\frac{N_{pl,a}}{N_{c,f}} > 1,0$

hvor,

$$N_{pl,a} = \text{Ståltverrsnittets aksialkapasitet}$$

$$N_{c,f} = \text{Dekkets aksialtrykkapasitet}$$

Grafene i Figur 5-15 og Figur 5-16 viser at man ved økende bjelketverrsnitt vil få en økning i samvirkekapasitet som er relativt sett lavere med økende tverrsnittsareal. Dette illustreres godt i Figur 6-1, hvor forholdet mellom bjelke og dekkekapasiteten er plottet langs x-aksen. Den relative økningen i momentkapasitet er også plottet langs x-aksen.



Figur 6-1 Forhold mellom stålkapasitet og dekkapasitet

Betongdekkene er i utgangspunktet dimensjonert og bygget for å bære laster på tvers av bruretningen, og tykkelsen på dekkene øker ikke lineært med bjelkehøyden. Dette fører til at når stålbjelkenes tverrsnittsareal øker, endres forholdet mellom bjelkenes aksialkapasitet og dekkets aksialkapasitet, og det er en tendens at nøytralaksen blir liggende i ståltverrsnittet når bjelkehøyden øker.

Når stålbjelkenes aksialkapasitet er mindre enn dekkets aksialtrykkskapasitet vil nøytralaksen ligge i dekket. Dette medfører at hele ståltverrsnittet kan ta strekk. Siden ståltverrsnittets kapasitet regnes plastisk, jfr kapittel 4.2.1, tillates det at stålet når sin teoretiske flytegrense og man får utnyttet hele ståltverrsnittet for å ta strekkspenninger. Dette medfører at hele tverrsnittet når flytespenning og at stålet i ytterste fiber har ei tøyning som nærmer seg bruddtøyning. Reduksjonen av relativ økning i momentkapasitet med økende ståltverrsnitt er dermed logisk og en konsekvens av at bjelketverrsnitt og dekketykkeler ikke er optimalisert for best mulig samvirkevirkning.

6.4 Kapasitet av dybler

Kapasitet av dybler er ikke vurdert særskilt i oppgaven og det er forutsatt at det er mulig å etablere en forbindelse mellom stålbjelker og betong som har en kapasitet tilsvarende dimensjonerende skjærkapasitet i snittet fuge mellom stål og betong. Det er en teoretisk mulighet for at kapasiteten til samvirketverrsnittet og skjærkapasiteten er så stor at det ikke er mulig å etablere tilstrekkelig med dybelforbindelser for å ta opp den horisontale skjærkrafa i snittet. Dybelkapasiteten kan dermed være begrensende for samvirketverrsnittets totale kapasitet og føre til at det ikke er mulig å utnytte dekket og stålprofilets kapasiteter maksimalt.

6.5 Materialkvaliteter

Det er gjennomført beregninger med ulike materialkvaliteter for å se hvor sensitive resultatene er for variasjoner i materialkvalitet. Kombinasjonene som er beregnet er vist i Tabell 6-1.

Tabell 6-1 Materialkombinasjoner for sjekk av ømfintlighet mot materialvariasjoner

Kombinasjon 1	Fasthet	Enhet
Stål	235	MPa
Betong	25	MPa
Kombinasjon 2	Fasthet	Enhet
Stål	275	MPa
Betong	25	MPa
Kombinasjon 3	Fasthet	Enhet
Stål	355	MPa
Betong	25	MPa

Kombinasjon 4	Fasthet	Enhet
Stål	235	MPa
Betong	35	MPa
Kombinasjon 5	Fasthet	Enhet
Stål	235	MPa
Betong	45	MPa

Resultatene viser at tverrsnittene er sensitive for variasjoner i materialkvaliteter. Figur 6-1 viser en generell tendens som tilsier fallende relativ økning av momentkapasitet når forholdet mellom stålbjelkenes aksialkapasitet og dekkets aksialkapasitet øker. Det betyr at hvis stålkvaliteten er høyere enn antatt og betongkvaliteten er lavere enn antatt, vil potensialet for bæreevneøkning kunne overestimeres. For å kunne gi sikre råd om potensiale for hver enkelt bru må grunnlaget for materialkvaliteter være godt. Dette innebærer at det ved manglende dokumentasjon må framskaffes ny dokumentasjon ved prøvetaking av stål og betong.

7 Praktisk gjennomføring

7.1 Spenningsløs tilstand

Denne rapporten har som forutsetning at samvirketverrsnittet etableres i spenningsløs tilstand og at samvirketverrsnittet bærer både egenvekt og nyttelast. For konstruksjoner hvor egenvekt er den dominerende lasta er dette en forutsetning som vil påvirke tilgjengelig potensiale negativt om det velges å etablere samvirke uten at bjelkene gjøres spenningsløse når samvirke etableres.

De fleste bruene som er omtalt i oppgaven er bruer med spennvidder mellom 10 m og 20 m. Frihøyden under bruene er begrenset og det antas at man ved enkle grep kan stempe under bruene med understøttelser av typen Superprop eller tilsvarende. Dette kan være utfordrende for bruer over vassdrag med begrenset mulighet for midlertid understøttelse i anleggsperioden, men i det store og hele antas dette å være gjennomørbart.



Figur 7-1 Understøttelse av bru med Superprop understøttelse.[23]

7.2 Etablering av skjærforbindelse

For å oppnå full samvirkevirkning er det krav om at skjæroverføringa dimensjoneres slik at all horizontal skjærkraft i snittet mellom stålbjelker og betongdekke tas opp av dyblene/boltene.

Dette gjør at det blir behov for relativt mange dybler, spesielt ved endene hvor skjærspenningene er størst. Det er gjennomført etablering av samvirke mellom stål og betong på eksisterende bru tidligere i regi av Statens vegvesen, hvor dekket har blitt meislet bort og det er sveist på dybler. Framgangsmåten er meget tidkrevende og det er usikkerheter hetet ved kvaliteten av arbeidene som gjøres. Dette begrunnes blant annet i punkt som angitt tidligere i oppgaven med usikkerheter knyttet til stålkvaliteter og sveisbarhet.

Det antas at det kan være mulig å etablere samvirke uten at det er behov for å meisle bort deler av betongdekke. Dette kan løses ved å borre gjennom bjelkens overflens og inn i betongen fra undersida av bruva og gyse fast bolter til betongen. Boltene kan deretter sveises til stålprofilets overflens og det etableres på det viset samvirke mellom stål og betong uten at det må gjøres inngrpende arbeider med betongdekket.

7.3 Dekkets egenskaper

Betongdekkene er i utgangspunktet dimensjonert for å bære laster på tvers og føre laster ned i stålbjelkene, som er hovedbæresystemet til bruva. Ved å etablere samvirke mellom stål og betong, endres behovet for bæring på tvers og det effektive betongverrsnittet som inngår i samvirketverrsnittet skal bære laster på langs. For bruene i den tidsperioden som er undersøkt er det usikkerheter knyttet til armeringsføring og minimumsarmering i sekundær bæreretning. Dette gjør at det kan være utfordrende og ugunstig å etablere samvirke for bruver hvor nøytralaksen til samvirketverrsnittet ligger i betongdekket og det innføres strekk i underkant av dekket. For bruver hvor samvirketverrsnittets nøytralakse ligger i ståltverrsnittet vil det ha mindre betydning for dekkekapasiteten da økning i trykk i betongdekket i de fleste tilfeller ikke vil ha negativ betydning for betongdekkets samlede bæreevne.

7.4 Kostnader

Kostander vedrørende tiltakene er ikke vurdert i oppgaven og det er mulig at de tiltak som foreslås for å utnytte bruenes maksimale potensiale er så kostbare at det i realiteten bør vurderes å heller bygge ei ny bru.

8 Videre arbeid

Oppgaven tar for seg en større mengde bruver, og det er derfor ikke gjort detaljerte beregninger for hver enkelt bru. Resultatene og konklusjonen i oppgaven baserer seg på kvantitative data.

Det bør i det videre arbeidet utføres kartlegging og analyse av materialkvaliteter for et større antall bruver. Kvalitative prøveserier fra et større utvalg bruver vil være med å kunne redusere usikkerheten i datagrunnlaget.

Oppgaven har ikke gått i dybden i hvordan skjærforbindelser mellom betongdekke og stålbjelker skal etableres. Det er i det videre arbeidet nødvendig å se på relevante metoder for å etablere denne forbindelsen. Det finnes ingen oversikt over stålbjelkenes kjemiske sammensetning og det vil være interessant å se på sveisbarheten av stål i bjelker som ikke følger dagens standarder og krav til kjemisk innhold.

Oppgaven har som forutsetning at det er mulig å etablere samvirke i spenningsløs tilstand. En dybdeanalyse bør gjennomføres for de ulike bruene for å se om dette er gjennomførbart. Det bør også sees på hvor stort potensialet for bæreevneøkning er om det viser seg at dette ikke er mulig.

9 Konklusjon

Virkningen av å etablere samvirke mellom eksisterende stålbjelkebruer er god. Data som er analysert viser en relativ økning i bæreevne fra 23 % til 178 % sammenlignet med stålbjelkenes plastiske momentkapasitet.

Resultatene viser at det er en sammenheng mellom relativ økning av momentkapasitet og forholdet mellom stålbjelkenes aksial strekkapasitet og dekkets aksiale trykkskapasitet.

Tendensen er at den relative økningen i bæreevne går ned, når forholdet mellom stålprofilets aksiale strekkapasitet og betongdekkets aksiale trykkskapasitet øker.

Det har ikke vært mulig å identifisere en enkelt parameter som er avgjørende for hvor stort potensiale hvert enkelt tverrsnitt har for økning i bæreevne ved å etablere samvirke mellom stål og betong. Flere av parametrene er overlappende og avhengig av hverandre.

De viktigste identifiserte parametere er:

- Betongdekkets effektive trykkskapasitet
- Stålbjelkenes innbyrdes plassering i tverrsnittet
- Materialkvaliteter

Parametere som har mindre betydning er:

- Brulengde
- Stålprofiltype
- Bjelkehøyde

Den praktiske gjennomføringen av tiltak vurderes som løsbar. Videre vurderes det som løsbart å etablere samvirke mellom stål og betong for eksisterende bruer i spenningsløs tilstand.

10 Referanser

- [1] (2016-207). *Verdier i vekst - Konkurransedyktig skog- og trenæring.*
- [2] TØI. (2006). *Hvorfor trafikken blir som den blir.* Available: <https://samferdsel.toi.no/nr-5-juni-2006/hvorfor-trafikken-blir-som-den-blir-article18955-959.html>
- [3] *HB R412 Bruklasifisering*, S. vegvesen, 2003.
- [4] S. vegvesen. BRUTUS [Online].
- [5] *Bruforskrift for fylkesveg*, 2014.
- [6] S. v.-. Vegdirektoratet. (2015). *Om håndbøkene.* Available: <http://www.vegvesen.no/fag/publikasjoner/Handboker/om-handbokene/om-handbokene>
- [7] *NS-EN 1994-1-1:2004+NA:2009 Eurokode 4: Prosjektering av samvirkekonstruksjoner av stål og betong - Del 1-1: Allmenne regler for bygninger*, 2004.
- [8] *NS-EN 1993-1-1 (2005+NA:2008) Eurokode 3: Prosjektering av stålkonstruksjoner - Del 1-1: Allmenne regler for bygninger*, 2008.
- [9] P. K. Larsen, *Dimensjonering av stålkonstruksjoner*, 2 ed. Tapir Akademiske forlag, 2010.
- [10] G. H. S. Bjørn Aasen, Bjørn Bringaker, Kjetil Myhre, Einar Braathu, *Stål Håndbok - Del 3 - Konstruksjoner av stål*. Norsk Stålforbund, 2010.
- [11] *NS-EN 10025 del 2 Ulegerte konstruksjonsstål*, S. Norge.
- [12] S. Norge, "NS-EN 10025 del 3 Normaliserte finkornstål."
- [13] S. Norge, "NS-EN 10025 del 4 Termomekaniske valsede finkornstål."
- [14] S. Norge, "NS-EN 10034:1993 - I- og H-profiler av konstruksjonsstål - Form- og dimensjonstoleranser," 1993.
- [15] A. D. a. E. S. Eugene Obrien, *Reinforced and prestressed concrete design to EC2*, Second edition ed. 2012.
- [16] S. Jacobsen, "Concrete Technology," vol. 1, ed. NTNU - Department of Structural Engineering: NTNU, 2014.
- [17] F. H. A. R. a. Technology, "Optimized Sections for High-Strength Concrete Bridge Girders--Effect of Deck Concrete Strength," 2006,

Available:

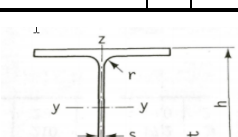
<https://www.fhwa.dot.gov/publications/research/infrastructure/structures/05058/03.cfm>.

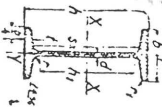
- [18] P. K. Larsen, "Samvirkekonstruksjoner i stål og betong," ed. Institutt for konstruksjonsteknikk: NTNU, 2008.
- [19] A. H. Vang, "Datagrunnlag for vurdering av stålbjelkebruer med betongdekke," ed. BRUTUS: Statens vegvesen, 2017.
- [20] *HB N400 Bruprojektering*, S. vegvesen, 2015.
- [21] *NS-EN 1993-1-1 (2005+NA:2008) Eurokode 3: Prosjektering av stålkonstruksjoner - Del 1-1: Allmenne regler for bygninger*, 2008.
- [22] *NS-EN 1994-1-1:2004+NA:2009 Eurokode 4: Prosjektering av samvirkekonstruksjoner av stål og betong - Del 1-1: Allmenne regler for bygninger*, 2004.
- [23] Mabey, ed. www.mabey.com: Mabey, p. Superprop Bridge supports.

11 Vedlegg

Vedlegg I	- Profiltabell	1
Vedlegg II	- Gamle bjelkebenevnelser	3
Vedlegg III	- Tverrsnittsklasser	7
Vedlegg IV	- Effektiv flensbredde	9
Vedlegg V	- Momentkapasitet samvirke	13

HE-A		Dimensjoner						Masse kg/m	A mm ²	A steg	y-y			z-z			It	Sy	Cw	
		h mm	b mm	s mm	t mm	r mm					I*10 ⁻⁹ mm	W mm ³	i mm	I*10 ⁻⁹ mm	W mm ³	i mm				
HE-A	HEA400	390	300	11	19	27	125	15900	3872		0,4507	2310000	168	0,0856	571000	73,4	8250	6410	32074	
400	HEA550	540	300	12,5	24	27	166	21200	6150		1,119	4150000	230	0,1082	721000	71,5		1970000		
550	HEA600	590	300	13	25	27	178	22600	7020		1,412	4790000	250	0,1127	751000	70,5		2680000		
600	HEA650	640	300	13,5	26	27	190	24200	7938		1,752	5470000	269	0,1172	782000	69,7		3070000		
650	HEA700	690	300	14,5	27	27	204	26000	9222		2,153	6240000	288	0,1218	812000	68,4		3520000		
700	HEA800	790	300	15	28	30	224	28600	11010		3,034	7680000	326	0,1264	843000	66,5		4350000		
800	HEA1000	990	300	16,5	31	30	272	34700	15312		5,538	11190000	400	0,14	934000	63,5		6410000		
1000											0									
HE-B											0									
500	HEB500	500	300	14,5	28	27	187	23900	6438		1,072	4290000	212	0,1262	842000	72,7		2410000		
550	HEB550	550	300	15	29	27	199	25400	7380		1,367	4970000	232	0,1308	872000	71,7		2800000		
700	HEB700	700	300	17	32	27	241	30600	10812		2,569	7340000	290	0,1444	963000	68,7		4160000		
800	HEB800	800	300	17,5	33	30	262	33400	12845		3,591	8980000	328	0,149	994000	66,8		5110000		
900	HEB900	900	300	18,5	35	30	291	37100	15355		4,941	10980000	365	0,1582	1050000	65,3		6290000		
1000	HEB1000	1000	300	19	36	30	314	40000	17632		6,447	12890000	401	0,1628	1090000	63,8		7430000		
I-NP											0									
38	INP38	380	149	13,7	20,5	13,7	84	10700	4644		0,2401	1260000	150	0,00975	131000	30,2		741000		
40	INP40	400	155	14,4	21,6	14,4	92,6	11800	5138		0,2921	1460000	157	0,0116	149000	31,3		857000		
45	INP45	450	170	16,2	24,3	16,2	115	14700	6503		0,4585	2040000	177	0,0173	203000	34,3		1200000		
47,5	INP47,5	475	178	17,1	25,6	17,1	128	16300	7247		0,5648	2380000	186	0,0209	235000	36		1400000		
50	INP50	500	185	18	27	18	141	18000	8028		0,6874	2750000	196	0,0248	268000	37,2		1620000		
55	INP55	550	200	19	30	19	167	21300	9310		0,9918	3610000	216	0,0349	349000	40,2		2120000		
DIMEL											0									
38	DIMEL38	370	297	11	19	21	120	15300	3652		0,3914	2120000	160	0,083	559000	73,6		1172000		
40	DIMEL40	388	297	11	20	21	126	16100	3828		0,4521	2330000	168	0,0874	589000	73,7		1291000		
47,5	DIMEL47,5	465	297	12,5	23	23	152	19400	5238		0,7635	3280000	199	0,1006	677000	72,1		1829000		
65	DIMEL65	638	297	14	26	26	190	24200	8204		1,73	5420000	267	0,1138	766000	68,5		3045000		
70	DIMEL70	688	297	15	28	27	210	26700	9480		2,187	6360000	286	0,1225	825000	67,7		3588000		
75	DIMEL75	738	297	15	28	27	216	27500	10230		2,564	6950000	305	0,1225	825000	66,7		3927000		
80	DIMEL80	792	298	16	30	27	237	30200	11712		3,201	8080000	325	0,1327	890000	66,3		4588000		
85	DIMEL85	842	298	17	32	30	260	33100	13226		3,91	9290000	344	0,1417	951000	65,4		5293000		
90	DIMEL90	892	298	17	32	30	266	33900	14076		4,461	10000000	363	0,1417	951000	64,6		5711000		
100	DIMEL100	992	298	17	32	30	280	35600	15776		5,69	11470000	400	0,1417	951000	63,1		6580000		
DIP											0									
32	DIP32	320	300	13	22	20	135	17100	3588		0,3225	2020000	137	0,0991	661000	76		1130000		
42,5	DIP42,5	425	300	14	26	21	166	21200	5222		0,6948	3270000	181	0,1171	781000	74,3		1830000		
45	DIP45	450	300	15	28	23	182	23200	5910		0,8422	3740000	190	0,1262	841000	73,8		2120000		
50	DIP50	500	300	16	30	24	200	25500	7040		1,132	4530000	210	0,1353	902000	72,8		2560000		
55	DIP55	550	300	16	30	24	207	26300	7840		1,403	5100000	231	0,1353	902000	71,7		2880000		
60	DIP60	600	300	17	32	26	227	28900	9112		1,808	6030000	250	0,1444	962000	70,7		3500000		
65	DIP65	650	300	17	32	26	234	29700	9962		2,168	6670000	270	0,1444	962000	69,7		3780000		
75	DIP75	750	300	18	34	27	261	33300	12276		3,163	8430000	308	0,1535	1020000	67,9		4800000		
80	DIP80	800	300	18	34	27	268	34200	13176		3,664	9160000	327	0,1535	1020000	67		5220000		
85	DIP85	850	300	19	36	30	292	37200	14782		4,439	10440000	346	0,1627	1080000	66,1		5980000		
90	DIP90	900	300	19	36	30	299	38100	15732		5,06	11250000	364	0,1627	1080000	65,3		6450000		
95	DIP95	950	300	19	36	30	307	39100	16682		5,73	12060000	383	0,1627	1080000	64,5		6930000		
100	DIP100	1000	300	19	36	30	314	40000	17632		6,447	12900000	401	0,1627	1080000	63,7		7430000		
DIMAX											0									
90	DIMAX90	908	302	21	40	30	332	42300	17388		5,676	12500000	366	0,1845	1220000	66		7040000		
100	DIMAX100	1008	302	21	40	30	349	44400	19488		7,23	14330000	403	0,1846	1220000	64,5		8092000		





Stålbjelker, I-bjelker eller

Profiler etter DIN 1025 (1940). Rotmål på flens

Forklaring til de tekniske

NP-bjelker. Normalprofiler.

og naglehulldiameter (maks.) etter DIN 996.
betegnelse, se s. 136.

Bete- gne- lse I	Lagerdim. kg/m	Vekt G	Dimensioner							Tverr- snitt cm ²	For bøyningssakse							
			h	b	d	t	r	f ₁	h ₁		I _x	W _x	i _x	ly	Wy	i _y		
			mm	mm	mm	mm	mm	mm	mm	cm ²	cm ³	cm	cm ⁴	cm ³	cm			
8		X	595	80	42	3.9	5.9	3.9	2.3	59	7.58	77.8	19.5	3.20	6.29	3.00	0.91	
10		X	832	100	50	4.5	6.9	4.5	2.7	75	10.6	171	34.2	4.01	12.2	4.38	1.07	
12		X	112	120	58	5.1	7.7	5.1	3.1	92	14.2	328	54.7	4.81	21.5	7.41	1.23	
14		X	14.4	140	66	8.7	8.6	5.7	3.4	109	18.3	573	81.9	5.61	35.2	10.7	1.47	
15		X	16.0	150	70	6.0	9.0	6.0	3.6	117	20.4	735	98.0	6.00	43.9	12.5	1.47	
16		X	17.9	160	75	6.3	6.3	3.8	2.5	22.8	935	117	6.40	54.7	1.48	1.55	1.55	
18		X	21.9	180	82	10.4	6.9	4.1	4.2	1450	161	720	81.3	9.8	1.71	2.79	1.71	
20		X	26.3	200	90	7.5	11.3	7.5	4.5	159	33.5	2140	8.00	177	26.0	1.87	1.87	
22		X	31.1	220	98	8.1	12.2	8.1	4.9	175	39.6	3060	278	8.80	162	33.1	2.02	
24		X	36.2	240	106	8.7	13.1	5.2	19.2	46.1	4250	354	9.59	22.1	41.7	2.20	2.20	
26		X	41.3	260	113	9.4	14.1	5.6	208	53.4	4740	104	2.88	51.0	2.32	2.32	2.32	
28		X	48.0	280	119	10.1	15.2	6.1	22.5	61.1	7590	542	11.1	364	61.2	2.45	2.45	
30		X	54.2	300	125	10.8	16.2	6.5	241	69.1	9800	653	11.9	451	72.2	2.56	2.56	
32		X	61.1	320	131	11.5	17.3	11.5	6.9	257	77.8	1250	782	12.7	555	84.7	2.67	2.67
34		X	63.1	340	137	12.2	18.3	12.2	7.3	247	86.8	15700	923	13.5	674	98.4	2.80	2.80
36		X	76.2	360	143	13.0	19.5	13.0	7.8	290	197.1	1960	1090	14.2	818	114	3.02	3.02
38		X	94.0	380	149	13.7	20.5	13.7	8.2	306	2040	1260	15.0	975	131	3.02	3.02	
40		X	92.6	400	155	14.4	21.6	14.4	8.6	323	18	29210	1460	15.7	149	3.13	3.13	3.13
42		X	104	425	163	15.3	23.0	15.3	9.2	343	132	36970	1740	16.7	176	3.30	3.30	3.30
45		X	115	450	170	16.2	24.3	16.2	9.7	363	152	45830	2040	17.7	1730	2.03	3.43	3.43
47 ^{1/2}		X	128	475	178	17.1	25.6	17.1	10.3	384	163	56480	2380	18.6	2090	2.35	3.60	3.60
50		X	141	500	185	18.0	27.0	18.0	10.8	404	180	68740	2750	19.6	2480	2.68	3.72	3.72
55		X	167	550	200	19.3	30.0	19.0	11.9	444	213	99150	3610	21.6	3490	4.02	4.20	4.20
60		X	199	600	215	21.6	32.4	21.6	13.0	485	254	139000	4630	23.4	450	4.30	4.50	4.50
14			9.16	140	60	4.0	5.5	4.0	11.8	11.7	365	52.2	5.59	15.6	5.21	1.15		
I F																		

Oppgaver for tverrsnitt med naglehus																	
S _x	s _x	k	$\frac{W_x}{W_y}$	$\frac{W_x}{G}$	Rot- mål Tverr- snitt mm	Hull- diam mm	X—X	I^k ved ved	I''^k ved ved	I	I	I	I	I	I		
S _x	s _x	k	$\frac{W_x}{W_y}$	$\frac{W_x}{G}$	Rot- mål Tverr- snitt mm	Hull- diam mm	X—X	I^k ved ved	I''^k ved ved	I	I	I	I	I	I		
11.4	6.84	9.13	6.50	3.28	22	—	—	—	—	—	—	—	—	0.95	0.27	6.2	
19.2	8.57	9.21	7.01	4.11	26	—	—	—	—	—	—	—	—	1.32	7.8	10	
31.8	10.3	9.38	7.38	4.91	—	—	—	—	—	—	—	—	—	—	—		
47.7	12.0	9.51	7.50	5.34	11	14.5	483	77.2	62.3	1.47	0.42	1.08	1.4	1.29	9.4	12	
57.1	12.9	9.48	7.48	6.13	14	15.4	592	91.1	69.7	1.54	0.44	1.15	1.5	1.44	10.5	14	
68.0	13.7	9.50	7.54	6.38	14	17.5	766	109	85.2	1.63	0.47	12.4	16	1.55	12.4	16	
93.4	15.5	9.57	8.13	7.35	44	14	22.9	1220	152	1.80	0.51	14.0	18	1.56	15.6	20	
125	17.2	9.59	8.23	8.14	46	17	25.9	1760	200	1.96	0.56	15.6	20	1.56	15.6	20	
162	18.9	9.68	8.40	8.94	52	17	31.4	2570	211	2.12	0.61	17.2	22	2.24	22.4	22	
206	20.6	9.62	8.49	9.78	56	17	37.3	3630	235	2.31	0.66	18.8	24	2.32	24.2	24	
257	22.3	9.90	8.67	10.58	20	20	42.2	4800	415	3.32	0.70	20.2	26	2.43	26.4	26	
316	24.1	10.3	9.80	11.3	62	20	49.1	611	416	2.57	0.74	21.0	28	2.57	28.0	28	
381	25.7	10.6	9.04	12.0	64	20	56.2	8370	618	509	2.68	0.77	23.4	30	2.68	23.4	30
457	27.4	10.9	9.23	12.8	70	20	64.2	10800	742	619	2.80	0.80	24.8	32	2.80	32	32
510	29.1	11.2	9.37	13.6	74	20	72.5	13680	879	741	2.94	0.84	26.4	34	2.94	34	34
638	30.7	11.5	9.43	14.3	74	23	79.3	16770	1030	851	3.04	0.87	27.0	36	3.04	36	36
741	32.4	11.7	9.65	15.1	80	23	88.5	20730	1200	1000	3.16	0.91	29.4	38	3.16	38	38
857	34.1	12.0	9.81	15.8	84	23	98.6	25410	1390	1170	3.28	0.94	30.8	40	3.28	40	40
1020	36.2	12.1	9.89	16.8	86	26	103	31730	1650	1370	3.47	0.99	32.8	42.5	3.47	42.5	42.5
200	36.2	12.5	10.0	17.7	92	26	103	31730	1650	1370	3.47	0.99	32.8	42.5	3.47	42.5	42.5
404	40.4	12.7	10.1	18.6	96	26	137	39710	1930	1620	3.60	1.03	34.8	45	3.60	45	45
620	42.4	13.1	10.3	19.5	100	26	152	60390	2620	2240	3.78	1.08	36.6	47.1	3.78	47.1	47.1
2730	46.8	13.0	10.3	21.6	110	26	183	88000	3150	2980	4.21	1.21	42.4	55	4.21	55	55
50.9	13.8	10.7	23.2	120	221	26	221	124800	4450	3910	4.50	1.29	46.0	60	4.50	60	60
I F																	

Vektberegning ved levering fra lager.

Til utjævning av lavlige overvektor på partier og vektavvikler på de enkelte enheter, blir I-bjelker faktureret etter en for norske stålgrossister i 1942 fastsatt «handelsvekt», som er ca 2%

høyere enn den faktuelle.

Se oppgaver for nagler s. 330.

Bæreevne ved fritt opplegg.

Se Stormbulls bjelkefasit s. 324.

Nagler og naglesetting.

Se oppgaver for nagler s. 330.

Tjener utslukkende som grunnlag for pris-

beregning.

Teoretisk vekt, som angitt i ovenstående tabell,

skal legges til grunn for statistiske beregninger o-

gående.

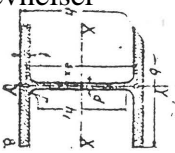
Side 3 of 15

DIP - bjelker

eller P - bjelker.

med normalt tverrsnitt,
etter DIN 996. Naglehulldiameter (maks.) ifølge V.d.E.
betegnelser, se s. 136.

Profil nr. 14-80 etter DIN 1025 (1940). Rotmål på flens
Forklaring til de tekniske



Vedlegg II - Gamle bjelkebenevnelser

Betez. noise el. IP	DIP	Lagerdim. kg/m	Vekt G	Dimensioner						Tverr- snitt cm ²	For bøyningsaksene						Sx sx cm			
				X-X			Y-Y				X-X			Y-Y						
				h	b	d	t	r	h ₁		I _x	W _x	i _x	I _y	W _y	i _y				
10 ¹		12 ¹	X	22.1	100	100	6.5	11	11	56	28.1	478	96	41.2	184	36.8	2.56	56	8.5	
14 ¹		15 ¹	X	26.5	120	120	6.5	11	11	76	33.8	860	143	50.4	317	53.0	3.06	82	10.5	
14 ²		15 ²	X	34.5	140	140	8	12	12	92	44.1	1520	217	58.7	550	78.6	3.53	127	12.0	
15 ¹		16 ¹	X	34.5	150	150	8	12	12	102	47.3	1900	253	63.3	676	90.1	3.78	144	13.2	
15 ²		16 ²	X	45.8	160	160	9	14	14	104	58.4	2330	329	6.72	958	120	4.05	188	14.0	
16 ¹		17 ¹	X	51.6	180	180	9	14	14	124	65.8	3830	426	1360	151	4.55	241	15.9		
16 ²		17 ²	X	64.0	200	200	10	15	15	138	595	848	2140	5.08	337	17.4				
17 ¹		18 ¹	X	71.5	220	220	10	16	15	150	91.1	8050	732	9.37	2840	5.59	412	19.5		
17 ²		18 ²	X	87.4	240	240	11	18	17	170	974	10.5	4150	346	6.11	549	2.13			
18 ¹		19 ¹	X	91.1	250	250	11	18	17	180	116	1300	-1060	0.7	4690	3.75	6.36	598	2.22	
18 ²		19 ²	X	94.8	260	260	11	18	17	190	121	15050	1160	11.2	5280	406	6.61	649	23.2	
19 ¹		20 ¹	X	113	280	280	12	20	18	204	144	2070	12.0	523	7.14	831	24.9			
19 ²		20 ²	X	121	300	300	12	20	18	224	154	25760	1720	2.9	9010	7.65	5.95	26.8		
20 ¹		21 ¹	X	135	320	300	13	22	20	236	171	32350	2020	13.7	9910	661	7.60	1130	28.5	
20 ²		21 ²	X	137	340	300	13	22	20	256	174	36340	2170	14.5	9910	661	7.55	1220	30.3	
21 ¹		22 ¹	X	150	360	300	14	24	21	270	192	45120	2510	15.3	10810	721	7.51	1410	32.0	
21 ²		22 ²	X	153	380	300	14	24	21	290	194	50950	2680	16.2	10810	721	7.51	1410	32.0	
22 ¹		23 ¹	X	161	400	300	14	26	21	306	209	60640	3030	17.0	1710	781	7.49	1700	35.6	
22 ²		23 ²	X	166	425	300	14	26	21	311	212	69480	3270	18.1	11710	781	7.43	1830	37.8	
23 ¹		24 ¹	X	168	450	300	15	28	23	348	232	84220	3740	19.0	12620	841	7.38	2110	40.0	
23 ²		24 ²	X	175	475	300	15	28	23	373	235	95120	4010	20.6	12620	841	7.32	2250	42.2	
24 ¹		25 ¹	X	200	500	300	16	30	24	373	255	11300	4530	21.0	13530	202	7.02	2260	44.3	
24 ²		25 ²	X	207	550	300	16	30	24	423	263	140300	5100	23.1	13530	902	7.1	2880	40.7	
25 ¹		26 ¹	X	227	600	300	17	32	26	484	209	18000	6030	25.0	14440	962	7.57	3500	51.6	
25 ²		26 ²	X	234	650	300	17	32	26	534	297	216800	6670	27.0	14440	962	6.77	3780	57.4	
26 ¹		27 ¹	X	254	700	300	18	34	27	578	324	270300	7720	28.9	15350	1020	6.86	4000	61.5	
26 ²		27 ²	X	261	600	300	18	34	27	628	333	316300	8430	30.8	15350	1020	6.79	4800	65.8	
27 ¹		28 ¹	X	269	660	300	18	34	27	628	342	366400	9160	31.7	15350	1020	6.70	5220	70.1	
27 ²		28 ²	X	292	850	300	19	36	30	718	372	443900	10440	34.6	16270	1080	6.61	5980	74.2	
28 ¹		29 ¹	X	299	900	300	19	36	30	768	381	506000	11250	36.4	16270	1080	6.53	6450	78.4	
28 ²		29 ²	X	307	950	300	19	36	30	818	391	573000	12060	38.3	16270	1080	6.45	6930	82.6	
29 ¹		30 ¹	X	314	1000	300	19	36	30	848	400	644700	12900	40.1	16270	1080	6.37	7430	89.6	
29 ²		30 ²	X																	

* Disse profillor omfattes ikke av DIN-normene.

Lagerlevering.

Dimensioner merket X føres vanligvis på lager
Fra verk leveres samtlige dimensjoner i lengder
etter ønske. Normal lengder 1 m, større profillor opp til 14 m.

Kapping etter spesifikasjon mot pristillegg.
Hærdessål St 00 eller andre bygningsstål med
angitt strekkfasthet. Normalkvaliteter eller spesi-

elle sveisekvaliteter.

Toleranser på lengde i mm (i én retning det dobbeltet).
Hærdessål St 00 etter DIN 1025 (1940). Rotmål på flens
angitt strekkfasthet. Normalkvaliteter eller spesi-

elle sveisekvaliteter.

Verkslevering.

Fra verk leveres samtlige dimensjoner i lengder
etter ønske. Normal lengder 1 m, andre
lengder mot pristillegg.

Vanlig lengde i begge retninger blir
+ 100 mm, intet minus.

Nøyaktigere kapping betinger pris tillegg.

Nettoverdier: F_{n4} etter fradrag for 4 naglehull i flensene, I_{xn2} og W_{xn2} etter fradrag for 2 naglehull i
øvre eller nedre flens. Lynt₂ og W_{lynt2} etter fradrag for det tyre naglehull begge flenser på samme side av steget.

Nettoverdier for tverrsnitt som har andre naglehulldiameter enn den tekniske. Denne handelsvekt tjener
nøyaktighet utregnes ved interpolering.

Nagler og naglelesetting.
Se oppgaver for nagler s. 330.

Bæreevne ved fritt opplegg.
Se Stormbulls bjelefest s. 326.

en den tekniske. Denne handelsvekt tjener
utelukkende som grunnlag for prisberegning.
Teoretisk vekt, som angitt i ovenstående og
etterfølgende tabeller, skal legges til grunn for
statistiske beregninger og alle vektoppgaver i for-
bindelse med disse.

Side 4 of 15

Bindelse med disse.

DIMEL-bjelker. — Parallellebensete

Profiler etter DIN 1025 bl. 2 (1940). Rotmål på flens, nagle-

Forklaring til de tekniske betegnelse, se s. 135.

DIBRED-bjelker.

med DIMEL hoveddimensjoner.

Nagler og naglestilling.

Sé oppgaver for nagler s. 330.

Bæreevne, ved frøtt opplegg.
Se Stormbulls bjelkefasit s. 327.

Parallelle ekstra brede flenser.

Dette nøkkel	Vekt	Dimensjoner										Tverr- snitt	For bøyningssakene					
		G	h	b	d	t	r	h_1	F	I_x	W_x	I_x	W_y	I_y	I_{yy}	S_x	S_y	
k ₁	mm	mm	mm	mm	mm	mm	mm	cm ³	cm ⁴	cm	cm ³	cm	cm ³	cm	cm ³	cm		
Y-130	20.2	94	130	5	8	11	56	25.7	419	89.2	4.04	293	45.1	3.38	2.26	24.10		
14-150	23.5	114	150	5	8	11	76	29.9	737	129	4.96	450	60.1	3.88	1.99	14-150		
33-170	20.7	133	155	5.5	8.5	12	92	36.5	1231	105	5.81	697	82.0	4.37	1.91	131-170		
43-180	30.4	143	180	5.5	8.5	12	102	38.8	1523	213	6.27	827	91.9	4.62	1.82	143-180		
50-190	34.4	150	190	6	9	14	104	43.8	1804	251	6.56	1010	108	4.85	1.86	150-190		
72-200	40.5	172	200	6.5	10	14	124	51.6	2908	330	7.51	1334	173	5.09	1.99	172-200		

Dette nøkkel	Vekt	Dimensjoner										Tverr- snitt	For bøyningssakene					
		G	h	b	d	t	r	h_1	F	I_x	W_x	I_x	W_y	I_y	I_{yy}	S_x	S_y	
k ₁	mm	mm	mm	mm	mm	mm	mm	mm	cm ³	cm ⁴	cm	cm ³	cm	cm ³	cm	cm ³		
Y-130	20.2	94	130	5	8	11	56	25.7	419	89.2	4.04	293	45.1	3.38	2.26	24.10		
14-150	23.5	114	150	5	8	11	76	29.9	737	129	4.96	450	60.1	3.88	1.99	14-150		
33-170	20.7	133	155	5.5	8.5	12	92	36.5	1231	105	5.81	697	82.0	4.37	1.91	131-170		
43-180	30.4	143	180	5.5	8.5	12	102	38.8	1523	213	6.27	827	91.9	4.62	1.82	143-180		
50-190	34.4	150	190	6	9	14	104	43.8	1804	251	6.56	1010	108	4.85	1.86	150-190		
72-200	40.5	172	200	6.5	10	14	124	51.6	2908	330	7.51	1334	173	5.09	1.99	172-200		

Dette nøkkel	Vekt	Dimensjoner										Tverr- snitt	For bøyningssakene					
		G	h	b	d	t	r	h_1	F	I_x	W_x	I_x	W_y	I_y	I_{yy}	S_x	S_y	
k ₁	mm	mm	mm	mm	mm	mm	mm	mm	cm ³	cm ⁴	cm	cm ³	cm	cm ³	cm	cm ³		
Y-130	20.2	94	130	5	8	11	56	25.7	419	89.2	4.04	293	45.1	3.38	2.26	24.10		
14-150	23.5	114	150	5	8	11	76	29.9	737	129	4.96	450	60.1	3.88	1.99	14-150		
33-170	20.7	133	155	5.5	8.5	12	92	36.5	1231	105	5.81	697	82.0	4.37	1.91	131-170		
43-180	30.4	143	180	5.5	8.5	12	102	38.8	1523	213	6.27	827	91.9	4.62	1.82	143-180		
50-190	34.4	150	190	6	9	14	104	43.8	1804	251	6.56	1010	108	4.85	1.86	150-190		
72-200	40.5	172	200	6.5	10	14	124	51.6	2908	330	7.51	1334	173	5.09	1.99	172-200		

Dette nøkkel	Vekt	Dimensjoner										Tverr- snitt	For bøyningssakene					
		G	h	b	d	t	r	h_1	F	I_x	W_x	I_x	W_y	I_y	I_{yy}	S_x	S_y	
k ₁	mm	mm	mm	mm	mm	mm	mm	mm	cm ³	cm ⁴	cm	cm ³	cm	cm ³	cm	cm ³		
Y-130	20.2	94	130	5	8	11	56	25.7	419	89.2	4.04	293	45.1	3.38	2.26	24.10		
14-150	23.5	114	150	5	8	11	76	29.9	737	129	4.96	450	60.1	3.88	1.99	14-150		
33-170	20.7	133	155	5.5	8.5	12	92	36.5	1231	105	5.81	697	82.0	4.37	1.91	131-170		
43-180	30.4	143	180	5.5	8.5	12	102	38.8	1523	213	6.27	827	91.9	4.62	1.82	143-180		
50-190	34.4	150	190	6	9	14	104	43.8	1804	251	6.56	1010	108	4.85	1.86	150-190		
72-200	40.5	172	200	6.5	10	14	124	51.6	2908	330	7.51	1334	173	5.09	1.99	172-200		

Dette nøkkel	Vekt	Dimensjoner										Tverr- snitt	For bøyningssakene					
		G	h	b	d	t	r	h_1	F	I_x	W_x	I_x	W_y	I_y	I_{yy}	S_x	S_y	
k ₁	mm	mm	mm	mm	mm	mm	mm	mm	cm ³	cm ⁴	cm	cm ³	cm	cm ³	cm	cm ³		
Y-130	20.2	94	130	5	8	11	56	25.7	419	89.2	4.04	293	45.1	3.38	2.26	24.10		
14-150	23.5	114	150	5	8	11	76	29.9	737	129	4.96	450	60.1	3.88	1.99	14-150		
33-170	20.7	133	155	5.5	8.5	12	92	36.5	1231	105	5.81	697	82.0	4.37	1.91	131-170		
43-180	30.4	143	180	5.5	8.5	12	102	38.8	1523	213	6.27	827	91.9	4.62	1.82	143-180		
50-190	34.4	150	190	6	9	14	104	43.8	1804	251	6.56	1010	108	4.85	1.86	150-190		
72-200	40.5	172	200	6.5	10	14	124	51.6	2908	330	7.51	1334	173	5.09	1.99	172-200		

Dette nøkkel	Vekt	Dimensjoner		
-----------------	------	-------------	--	--

DIPEx-bjelker.

Parallelflensete stålbjelker med tynt steg.

Hoveddimensjoner som for DIP-bjelker.

Forklaring til de tekniske betegnelser, se s. 136.

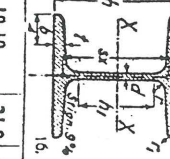
Parallelflensete stålbjelker med forsterket tverrsnitt.

Forklaring til de tekniske betegnelser, se s. 136.

DIMAX-bjelker.

Parallelflensete stålbjelker med forsterket tverrsnitt.

Forklaring til de tekniske betegnelser, se s. 136.



Betegnelse
DIPEx

Betygning	Vekt kg/m	Dimensjoner						For bøyningsaksen									
		G	h mm	b mm	d mm	t mm	r mm	h ₁ mm	Tverrsnitt F		x-x		y-y				
									I _x cm ⁴	W _x cm ³	I _x cm ⁴	W _y cm ³	I _y cm ⁴	W _y cm ³			
10	21.2	100	100	7.5	0.25	10	55	447	89.4	4.09	151	30.1	2.37	53	8.4	4.75	
12	27.2	120	120	8	1	11	50	34.8	85.2	4.42	150	2.87	52	10.4	4.34		
14	34.0	140	8	12	12	85	43.3	149.0	213	5.86	47.5	67.8	3.31	122	12.2	3.96	
16	45.0	160	160	9	14	100	55	258.0	322	6.70	83.1	104	3.81	184	14.0	3.96	
18	50.8	180	180	9	14	120	55	375.0	64.7	7.62	117.0	130	4.25	237	15.9	3.57	
20	56.6	200	6	15	15	140	72.1	552.0	551	8.74	2000	200	5.27	299	18.5	2.60	
22	66.4	220	220	6.5	16	15	58	84.6	786.0	714	9.64	284.0	258	5.79	308	20.3	2.53
24	77.3	240	240	7	17	17	52	98.5	1092.0	909	10.2	492.0	222	6.31	492	22.7	2.47
25	82.9	250	250	7.25	17	17	52	106	1271.0	1020	11.0	456.0	364	6.57	550	23.1	2.44
26	88.6	260	260	7.5	18	17	50	113	1472.0	1130	11.4	528.0	405	6.84	613	24.0	2.42
28	101	280	280	8	19	18	50	129	1948.0	1390	12.3	695.0	496	7.35	753	25.8	2.38
30	114	300	300	8.5	20	18	50	145	2535.0	1680	13.2	900.0	600	7.89	912	27.7	2.33
32	121	320	300	9	21	20	50	154	3044.0	1900	14.0	945.0	630	7.82	10.9	30.0	2.52
34	128	340	300	9.5	21	20	50	164	3619.0	2130	14.9	920.0	660	7.78	115.3	31.4	2.70
36	136	360	300	10.5	23	21	50	173	4269.0	2370	15.7	1036.0	690	7.73	1286	33.2	2.89
38	143	380	300	10.5	24	21	50	183	4988.0	2650	16.5	1081.0	720	7.69	1426	35.0	3.10
40	151	400	300	11	25	21	50	192	5784.0	2890	17.3	1126.0	750	7.65	1575	36.7	3.29
42 ½	159	425	300	11.5	26	21	50	203	6840.0	3220	18.4	1171.0	780	7.60	1756	39.0	3.51
45 ½	168	450	300	12.5	27	23	50	214	8047.0	3560	19.4	1216.0	811	7.54	1948	41.9	3.77
47 ½	177	475	300	12.5	28	23	50	223	9358.0	3940	20.4	1261.0	841	7.49	2152	43.5	4.02
50	186	500	300	13	29	24	50	226	10830.0	4390	21.4	1307.0	871	7.44	2366	45.7	4.28
55	197	550	300	13.5	30	24	50	251	13790.0	5010	23.5	13920.0	901	7.34	2745	50.0	4.67
60	210	600	300	14	31	24	50	267	17290.0	5760	25.4	13970.0	931	7.23	3117.1	54.9	5.10

Spesial P-bjelker.

Brede parallelflensete stålbjelker med redusert tverrsnitt.

Forklaring til de tekniske betegnelser, se s. 136.

Betygning	Vekt kg/m	Dimensjoner						For bøyningsaksen										
I	G	h mm	b mm	d mm	t mm	r mm	h ₁ mm	F	I _x cm ⁴	W _x cm ³	I _x cm ⁴	W _y cm ³	I _y cm ⁴	W _y cm ³				
10	34.6	112	103.5	10	17	11	56	44.0	852	152	4.40	315	6.1	2.63	93	9.2	6.15	
12	41.5	132	123.5	10	17	11	64	52.8	1500	227	5.33	535	87	3.18	135	11.1	5.21	
14	51.3	152	143.5	10	17	11	64	52.8	150	176	4.43	1300	176	3.18	136	13.6	6.31	
16	63.3	172	153.5	10	17	12	68	52.8	150	2070	150	10.7	6960	566	6.32	888	22.5	4.37
18	73.8	192	167	10	17	12	68	52.8	150	24800	1810	11.3	8500	662	6.60	1043	23.8	4.48
20	107	220	206	10	17	12	68	52.8	150	10900	991	8.15	3800	369	5.78	577	18.9	4.87
22	117	240	226	10	17	12	68	52.8	150	14570	1210	9.88	5010	443	5.79	701	20.8	4.46
24	137	260	246	10	17	12	68	52.8	150	2070	150	10.7	6960	566	6.32	888	22.5	4.37
25	153	274	257	10	17	12	68	52.8	150	24800	1810	11.3	8500	662	6.60	1043	23.8	4.48
26	172	288	269	10	17	12	68	52.8	150	3050	2120	11.8	10400	773	6.09	1226	24.9	4.62
28	201	310	289	10	17	12	68	52.8	150	3050	2120	11.8	10400	773	6.09	1226	24.9	4.62
30	235	336	311	10	17	12	68	52.8	150	3050	2120	11.8	10400	773	6.09	1226	24.9	4.62
32	247	356	310	10	17	12	68	52.8	150	3050	2120	11.8	10400	773	6.09	1226	24.9	4.62
34	251	376	310	10	17	12	68	52.8	150	3050	2120	11.8	10400	773	6.09	1226	24.9	4.62
36	253	392	309	10	17	12	68	52.8	150	3050	2120	11.8	10400	773	6.09	1226	24.9	4.62
38	257	412	309	10	17	12	68	52.8	150	3050	2120	11.8	10400	773	6.09	1226	24.9	4.62
40	257	428	308	10	17	12	68	52.8	150	3050	2120	11.8	10400	773	6.09	1226	24.9	4.62
42 ½	42.5	453	308	10	17	12	68	52.8	150	3050	2120	11.8	10400	773	6.09	1226	24.9	4.62
45 ½	47.4	474	308	10	17	12	68	52.8	150	3050	2120	11.8	10400	773	6.09	1226	24.9	4.62
47 ½	47.4	474	308	10	17	12	68	52.8	150	3050	2120	11.8	10400	773	6.09	1226	24.9	4.62
50	520	305	21	10	24	372	341	159100	6000	21.5	18960	74.7	3.75	373	5.50	3.50	3.50	3.50
55	276	570	305	21	10	24	372	341	159100	6000	21.5	18960	74.7	3.75	373	5.50	3.50	3.50
60	284	666	304	21	10	24	372	341	159100	6000	21.5	18960	74.7	3.75	373	5.50	3.50	3.50
65	292	666	304	21	10	24	372	341	159100	6000	21.5	18960	74.7	3.75	373	5.50	3.50	3.50
70	299	712	303	21	10	24	372	341	159100	6000	21.5	18960	74.7	3.75	373	5.50	3.50	3.50
75	316	812	303	21	10	24	372	341	159100	6000	21.5	18960	74.7	3.75	373	5.50	3.50	3.50
80	324	858	302	21	10	24	372	341	159100	6000	21.5	18960	74.7	3.75	373	5.50	3.50	3.50
85	324	858	302	21	10	24	372	341	159100	6000	21.5	18960	74.7	3.75	373	5.50	3.50	3.50
90	332	908	302	21	10	24	372	341	159100	6000	21.5	18960	74.7	3.75	373	5.50	3.50	3.50
95	340	908	302	21	10	24	372	341	159100	6000	21.5	18960	74.7	3.75	373	5.50	3.50	3.50
100	349	1008	302	21	10	24	372	341	159100	6000	21.5	18960	74.7					

Tverrsnittsklasser for alle tverrsnitt

			Flens		Steg			
		Ustikende flensbredde	Flensens slankhet	Tverrsnittsklasse flens	Steghøyde	Stegets slankhet		Tverrsnittsklasse steg
HE-A	Materialkvalitet	$\varepsilon_y = \sqrt{\frac{235}{f_y}}$	$c_f = \frac{b - (s + 2r)}{2}$	$\lambda = \frac{c_f}{t_f * \varepsilon_y}$	$c_s = h - 2(t_f + r)$	$\lambda = \frac{c_s}{t_s * \varepsilon_y}$	Trykk	Bøyning
400	235 Mpa	1	117,5	6,184	1	298	27,09	1 1
550	235 Mpa	1	116,75	4,865	1	438	35,04	2 1
600	235 Mpa	1	116,5	4,660	1	486	37,38	2 1
650	235 Mpa	1	116,25	4,471	1	534	39,56	2 1
700	235 Mpa	1	115,75	4,287	1	582	40,14	2 1
800	235 Mpa	1	112,5	4,018	1	674	44,93	2 1
1000	235 Mpa	1	111,75	3,605	1	868	52,61	2 1
HE-B								
500	235 Mpa	1	115,75	4,134	1	390	26,90	1 1
550	235 Mpa	1	115,5	3,983	1	438	29,20	1 1
700	235 Mpa	1	114,5	3,578	1	582	34,24	2 1
800	235 Mpa	1	111,25	3,371	1	674	38,51	2 1
900	235 Mpa	1	110,75	3,164	1	770	41,62	2 1
1000	235 Mpa	1	110,5	3,069	1	868	45,68	2 1
I-NP	Mpa							
38	235	1	53,95	2,632	1	311,6	22,74	1 1
40	235 Mpa	1	55,9	2,588	1	328	22,78	1 1
45	235 Mpa	1	60,7	2,498	1	369	22,78	1 1
47,5	235 Mpa	1	63,35	2,475	1	389,6	22,78	1 1
50	235 Mpa	1	65,5	2,426	1	410	22,78	1 1
55	235 Mpa	1	71,5	2,383	1	452	23,79	1 1
DIMEL								
38	235 Mpa	1	122	6,421	1	290	26,36	1 1
40	235 Mpa	1	122	6,100	1	306	27,82	1 1
47,5	235 Mpa	1	119,25	5,185	1	373	29,84	1 1
65	235 Mpa	1	115,5	4,442	1	534	38,14	2 1
70	235 Mpa	1	114	4,071	1	578	38,53	2 1
75	235 Mpa	1	114	4,071	1	628	41,87	2 1
80	235 Mpa	1	114	3,800	1	678	42,38	2 1
85	235 Mpa	1	110,5	3,453	1	718	42,24	2 1
90	235 Mpa	1	110,5	3,453	1	768	45,18	2 1
100	235 Mpa	1	110,5	3,453	1	868	51,06	2 1
DIP								
32	235 Mpa	1	123,5	5,614	1	236	18,15	1 1
42,5	235 Mpa	1	122	4,692	1	331	23,64	1 1
45	235 Mpa	1	119,5	4,268	1	348	23,20	1 1
50	235 Mpa	1	118	3,933	1	392	24,50	1 1
55	235 Mpa	1	118	3,933	1	442	27,63	1 1
60	235 Mpa	1	115,5	3,609	1	484	28,47	1 1
65	235 Mpa	1	115,5	3,609	1	534	31,41	1 1
75	235 Mpa	1	114	3,353	1	628	34,89	2 1
80	235 Mpa	1	114	3,353	1	678	37,67	2 1
85	235 Mpa	1	110,5	3,069	1	718	37,79	2 1
90	235 Mpa	1	110,5	3,069	1	768	40,42	2 1
95	235 Mpa	1	110,5	3,069	1	818	43,05	2 1
100	235 Mpa	1	110,5	3,069	1	868	45,68	2 1
DIMAX								
90	235 Mpa	1	110,5	2,763	1	768	36,57	2 1
100	235 Mpa	1	110,5	2,763	1	868	41,33	2 1

Effektiv flensbredde

Fylkesnr	Byggverksnr	Byggverksnavn	Dekketykkelse	Avstand mellom dybler	Min (Le/8 - kant)	Effektiv bredde	Eff.areasl av dekke
17	870	Reinselelvbrua	170 mm	0,15 m	1,15 m	2450 mm	0,4165 mm ²
17	723	Langsåvoll	150 mm	0,15 m	1 m	2150 mm	0,3225 mm ²
17	232	Krogstadåen	180 mm	0,15 m	0,99 m	2130 mm	0,3834 mm ²
17	837	Tylden	200 mm	0,15 m	1,1 m	2350 mm	0,47 mm ²
17	61	Finnfossbrua	200 mm	0,15 m	0,9 m	1950 mm	0,39 mm ²
17	321	Skjækerfoss II	180 mm	0,15 m	1,2 m	2550 mm	0,459 mm ²
17	320	Skjækerfoss I	180 mm	0,15 m	1,2 m	2550 mm	0,459 mm ²
17	293	Stordal	180 mm	0,15 m	0,8 m	1750 mm	0,315 mm ²
17	652	Fjellselv	200 mm	0,15 m	1,4 m	2950 mm	0,59 mm ²
17	719	Lilleå	120 mm	0,15 m	1,05 m	2250 mm	0,27 mm ²
17	697	Lenna	220 mm	0,15 m	0,85 m	1850 mm	0,407 mm ²
17	676	Bognbrua	190 mm	0,15 m	2,6 m	5350 mm	1,0165 mm ²
17	586	Ringelv	200 mm	0,15 m	0,9 m	1950 mm	0,39 mm ²
17	349	Storfossen	230 mm	0,15 m	1,32 m	2790 mm	0,6417 mm ²
17	364	Brekkvasselvbrua	200 mm	0,15 m	1,385 m	2920 mm	0,584 mm ²
17	611	Bogen	190 mm	0,15 m	1,1 m	2350 mm	0,4465 mm ²
17	613	Grøndalselvbrua	230 mm	0,15 m	1,2 m	2550 mm	0,5865 mm ²
17	732	Gravå	200 mm	0,15 m	1 m	2150 mm	0,43 mm ²
17	483	Kruken	200 mm	0,15 m	0,8 m	1750 mm	0,35 mm ²
17	845	Hudningselvbrua	250 mm	0,15 m	1,36 m	2870 mm	0,7175 mm ²
17	408	Segtnan	200 mm	0,15 m	0,85 m	1850 mm	0,37 mm ²
17	82	Osbrua	220 mm	0,15 m	1,1 m	2350 mm	0,517 mm ²
17	738	Finnangerbrua	220 mm	0,15 m	1,025 m	2200 mm	0,484 mm ²
17	893	Østerelva	240 mm	0,15 m	1,05 m	2250 mm	0,54 mm ²
17	672	Teplingan	260 mm	0,15 m	0,65 m	1450 mm	0,377 mm ²
17	210	Vibrua	180 mm	0,069 m	0,4 m	869 mm	0,15642 mm ²
17	689	Søndre Myrset	200 mm	0,15 m	1 m	2150 mm	0,43 mm ²
17	309	Devikelv	180 mm	0,15 m	0,55 m	1250 mm	0,225 mm ²
17	199	Folla foss O/ Rørgt.	200 mm	0,15 m	1,04 m	2230 mm	0,446 mm ²
17	585	Terskelbrua	220 mm	0,15 m	0,9 m	1950 mm	0,429 mm ²
17	361	Bratreit	220 mm	0,15 m	1,4625 m	3075 mm	0,6765 mm ²
17	726	Drogset Nedre	200 mm	0,15 m	1,5 m	3150 mm	0,63 mm ²
17	1243	Langtjønnbrua	250 mm	0,15 m	1,25 m	2650 mm	0,6625 mm ²
17	1092	Møyvla	230 mm	0,15 m	1,015 m	2180 mm	0,5014 mm ²
17	523	Søre Fosserudbrua	200 mm	0,15 m	0,84 m	1830 mm	0,366 mm ²
17	305	Limingdammen	180 mm	0,15 m	0,95 m	2050 mm	0,369 mm ²
17	526	Nordre Fosserudbrua	200 mm	0,15 m	0,975 m	2100 mm	0,42 mm ²
17	666	Vallervassbrua	190 mm	0,15 m	0,65 m	1450 mm	0,2755 mm ²
17	413	Kjerknesbrua	220 mm	0,15 m	0,86 m	1870 mm	0,4114 mm ²
17	722	Litlfundsjøbekk	200 mm	0,15 m	1 m	2150 mm	0,43 mm ²

17	860	Raunos	200 mm	0,15 m	0,85 m	1850 mm	0,37 mm2
17	824	Gjersbekk	200 mm	0,069 m	0,82 m	1709 mm	0,3418 mm2
17	1065	Husås	230 mm	0,075 m	0,83 m	1735 mm	0,39905 mm2
17	731	Nordre Myrset	200 mm	0,09 m	1,1 m	2290 mm	0,458 mm2
17	306	Hovdbekken	190 mm	0,15 m	0,875 m	1900 mm	0,361 mm2
17	415	Meådal	200 mm	0,09 m	0,47 m	1030 mm	0,206 mm2
17	312	Nyvikelvbrua	280 mm	0,098 m	0,74 m	1578 mm	0,44184 mm2
17	1226	Fossmarka II	200 mm	0,105 m	0,9 m	1905 mm	0,381 mm2
17	73	Litlåbrua	200 mm	0,105 m	0,93 m	1965 mm	0,393 mm2
17	896	Fossing	210 mm	0,15 m	0,1 m	350 mm	0,0735 mm2
17	608	Vestre Hovdbrua	170 mm	0,15 m	0,16 m	470 mm	0,0799 mm2
17	308	Liminglielv	170 mm	0,15 m	0,55 m	1250 mm	0,2125 mm2
17	668	Eidbrua	150 mm	0,15 m	0,65 m	1450 mm	0,2175 mm2
17	582	Storlunddammen	200 mm	0,15 m	0,55 m	1250 mm	0,25 mm2
17	486	Selja	200 mm	0,15 m	0,55 m	1250 mm	0,25 mm2
17	370	Funna I	240 mm	0,15 m	0,5 m	1150 mm	0,276 mm2
17	294	Bjørnøy O/NSB	210 mm	0,15 m	0,65 m	1450 mm	0,3045 mm2
17	103	Grennebakken	200 mm	0,15 m	0,8 m	1750 mm	0,35 mm2
17	79	Fjerdingselvbrua	170 mm	0,15 m	0,6 m	1350 mm	0,2295 mm2
17	178	Elverås	200 mm	0,15 m	0,7 m	1550 mm	0,31 mm2
17	484	Gartland	200 mm	0,15 m	0,65 m	1450 mm	0,29 mm2
17	681	Grythullet	200 mm	0,15 m	0,65 m	1450 mm	0,29 mm2
17	756	Flåttabrua	200 mm	0,15 m	0,5 m	1150 mm	0,23 mm2
17	279	Lia	180 mm	0,15 m	0,675 m	1500 mm	0,27 mm2
17	449	Grandbrua	300 mm	0,15 m	0,55 m	1250 mm	0,375 mm2
17	148	Mørkvedbru	200 mm	0,15 m	0,5 m	1150 mm	0,23 mm2
17	671	Hasfjord	240 mm	0,15 m	0,75 m	1650 mm	0,396 mm2
17	881	Strøm	170 mm	0,15 m	0,65 m	1450 mm	0,2465 mm2
17	822	Strøm	200 mm	0,15 m	0,65 m	1450 mm	0,29 mm2
17	810	Øvre Sona	220 mm	0,15 m	0,65 m	1450 mm	0,319 mm2
17	606	Svarva	210 mm	0,15 m	0,68 m	1510 mm	0,3171 mm2
17	288	Turifoss	190 mm	0,15 m	0,975 m	2100 mm	0,399 mm2
17	814	Flåttabrua	170 mm	0,15 m	1,15 m	2450 mm	0,4165 mm2
17	724	Brennmo	150 mm	0,15 m	1,6 m	3350 mm	0,5025 mm2
17	493	Hammer	200 mm	0,15 m	0,98 m	2110 mm	0,422 mm2
17	1224	Fossmarka I	200 mm	0,105 m	0,62 m	1345 mm	0,269 mm2
17	427	Skjelbred	200 mm	0,15 m	0,85 m	1850 mm	0,37 mm2
17	751	Draveng	200 mm	0,15 m	1,35 m	2850 mm	0,57 mm2
17	88	Risbekken	170 mm	0,12 m	1,1 m	2320 mm	0,3944 mm2
17	225	Hafstadbrua	170 mm	0,15 m	1 m	2150 mm	0,3655 mm2
17	1157	Nylendbru	170 mm	0,15 m	1 m	2150 mm	0,3655 mm2
17	1173	Hopla	200 mm	0,15 m	1,025 m	2200 mm	0,44 mm2
17	118	Vaterholmen	160 mm	0,15 m	0,6 m	1350 mm	0,216 mm2
17	130	Kvernbru	160 mm	0,15 m	1,1 m	2350 mm	0,376 mm2
17	143	Medbru	200 mm	0,15 m	0,87 m	1890 mm	0,378 mm2
17	830	Elstadelvbrua	170 mm	0,15 m	0,82 m	1790 mm	0,3043 mm2
17	124	Follafoss	200 mm	0,15 m	0,8 m	1750 mm	0,35 mm2
17	505	Korsvoll	200 mm	0,15 m	0,95 m	2050 mm	0,41 mm2
17	610	Fossli	190 mm	0,15 m	0,97 m	2090 mm	0,3971 mm2
17	935	Sandmo	200 mm	0,15 m	1,15 m	2450 mm	0,49 mm2

17	935	Sandmo	200 mm	0,15 m	0,75 m	1650 mm	0,33 mm ²	
17	863	Fallet	170 mm	0,15 m	1 m	2150 mm	0,3655 mm ²	
17	420	Brusve	200 mm	0,15 m	0,7 m	1550 mm	0,31 mm ²	
17	811	Bruvold	190 mm	0,15 m	0,95 m	2050 mm	0,3895 mm ²	
17	775	Hammervatnet	200 mm	0,15 m	0,83 m	1810 mm	0,362 mm ²	
17	1276	Jørstad	200 mm	0,15 m	1 m	2150 mm	0,43 mm ²	
17	133	Ressem	170 mm	0,15 m	0,75 m	1650 mm	0,2805 mm ²	
17	123	Litlbrua	200 mm	0,15 m	0,5 m	1150 mm	0,23 mm ²	
17	115	Åttatjønnbrua	235 mm	0,15 m	0,725 m	1600 mm	0,376 mm ²	
17	106	Kvernbekk	235 mm	0,15 m	0,74 m	1630 mm	0,38305 mm ²	
17	832	Åvassmarkbrua	200 mm	0,15 m	1,45 m	3050 mm	0,61 mm ²	

Momentkapasitet samvirketverrsnitt

Fylkesnr	Byggverksnr	Byggverksnavn	MomentkapasitetM _{el}	MomentkapasitetM _{pl}	Momentkapasitet samvirke	M_samvirke / M _{pl}
17	870	Reinselelvbrua	2629,65 kNm	3012,7 kNm	4966,588 kNm	1,65
17	723	Langsåvoll	1285,45 kNm	1442,9 kNm	2420,07 kNm	1,68
17	232	Krogstadåen	1981,05 kNm	2256 kNm	3859,952 kNm	1,71
17	837	Tylden	2629,65 kNm	3012,7 kNm	5191,813 kNm	1,72
17	61	Finnfossbrua	2152,6 kNm	2453,4 kNm	4265,481 kNm	1,74
17	321	Skjækerfoss II	1981,05 kNm	2256 kNm	3939,538 kNm	1,75
17	320	Skjækerfoss I	1981,05 kNm	2256 kNm	3939,538 kNm	1,75
17	293	Stordal	1273,7 kNm	1431,15 kNm	2527,206 kNm	1,77
17	652	Fjellselv	2580,3 kNm	2956,3 kNm	5233,968 kNm	1,77
17	719	Lilleå	542,85 kNm	601,6 kNm	1072,71 kNm	1,78
17	697	Lenna	2183,15 kNm	2487,71 kNm	4436,347 kNm	1,78
17	676	Bognbrua	2629,65 kNm	3012,7 kNm	5376,939 kNm	1,78
17	586	Ringelv	1633,25 kNm	1845,69 kNm	3317,206 kNm	1,80
17	349	Storfossen	3031,5 kNm	3492,1 kNm	6329,727 kNm	1,81
17	364	Brekkvasselvbrua	2152,6 kNm	2453,4 kNm	4450,418 kNm	1,81
17	611	Bogen	1466,4 kNm	1654,4 kNm	3001,858 kNm	1,81
17	613	Grøndalselvbrua	2629,65 kNm	3012,7 kNm	5473,747 kNm	1,82
17	732	Gravå	1466,4 kNm	1654,4 kNm	3038,122 kNm	1,84
17	483	Kruken	1125,65 kNm	1259,6 kNm	2358,052 kNm	1,87
17	845	Hudningselvbrua	2629,65 kNm	3012,7 kNm	5685,703 kNm	1,89
17	408	Segtnan	1167,95 kNm	1316 kNm	2511,596 kNm	1,91
17	82	Osbrua	1567,45 kNm	1776,6 kNm	3455,439 kNm	1,94
17	738	Finnangerbrua	1273,7 kNm	1431,15 kNm	2818,219 kNm	1,97
17	893	Østerelva	1724,9 kNm	1955,2 kNm	3856,431 kNm	1,97
17	672	Teplingan	1466,4 kNm	1654,4 kNm	3263,839 kNm	1,97
17	210	Vibrua	296,1 kNm	348,27 kNm	808,0819 kNm	2,32
17	689	Søndre Myrset	1008,15 kNm	1132,7 kNm	2280,835 kNm	2,01
17	309	Devikelv	547,55 kNm	606,77 kNm	1222,56 kNm	2,01
17	199	Folla foss O/ Rørgt.	1064,55 kNm	1203,2 kNm	2425,984 kNm	2,02
17	585	Terskelbrua	1198,5 kNm	1353,6 kNm	2730,12 kNm	2,02
17	361	Bratreit	1273,7 kNm	1431,15 kNm	2888,525 kNm	2,02
17	726	Drogset Nedre	1064,55 kNm	1203,2 kNm	2505,028 kNm	2,08
17	1243	Langtjønnbrua	1567,45 kNm	1776,6 kNm	3704,264 kNm	2,09
17	1092	Møyta	1198,5 kNm	1353,6 kNm	2826,66 kNm	2,09
17	523	Søre Fosserudbrua	768,45 kNm	860,1 kNm	1827,125 kNm	2,12
17	305	Limingdammen	547,55 kNm	606,77 kNm	1297,67 kNm	2,14
17	526	Nordre Fosserudbrua	768,45 kNm	860,1 kNm	1856,433 kNm	2,16
17	666	Vallervassbrua	498,2 kNm	550,84 kNm	1198,47 kNm	2,18
17	413	Kjerknesbrua	770,8 kNm	859,63 kNm	1876,146 kNm	2,18
17	722	Litlfundsjøbekk	542,85 kNm	601,6 kNm	1366,78 kNm	2,27

17	860	Raunos	975,25 kNm	925,9 kNm	2116,054 kNm	2,29
17	824	Gjersbekk	296,1 kNm	348,27 kNm	918,4759 kNm	2,64
17	1065	Husås	343,1 kNm	402,79 kNm	1117,903 kNm	2,78
17	731	Nordre Myrset	479,4 kNm	564 kNm	1380,58 kNm	2,45
17	306	Hovdbekken	474,7 kNm	531,1 kNm	1263,633 kNm	2,38
17	415	Meådal	479,4 kNm	564 kNm	777,2571 kNm	1,38
17	312	Nyvikelvbrua	559,3 kNm	658 kNm	1826,01 kNm	2,78
17	1226	Fossmarka II	646,25 kNm	761,4 kNm	1745,641 kNm	2,29
17	73	Litlåbruha	646,25 kNm	761,4 kNm	1750,461 kNm	2,30
17	896	Fossing	1494,6 kNm	1686,36 kNm	2245,145 kNm	1,33
17	608	Vestre Hovdbrua	2152,6 kNm	2453,4 kNm	7366,644 kNm	3,00
17	308	Liminglielv	768,45 kNm	860,1 kNm	1058,665 kNm	1,23
17	668	Eidbrua	1417,05 kNm	1645 kNm	2037,416 kNm	1,24
17	582	Storlunddammen	1494,6 kNm	1686,36 kNm	2158,405 kNm	1,28
17	486	Selja	1494,6 kNm	1686,36 kNm	2158,405 kNm	1,28
17	370	Funna I	1898,8 kNm	2156,36 kNm	2810,374 kNm	1,30
17	294	Bjørnøy O/NSB	2152,6 kNm	2453,4 kNm	3214,766 kNm	1,31
17	103	Grennebakken	2152,6 kNm	2453,4 kNm	3214,79 kNm	1,31
17	79	Fjerdingelvbrua	2453,4 kNm	2810,6 kNm	3715,277 kNm	1,32
17	178	Elverås	2453,4 kNm	2810,6 kNm	3715,308 kNm	1,32
17	484	Gartland	2350 kNm	2684,17 kNm	3553,022 kNm	1,32
17	681	Grythullet	2350 kNm	2684,17 kNm	3553,022 kNm	1,32
17	756	Flåttbruha	2643,75 kNm	3031,5 kNm	4028,969 kNm	1,33
17	279	Lia	2643,75 kNm	3031,5 kNm	4029,017 kNm	1,33
17	449	Grandbrua	2629,65 kNm	3012,7 kNm	4036,471 kNm	1,34
17	148	Mørkvedbrua	2695,45 kNm	3092,6 kNm	4149,446 kNm	1,34
17	671	Hasfjord	3031,5 kNm	3492,1 kNm	4699,926 kNm	1,35
17	881	Strøm	3029,15 kNm	3492,1 kNm	4699,927 kNm	1,35
17	822	Strøm	3029,15 kNm	3492,1 kNm	4699,933 kNm	1,35
17	810	Øvre Sona	3029,15 kNm	3492,1 kNm	4699,94 kNm	1,35
17	606	Svarva	3031,5 kNm	3492,1 kNm	4699,944 kNm	1,35
17	288	Turifoss	3031,5 kNm	3492,1 kNm	4699,955 kNm	1,35
17	814	Flåttbruha	3029,15 kNm	3492,1 kNm	4699,968 kNm	1,35
17	724	Brennmo	3029,15 kNm	3492,1 kNm	4699,988 kNm	1,35
17	493	Hammer	2937,5 kNm	3308,8 kNm	4512,936 kNm	1,36
17	1224	Fossmarka I	646,25 kNm	761,4 kNm	1057,498 kNm	1,39
17	427	Skjelbred	3367,55 kNm	3803,24 kNm	5258,657 kNm	1,38
17	751	Draveng	3367,55 kNm	3803,24 kNm	5258,717 kNm	1,38
17	88	Risbekken	848,35 kNm	996,4 kNm	1973,34 kNm	1,98
17	225	Hafstadbruha	2629,65 kNm	3012,7 kNm	4851,897 kNm	1,61
17	1157	Nylendbruha	3031,5 kNm	3492,1 kNm	5639,954 kNm	1,62
17	1173	Hopla	3031,5 kNm	3492,1 kNm	5639,963 kNm	1,62
17	118	Vaterholmen	2453,4 kNm	2810,6 kNm	4545,766 kNm	1,62
17	130	Kvernbruha	2453,4 kNm	2810,6 kNm	4545,809 kNm	1,62
17	143	Medbruha	2834,1 kNm	3257,1 kNm	5283,333 kNm	1,62
17	830	Elstadelvbrua	1804,8 kNm	2044,5 kNm	3326,865 kNm	1,63
17	124	Follafoss	3031,5 kNm	3492,1 kNm	5733,93 kNm	1,64
17	505	Korsvoll	2350 kNm	2684,17 kNm	4429,349 kNm	1,65
17	610	Fossli	2629,65 kNm	3012,7 kNm	5014,988 kNm	1,66
17	935	Sandmo	2580,3 kNm	2956,3 kNm	4925,937 kNm	1,67

17	935	Sandmo	2643,75 kNm	3031,5 kNm	5058,656 kNm	1,67
17	863	Fallet	3029,15 kNm	3492,1 kNm	5827,954 kNm	1,67
17	420	Brusve	2695,45 kNm	3092,6 kNm	5195,216 kNm	1,68
17	811	Bruvold	2580,3 kNm	2956,3 kNm	4969,506 kNm	1,68
17	775	Hammervatnet	2580,3 kNm	2956,3 kNm	5143,862 kNm	1,74
17	1276	Jørstad	2110,3 kNm	2401,7 kNm	4199,197 kNm	1,75
17	133	Ressem	878,9 kNm	996,4 kNm	1771,882 kNm	1,78
17	123	Litlbrua	878,9 kNm	996,4 kNm	1826,369 kNm	1,83